

УДК 539.1

ОДНОЧАСТИЧНЫЕ ЭНЕРГИИ
И ВОЛНОВЫЕ ФУНКЦИИ
ПОТЕНЦИАЛА САКСОНА—ВУДСА
И НЕРОТАЦИОННЫЕ СОСТОЯНИЯ
НЕЧЕТНЫХ ЯДЕР
В ОБЛАСТИ $150 < A < 190$

*Ф. А. Гареев, С. П. Иванова
В. Г. Соловьев,
С. И. Федотов*

Объединенный институт ядерных
исследований, г. Дубна

Приведены одночастичные энергии и волновые функции потенциала Саксона — Вудса для описания деформированных ядер в области $150 < A < 190$. Рассчитаны энергии и волновые функции неротационных состояний нечетных ядер с учетом взаимодействия квазичастиц с фононами. Проведен учет эффекта $\Delta N = \pm 2$ смешивания. Изучено влияние изменения равновесной деформации ядра в возбужденном состоянии по сравнению с основным на энергию и структуру состояний.

Получено достаточно хорошее описание энергий низколежащих неротационных состояний в ядрах данной области. Рассчитанные одночастичные энергии и волновые функции потенциала Саксона — Вудса могут служить базисом при вычислении различных характеристик ядер рассматриваемой области.

The single-particle energies and the wave functions of the Saxon-Woods potential are given for the description of deformed nuclei in the region $150 < A < 190$. The energies and the wave functions of the nonrotational states of odd-mass nuclei are calculated with the account of the quasiparticle-phonon interaction. The $\Delta N = \pm 2$ mixing effect is taken into account. It is studied how changes in the equilibrium deformation of the excited state of a nucleus compared with the ground state affect the energy and the structure of the state.

A rather good description of the energies of low-lying non-rotational states for the nuclei of the region mentioned is obtained. The calculated single-particle energies and wave functions of the Saxon—Woods potential may serve as a basis for computing various characteristics of the nuclei in question.

1. ВВЕДЕНИЕ

В теории атомного ядра для описания низколежащих возбужденных состояний атомных ядер широко используется полумикроскопическое описание. Оно основано на выборе эффективного ядерного взаимодействия. При полумикроскопическом описании взаимодействия между нуклонами в ядре разделяют на две части:

среднее поле ядра и остаточные взаимодействия. Среднее поле — это тот ядерный потенциал, который создается всеми нуклонами ядра. Большая совокупность экспериментальных данных, полученных при изучении α -, β -, γ -спектров и ядерных реакций, используется для определения параметров потенциала среднего поля. Остаточные взаимодействия — это та часть сил, которая не включена в среднее поле. Остаточные взаимодействия приобретают в ядре весьма важное значение, они монотонно и медленно меняются от ядра к ядру, они не малы, и их нельзя учитывать по теории возмущений. Роль среднего поля ядра велика: среднее поле определяет многие свойства ядер непосредственно; кроме того, оно управляет остаточными взаимодействиями, т. е. дает возможность в той или иной мере проявляться действию ядерных сил. Таким образом, среднее поле определяет конкретные свойства каждого ядра, оно ответственно за отличие многих свойств одних ядер от других.

В рассматриваемом варианте полумикроскопического описания ядерный модельный гамильтониан записывается в следующем виде (см. [1]):

$$H = H_{av} + H_{pair} + H_Q + H', \quad (1.1)$$

где H_{pair} — взаимодействия, приводящие к парным корреляциям сверхпроводящего типа; H_Q — мультиполь-мультипольные взаимодействия; H' — другие виды остаточного взаимодействия (например, спин-мультиполь — спин-мультипольные, гамов-тепловое); H_{av} — среднее поле нейтронной и протонной систем. Для описания среднего поля деформированных ядер используются потенциалы Нильссона [2, 3] и Саксона — Вудса [4, 5].

Следует отметить, что применяемые в расчетах потенциалы лучше описывают среднее поле ядер в случае деформированных ядер, чем в случае сферических. В деформированных ядрах параметры потенциала среднего поля выбираются так, чтобы ядерный потенциал содержал соответствующую часть взаимодействия между всеми нуклонами в ядре, поэтому добавление каждого двух нуклонов как бы эффективно уже учтено. Можно сказать, что для основного состояния каждого деформированного ядра, лежащего в зоне β -стабильности, среднее поле является самосогласованным. Именно с этим обстоятельством связан успех в описании низколежащих уровней нечетных деформированных ядер с помощью потенциалов Нильссона и Саксона — Вудса.

При изучении парных корреляций сверхпроводящего типа используется гамильтониан:

$$H_0 = H_{av} + H_{pair} = H_0(n) + H_0(p), \quad (1.2)$$

где для нейтронной системы

$$H_0(n) = \sum_{s\sigma} \{E(s) - \lambda_n\} a_{s\sigma}^+ a_{s\sigma}^- - G_N \sum_{s, s'} a_{s+}^+ a_{s-}^+ - a_{s'-} a_{s'+}. \quad (1.3)$$

Здесь $E(s)$ — одночастичные энергии; $a_{s\sigma}$ — оператор уничтожения нуклона; G_N — константа парного взаимодействия; λ_n — химический потенциал нейтронной системы. В протонной системе константу парного взаимодействия и химический потенциал обозначим G_z и λ_p . Совокупность квантовых чисел, характеризующих одночастичное состояние нейтронной системы, обозначим $(s\sigma)$, нейтронной и протонной систем — $(q\sigma)$, причем $\sigma = \pm 1$.

Проведем каноническое преобразование Боголюбова:

$$a_{s\sigma} = u_s \alpha_{s-\sigma} + \sigma v_s \alpha_{s\sigma}^+, \quad (1.4)$$

где $\alpha_{s\sigma}$ — оператор поглощения квазичастицы, а

$$u_s^2 + v_s^2 = 1. \quad (1.5)$$

Волновую функцию основного состояния системы определим из условия

$$\alpha_{s\sigma} \Psi_0 = 0. \quad (1.6)$$

Найдем среднее значение $H_0(n)$ по состоянию Ψ_0 , воспользуемся вариационным принципом и в результате (см. работу [1]) получим следующую систему уравнений для определения корреляционной функции C_n и химического потенциала λ_n :

$$1 = \frac{G_N}{2} \sum_s \frac{1}{\sqrt{C_n^2 + (E(s) - \lambda_n)^2}}; \quad (1.7)$$

$$N = \sum_s \left\{ 1 - \frac{E(s) - \lambda_n}{\sqrt{C_n^2 + (E(s) - \lambda_n)^2}} \right\}, \quad (1.8)$$

где N — число нейронов.

Энергия и волновая функция основного состояния системы имеют следующий вид:

$$\mathcal{E}_0 = \sum_s 2E(s) v_s^2 - \frac{C_n^2}{G_N}; \quad (1.9)$$

$$\Psi_0 = \prod_s (u_s + v_s \alpha_{s+}^+ \alpha_{s-}^+) \Psi_{00}, \quad (1.10)$$

где

$$a_{s\sigma} \Psi_{00} = 0; \quad \varepsilon(s) = \sqrt{C_n^2 + (E(s) - \lambda_n)^2}; \quad (1.11)$$

$$u_s^2 = \frac{1}{2} \left\{ 1 + \frac{E(s) - \lambda_n}{\varepsilon(s)} \right\}; \quad v_s^2 = \frac{1}{2} \left\{ 1 - \frac{E(s) - \lambda_n}{\varepsilon(s)} \right\}. \quad (1.12)$$

В модели независимых квазичастиц возбужденные состояния четно-четных ядер являются двухквазичастичными. При более высоких энергиях возбуждения имеются четырехквазичастичные состояния и т. д. Основными и низколежащими состояниями нечетных ядер являются одноквазичастичные состояния. С ростом

энергии возбуждения к ним добавляются трехквазичастичные состояния и т. д.

Часть гамильтониана (1.1), соответствующая мультиполь-мультипольному взаимодействию, имеет вид:

$$H_Q = - \sum_{\lambda, \mu \geq 0} \frac{\kappa^{(\lambda)}}{2} Q_{\lambda\mu}^+ Q_{\lambda\mu}, \quad (1.13)$$

где $Q_{\lambda\mu}$ — оператор мультипольного момента $\lambda\mu$ (см. работу [1]). Для описания вибрационных состояний вводятся операторы фононов

$$Q_j(\lambda\mu) = \frac{1}{2} \sum_{q, q'} \{ \psi_{qq'}^{\lambda\mu j} A(q, q') - \varphi_{qq'}^{\lambda\mu j} A^+(q, q') \} \quad (1.14)$$

и операторы

$$B(q, q') = \sum_{\sigma} \alpha_{q\sigma}^+ \alpha_{q'\sigma}^- \quad (\text{или } = \sum_{\sigma} \sigma \alpha_{q-\sigma}^+ \alpha_{q'\sigma}^-); \quad (1.15)$$

$$A(q, q') = \frac{1}{\sqrt{2}} \sum_{\sigma} \sigma \alpha_{q'\sigma}^- \alpha_{q-\sigma}^+ \quad (\text{или } = \frac{1}{\sqrt{2}} \sum_{\sigma} \alpha_{q\sigma}^- \alpha_{q'\sigma}^+). \quad (1.16)$$

Соответствующую часть гамильтониана (1.1) можно записать так:

$$\begin{aligned} H_b = & \sum_q \varepsilon(q) B(q, q) - \frac{1}{2} \sum_{\lambda, \mu \geq 0} \kappa^{(\lambda)} \sum_{qq'} \sum_{q_2 q'_2} \sum_{jj'} f^{\lambda\mu}(q, q') f^{\lambda\mu}(q_2, q'_2) \times \\ & \times u_{qq'} u_{q_2 q'_2} (\psi_{qq'}^{\lambda\mu j} + \varphi_{qq'}^{\lambda\mu j}) (\psi_{q_2 q'_2}^{\lambda\mu j'} + \varphi_{q_2 q'_2}^{\lambda\mu j'}) Q_j^+(\lambda\mu) Q_{j'}^-(\lambda\mu) - \\ & - \frac{1}{2\sqrt{2}} \sum_{\lambda, \mu \geq 0} \kappa^{(\lambda)} \sum_{qq'} \sum_{q_2 q'_2} \sum_j f^{\lambda\mu}(q, q') f^{\lambda\mu}(q_2, q'_2) u_{qq'} v_{q_2 q'_2} \times \\ & \times \{(Q_j^+(\lambda\mu) + Q_j^-(\lambda\mu)) B(q_2, q'_2) + B(q_2, q'_2) (Q_j^+(\lambda\mu) + Q_j^-(\lambda\mu))\}. \end{aligned} \quad (1.17)$$

Здесь $f^{\lambda\mu}(q, q')$ — матричный элемент от оператора мультипольного момента $\lambda\mu$; $u_{qq'} = u_q v_{q'} + u_{q'} v_q$; $v_{qq'} = u_q u_{q'} - v_q v_{q'}$.

Волновая функция основного состояния четно-четного ядра определяется как бесфоночная, т. е.

$$Q_j(\lambda\mu) \Psi = 0. \quad (1.18)$$

Возбужденные состояния трактуются как однофононные и описываются волновыми функциями

$$Q_j^+(\lambda\mu) \Psi. \quad (1.19)$$

Энергии $\omega_j^{\lambda\mu}$ и волновые функции однофононных состояний находятся с помощью вариационного принципа (см. работу [1]). Для всех однофононных состояний (кроме O^+ -состояний) секулярное

уравнение имеет вид:

$$1 = 2\kappa^{(\lambda)} \sum_{qq'} \frac{(f^{\lambda\mu}(q, q') u_{qq'})^2 (\varepsilon(q) + \varepsilon(q'))}{(\varepsilon(q) + \varepsilon(q'))^2 - (\omega_j^{\lambda\mu})^2}. \quad (1.20)$$

Используя условие нормировки волновых функций (1.19), нетрудно найти:

$$\psi_{qq'}^{\lambda\mu j} = \frac{1}{\sqrt{2Y_j(\lambda\mu)}} \cdot \frac{f^{\lambda\mu}(q, q') u_{qq'}}{\varepsilon(q) + \varepsilon(q') - \omega_j^{\lambda\mu}}; \quad (1.21)$$

$$\varphi_{qq'}^{\lambda\mu j} = \frac{1}{\sqrt{2Y_j(\lambda\mu)}} \cdot \frac{f^{\lambda\mu}(q, q') u_{qq'}}{\varepsilon(q) + \varepsilon(q') + \omega_j^{\lambda\mu}}; \quad (1.21')$$

$$Y_j(\lambda\mu) = \sum_{q, q'} \frac{(f^{\lambda\mu}(q, q') u_{qq'})^2 \omega_j^{\lambda\mu} (\varepsilon(q) + \varepsilon(q'))}{[(\varepsilon(q) + \varepsilon(q'))^2 - (\omega_j^{\lambda\mu})^2]^2}. \quad (1.22)$$

Таким путем удалось получить довольно хорошее описание однофононных квадрупольных и октупольных состояний в четно-четных деформированных ядрах [1, 6—8].

При расчетах низколежащих состояний деформированных ядер до 1967 г., а в некоторых работах и позже использовались одночастичные энергии и волновые функции потенциала Нильссона [2, 3]. Для того чтобы получить правильный порядок одночастичных уровней при равновесных деформациях, приходилось полагать параметры потенциала Нильссона различными для разных оболочек, а в отдельных случаях дополнительно проводить сдвиги некоторых подоболочек. Таким путем удалось добиться правильного порядка одночастичных уровней. В расчетах [9], где учитывались парные корреляции сверхпроводящего типа и взаимодействия квазичастиц с фононами, получено достаточно хорошее описание низколежащих неротационных состояний ряда нечетных деформированных ядер редкоземельной области.

Однако потенциальному Нильссону присущи серьезные недостатки. Он является бесконечным по глубине, и поэтому его собственные волновые функции имеют неправильное поведение на границе и вне ядра; спин-орбитальный член не зависит от радиуса и параметров деформации и т. д. Для лучшего описания среднего поля необходимо выбрать более реалистический потенциал. В последние годы получил широкое распространение конечный потенциал с размытым краем — потенциал Саксона — Вудса. Впервые задачу о нахождении одночастичных состояний в деформированном потенциале Саксона — Вудса решили П. Э. Немировский и В. А. Чепурнов [4]. Они использовали метод численного интегрирования системы дифференциальных уравнений и получили

одночастичные энергии и волновые функции для нейтронных и протонных систем ядер редкоземельной области. Однако расчеты сложны, а представление собственных функций в виде громоздких таблиц затрудняет практическое применение этого метода. Позже были предложены другие методы решения уравнения Шредингера с потенциалом Саксона — Вудса [10].

В работах [5, 11] был разработан приближенный метод решения уравнения Шредингера с потенциалом Саксона — Вудса для сферических и деформированных ядер. Этот метод позволяет получить волновые функции сферических ядер в аналитическом виде. Для того чтобы оценить точность приближенного метода в случае деформированных ядер, было проведено сравнение результатов расчетов по методу, приведенному в работе [11], с теми, которые были получены в работе [4]. Было показано [12], что рассчитанные по этим двум методам энергии и волновые функции одночастичных состояний, расположенных вблизи поверхности Ферми, практически совпадают между собой.

На базе этого приближенного метода в работах [5, 13, 14] вычислены одночастичные спектры и волновые функции сильно деформированных ядер. В работе [14] был создан одночастичный базис для проведения расчетов по сверхтекущей модели ядра для областей $150 \leq A \leq 190$ и $234 \leq A \leq 254$.

В работе [15] показано, что использование одночастичных энергий и волновых функций потенциала Саксона — Вудса ведет к лучшему описанию интенсивностей переходов ($E\lambda$ -, $M\lambda$ -переходы, β -распад) между одноквазичастичными состояниями в нечетных ядрах в области $150 \leq A \leq 190$ по сравнению с расчетами, основанными на потенциале Нильссона.

Полученные одночастичные энергии и волновые функции потенциала Саксона — Вудса [14] привели к лучшему описанию тех свойств ядер, которые были исследованы на основе потенциала Нильссона, позволили проанализировать такие экспериментальные данные, которые ранее оставались необъясненными. К ним относятся, например, N — запрещенный β -распад, для которого в работе [16] получены значения $lg ft$, удовлетворительно согласующиеся с экспериментальными.

Следует отметить, что приближенный метод решения уравнения Шредингера с анизотропным потенциалом Саксона — Вудса, предложенный в работах [5, 11], приводит к результатам, обладающим теми же преимуществами в практическом использовании, что и схема Нильссона (асимптотические квантовые числа $Nn\lambda$ для характеристики одночастичных состояний, представление волновых функций деформированных ядер в виде разложения по базисным аналитическим функциям).

Волновая функция деформированного ядра в случае, когда проекция момента на ось симметрии ядра K является хорошим

квантовым числом, имеет следующий вид:

$$\Psi_{MK}^I = \sqrt{\frac{2I+1}{16\pi^2}} \{ D_{MK}^I(\theta_e) \Psi_i(K^\pi) + (-1)^{I+K} D_{M-K}^I(\theta_e) \Psi_i(-K^\pi) \}, \quad (1.23)$$

где θ_e — углы Эйлера. В настоящей работе рассматриваются волновые функции $\Psi_i(K^\pi)$, которые можно использовать для вычисления вероятностей переходов и характеристик ядер с учетом ротационного движения. Функции $\Psi_i(K^\pi)$ служат основой при вычислении эффектов, связанных с кориолисовым взаимодействием.

В настоящей работе изложен метод решения уравнения Шредингера с аксиально симметричным потенциалом Саксона — Вудса. Приведены энергии и волновые функции одночастичных состояний потенциала Саксона — Вудса в зонах $A = 155, 165, 173$ и 181 . Дан математический формализм для описания энергий и волновых функций неротационных состояний нечетных деформированных ядер с учетом взаимодействия квазичастиц с фононами. Изучены роль гексадекапольной деформации и влияние взаимодействия частиц с фононами на $\Delta N = \pm 2$ смешивание. Учен эффеkt изменения равновесной деформации возбужденного состояния по сравнению с основным на энергию и структуру неротационных состояний. Приведены энергии и структура низколежащих состояний большого числа нечетных ядер в области $150 \leq A \leq 190$ и сделано сравнение теории с экспериментом.

2. МЕТОД РЕШЕНИЯ УРАВНЕНИЯ ШРЕДИНГЕРА С АНИЗОТРОПНЫМ ПОТЕНЦИАЛОМ САКСОНА-ВУДСА

Исходим из предположения о том, что форма ядра описывается формулой:

$$R(\theta, \varphi) = R_0 (1 + \beta_0 + \sum_v \sum_\mu \beta_{v\mu} Y_{v\mu}(\theta, \varphi)), \quad (2.1)$$

где R_0 — радиус равновеликого сферического ядра; β_0 — постоянная, которая вводится для выполнения условия сохранения объема; $\beta_{v\mu}$ — параметры деформаций. Имеющиеся экспериментальные данные указывают, что для ядер в областях $150 < A < 190$, $226 < A < 256$ $\beta_{20} > 0$, $\beta_{40} \neq 0$ и $\beta_{60} \sim 0$ [17]. Согласно расчетам [18] равновесные деформации типа β_{22} , $\beta_{3\mu}$ для ядер этих областей равны нулю. Поэтому считаем, что v принимает только четные значения, а $\mu = 0$.

Ядерный потенциал, состоящий из двух частей, имеет вид:

$$V_{nucl}(\mathbf{r}) = V(\mathbf{r}) + V_{s.o}(\mathbf{r}); \quad (2.2)$$

$$V(\mathbf{r}) = -V_0 \{1 + \exp [(r - R(\theta, \varphi)) \alpha]\}^{-1}; \quad (2.3)$$

$$V_{s.o} = -\kappa [\mathbf{p}\sigma] \operatorname{grad} V(\mathbf{r}), \quad (2.4)$$

где κ — константа спин-орбитального взаимодействия, σ — матрицы Паули; \mathbf{r} — импульс нуклона.

В случае протонной системы необходимо добавить кулоновское взаимодействие в виде:

$$V_c(\mathbf{r}) = \frac{3(Z-1)e^2}{4\pi R_0^3} \int \frac{n(\mathbf{r}') d\mathbf{r}'}{|\mathbf{r}-\mathbf{r}'|}, \quad (2.5)$$

где $n(\mathbf{r}') = \{1 + \exp [-(r' - R(\theta', \phi'))/\alpha]\}^{-1}$ — плотность распределения заряда в ядре.

Обозначив $U(\mathbf{r})$ сумму ядерного и кулоновского потенциалов, запишем уравнение Шредингера

$$[-\hbar^2/2M] \Delta + U(\mathbf{r}) - E \varphi(\mathbf{r}) = 0. \quad (2.6)$$

Проведем в уравнении (2.6) тождественное преобразование для выделения сферически симметричной части потенциала и в результате получим

$$[-\hbar^2/2M] \Delta + U(r) + \tilde{U}(\mathbf{r}) - E \varphi(\mathbf{r}) = 0, \quad (2.7)$$

где

$$\tilde{U}(\mathbf{r}) = U(\mathbf{r}) - U(r). \quad (2.8)$$

Для решения задачи разложим $\tilde{U}(\mathbf{r})$ в ряд по сферическим гармоникам $Y_{\lambda 0}(\theta)$, тогда для $\tilde{V}(\mathbf{r}) = V(\mathbf{r}) - V(r)$ будем иметь:

$$\tilde{V}(\mathbf{r}) = \sum_{\lambda} A_{\lambda}^0(\beta_{v0}, r) Y_{\lambda 0}(\theta). \quad (2.9)$$

Функции A_{λ}^0 находятся численно.

Для спин-орбитального взаимодействия можно записать:

$$\tilde{V}_{s.o}(\mathbf{r}) = V_{s.o}(\mathbf{r}) - V_{s.o}(r) = W_1 + W_2 + W_3, \quad (2.10)$$

причем

$$\begin{aligned} W_1 &= -\frac{\kappa}{r} \cdot \frac{\partial \tilde{V}}{\partial r} \left(p_{\theta} \sigma_{\phi} - \frac{1}{\sin \theta} p_{\phi} \sigma_{\theta} \right); \\ W_2 &= -\frac{\kappa}{r^2 \sin \theta} \cdot \frac{\partial \tilde{V}}{\partial \theta} p_{\phi} \sigma_r; \\ W_3 &= \frac{\kappa}{r} \cdot \frac{\partial \tilde{V}}{\partial \theta} p_r \sigma_{\phi}, \end{aligned} \quad (2.11)$$

где σ_{θ} , σ_{ϕ} , σ_r — матрицы Паули в сферической системе координат; p_{θ} , p_{ϕ} , p_r — соответствующие операторы импульса. Вклады этих трех слагаемых различны. Операторы W_1 , W_2 , W_3 — неэрмитовы, в то время как $\tilde{V}_{s.o}$ — эрмитов. Поэтому отбрасывание того или другого слагаемого может привести к неортогональности волновых функций. Это особенно опасно для близких уровней с $\Delta N = \pm 2$.

Рассмотрим вопрос о сохранении объема ядра. Для однородного распределения ядерного вещества с резкой границей

$$\rho(r) = \begin{cases} \rho_0 = 3/(4\pi R_0^3), & r \leq R(\theta, \varphi); \\ 0, & r > R(\theta, \varphi) \end{cases} \quad (2.12)$$

и нормировкой $\int \rho(r) dr = 1$ условие сохранения объема имеет вид:

$$\int d\Omega \int_0^{R(\theta)} r^2 dr = 4\pi R_0^3/3. \quad (2.13)$$

Подставляя для $R(\theta, \varphi)$ выражение (2.1) при $\mu = 0$ (тогда $R(\theta, \varphi) \equiv R(\theta)$), имеем

$$\beta_0 + \beta_0^2 + \frac{1}{3} \beta_0^3 = -\frac{1}{4\pi} \left[\sum_v |\beta_{v0}|^2 (1 + \beta_0/3) + \right. \\ \left. + \frac{1}{3} \sum_{v'v''v'''} \beta_{v'0}^* \beta_{v''0} \beta_{v'''0} \left\{ \frac{(2v''+1)(2v'''+1)}{4\pi(2v'+1)} \right\}^{1/2} (v''v'''00 | v'0)^2 \right]. \quad (2.14)$$

Сохраняя в (2.14) члены до β_{v0}^2 включительно, получаем

$$\beta_0 = -\frac{1}{2} + \sqrt{\frac{1}{4} - \frac{1}{4\pi} \sum_v |\beta_{v0}|^2}. \quad (2.15)$$

Если $\sum_v |\beta_{v0}|^2 < \pi$, то (2.15) сводится к известной формуле:

$$\beta_0 = -\frac{p}{4\pi} \sum_v |\beta_{v0}|^2, \quad (2.16)$$

где

$$p = 1 + \frac{1}{3} \left(\frac{1}{\pi} \sum_v |\beta_{v0}|^2 \right) + \frac{3}{12} \left(\frac{1}{\pi} \sum_v |\beta_{v0}|^2 \right)^2 + \dots$$

и $p \rightarrow 1$ при $\sum_v |\beta_{v0}|^2 \rightarrow 0$.

В случае распределения ядерного вещества типа Саксона — Вудса условие (2.13) преобразуется следующим образом:

$$\int d\Omega \int n(r) r^2 dr = 4\pi \int n(r) r^2 dr, \quad (2.17)$$

здесь $n(r)$ имеет вид (2.5).

Перепишем уравнение (2.17) в виде:

$$\int \int [n(r) - \tilde{n}(r)] d\Omega r^2 dr = \int \int \tilde{n}(r) d\Omega r^2 dr,$$

где $\tilde{n}(r) = n(r) - n(r)$. Разложим $\tilde{n}(r)$ в ряд по сферическим гармоникам $Y_{\lambda 0}(\theta)$, тогда условие сохранения объема (2.17) сводится

к простому соотношению:

$$\int \int \tilde{n}(\mathbf{r}) d\Omega r^2 dr = \int d\Omega \int \sum_{\lambda} C_{\lambda}^0 \left(r, \beta_0, \sum_v \beta_{v0} \right) Y_{\lambda 0}(\theta) r^2 dr = \\ = V \sqrt{4\pi} \int C_0^0 \left(r, \beta_0, \sum_v \beta_{v0} \right) r^2 dr = 0. \quad (2.18)$$

Уравнение (2.18) решается методом последовательных приближений и нулевое приближение выбирается в виде (2.16) с $p = 1$. При равновесных значениях параметров деформации $\beta_{v0} \equiv \beta_{v0}^0$ величина β_0 порядка нескольких тысячных и всегда отрицательна. Это приводит к эффективному уменьшению $R(\theta)$, вследствие чего все уровни одночастичного спектра примерно одинаково поднимаются вверх. При $\beta_{20} > \beta_{20}^0$ введение β_0 становится весьма важным, так как сдвиг различных уровней неодинаков и спектр одночастичных уровней сильно меняется. Такое изменение нельзя компенсировать малыми изменениями параметра потенциала r_0 (что было возможно для равновесных β_{20}^0).

Будем искать решение уравнения (2.6) в виде суперпозиции

$$\varphi = \sum_{nlj} a_{nlj}^{\Omega} \Phi_{nlj}^{\Omega}. \quad (2.19)$$

Функции Φ_{nlj}^{Ω} являются собственными функциями уравнения Шредингера со сферически симметричным потенциалом

$$[(-\hbar^2/2M) \Delta + V(r) - \epsilon_{nlj}] \Phi_{nlj}^{\Omega} = 0 \quad (2.20)$$

и $\Phi_{nlj}^{\Omega} = R_{nlj}(r) Y_{lj}^{\Omega}$, Y_{lj}^{Ω} — шаровой спинор, а радиальная часть волновой функции с высокой точностью аппроксимируется формулой [11]:

$$R_{nlj} = (1/r) N_n (A/C)^{1/2} H_n [S(r)] \exp [-S^2(r)/2], \quad (2.21)$$

где N_n — константа нормировки; $H_n(x)$ — полином Эрмита; A и C — параметры, характеризующие волновую функцию данного состояния [11]; $S(r)$ — корректирующая функция, удовлетворяющая условию:

$$\int_{-\sqrt{E}}^S (E - \sigma^2)^{1/2} d\sigma = \int_{r_1}^r p(\xi) d\xi, \quad (2.22)$$

здесь $p(\xi)$ — квазиклассический импульс; r_1 — точка поворота. Функция $S(r)$ выбирается так, что $(E - \sigma^2)^{1/2}$ обращается в нуль одновременно с $p(\xi)$ [11]. Подставляя (2.19) в (2.6), умножая на $(\Phi_{n'l'j'}^{\Omega})^*$ и интегрируя, получаем

$$(\epsilon_{n'l'j'} - E) a_{n'l'j'}^{\Omega} + \sum_{nlj} a_{nlj}^{\Omega} \langle \Phi_{n'l'j'}^{\Omega}, |\tilde{U}| \Phi_{nlj}^{\Omega} \rangle = 0. \quad (2.23)$$

Вследствие аксиальной симметрии потенциала \tilde{U} в (2.19) входят члены с l , одинаковыми по четности. Решая систему уравнений (2.23), находим одночастичные энергии E и волновые функции [коэффициенты a_{nij}^{Ω} разложения (2.19)].

3. СХЕМЫ ОДНОЧАСТИЧНЫХ УРОВНЕЙ

Известно, что схема Нильссона предусматривает постоянство относительного расположения уровней с изменением A при фиксированном значении параметров деформации. Меняется лишь масштаб отсчета энергии $\hbar\omega_0 \sim A^{-1/3}$. В случае потенциала Саксона — Вудса относительное расположение подоболочек является функцией массового числа A , так как энергии состояний с различными n, l, j (при $\beta_{v0} = 0$) имеют разную зависимость от радиуса ядра. Поэтому, строго говоря, одночастичные состояния потенциала Саксона — Вудса необходимо вычислять для каждого значения массового числа A . Однако одночастичные энергии и волновые функции меняются при увеличении A медленно и монотонно. Поэтому область ядер $150 \leq A \leq 190$ разделим на четыре зоны с $A = 155, 165, 173, 181$.

Расчет одночастичных состояний проведен на основе изложенного в разд. 2 метода, когда в сумме $\sum_v \beta_{v0} Y_{v0}(\theta)$ сохранена квадрупольная ($v = 2$) и гексадекапольная ($v = 4$) деформации и $R(\theta)$ имеет вид:

$$R(\theta) = R_0 \{1 + \beta_0 + \beta_{20}Y_{20}(\theta) + \beta_{40}Y_{40}(\theta)\}. \quad (3.1)$$

Результаты вычислений представлены для равновесных значений β_{40} , которые согласно [17] равны 0,06; 0,02; -0,02; -0,03 для A вблизи 155, 165, 173 и 181 соответственно. На рис. 1—8 приведены фрагменты схем нейтронных и протонных уровней с $A = 155, 165, 173$ и 181 при значениях β_{20} , близких к равновесным. Параметры потенциала Саксона — Вудса даны в табл. 3.1. Как видно из таблицы, параметры потенциала несколько изменяются при переходе от одной зоны к другой. Параметры табл. 3.1 близки к параметрам потенциала Саксона — Вудса для ядер в области $234 \leq A \leq 260$, приведенным в работе [19].

Таблицы одночастичных энергий и волновых функций приведены в Приложении. Чтобы уменьшить объем таблиц, ограничимся только состояниями, находящимися в интервале энергий от -12 до 0 MeV для рассматриваемых зон ядер. Одночастичные энергии и коэффициенты волновых функций даны при равновесных значениях параметров деформации β_{20} и β_{40} . Из таблиц можно видеть, что коэффициенты смешивания базисных волновых функций слабо меняются при переходе от одной зоны к другой, в то время как одночастичные энергии сильно зависят от A . В табл. 3.2

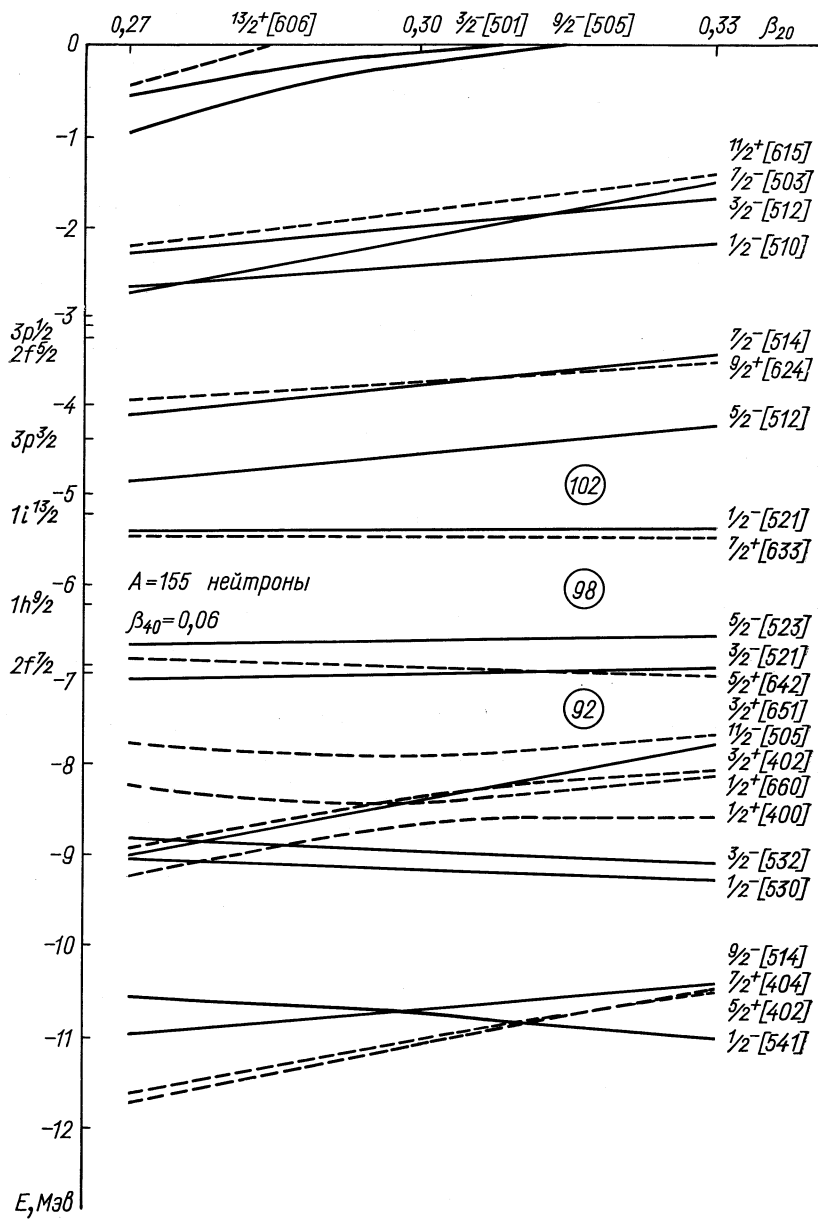


Рис. 1. Схема нейтронных одночастичных состояний $A = 155$.

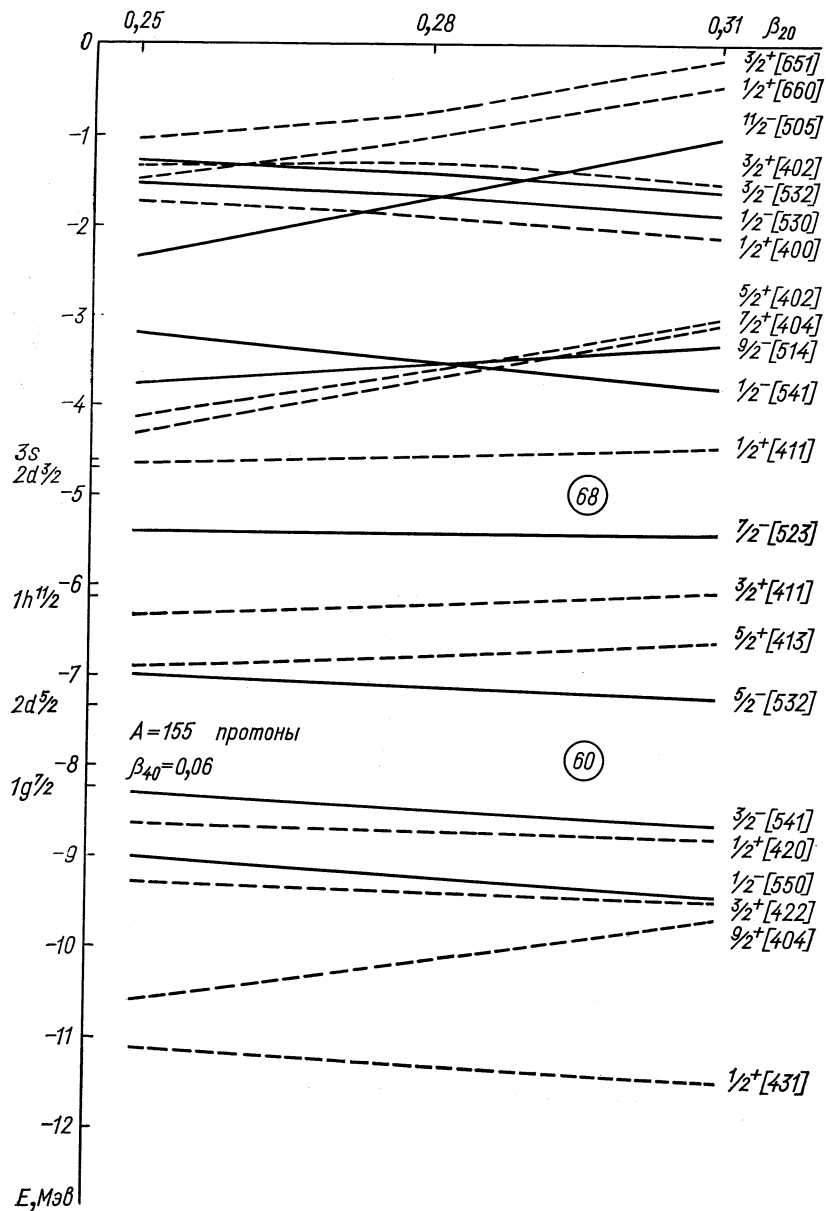


Рис. 2. Схема протонных одночастичных состояний $A = 155$.

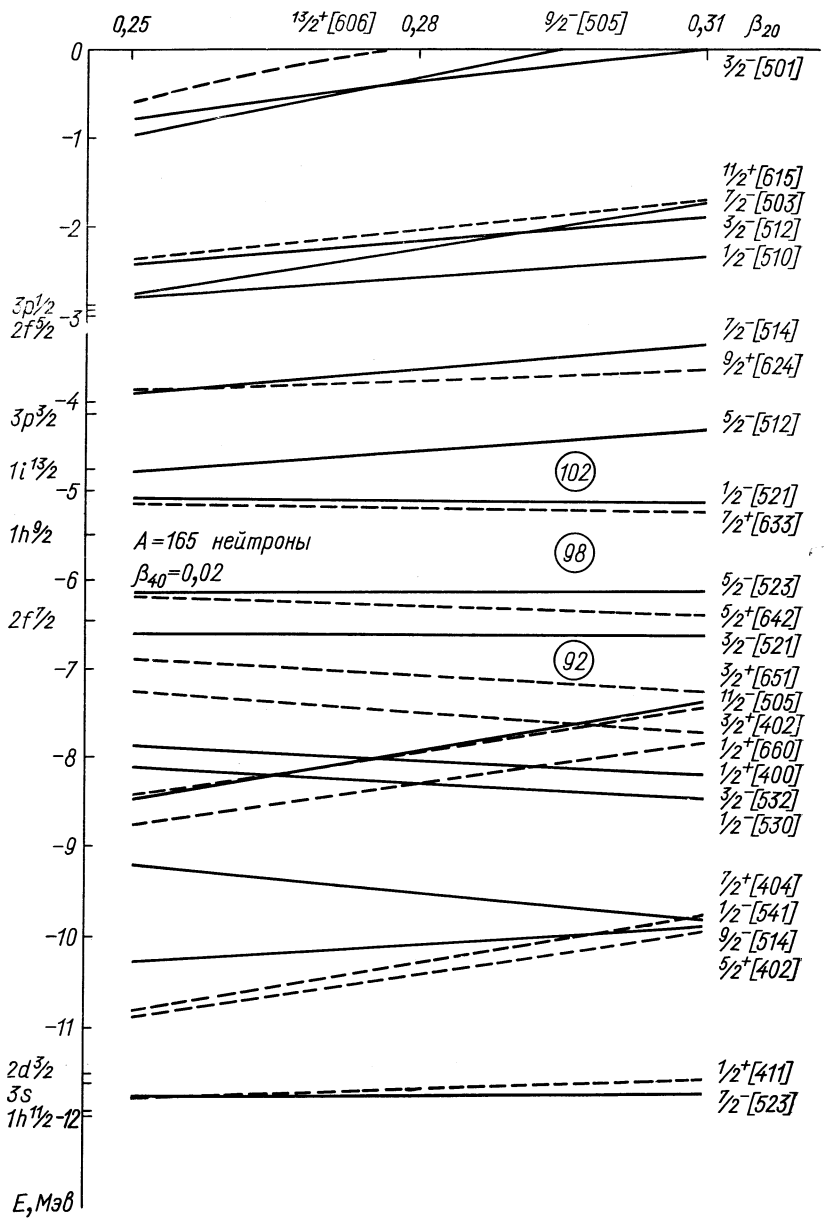


Рис. 3. Схема нейтронных одночастичных состояний $A = 165$.

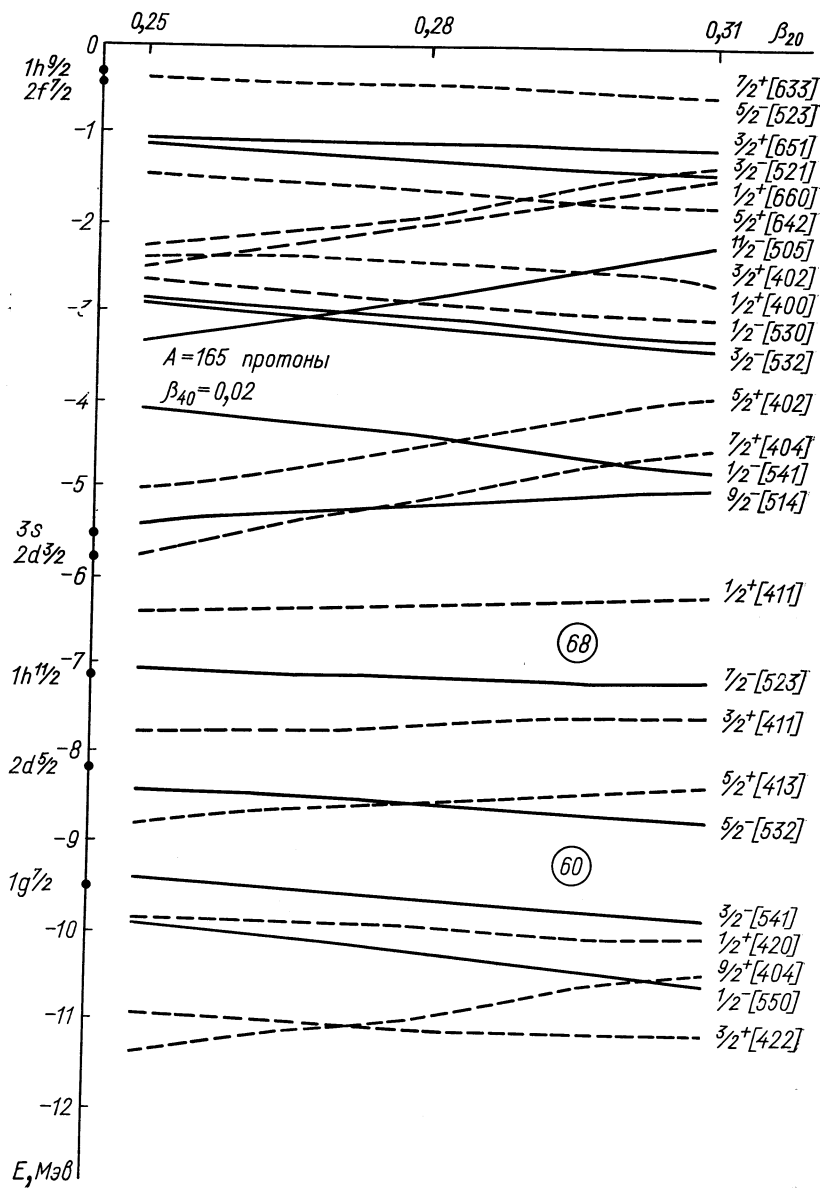


Рис. 4. Схема протонных одночастичных состояний $A = 165$.

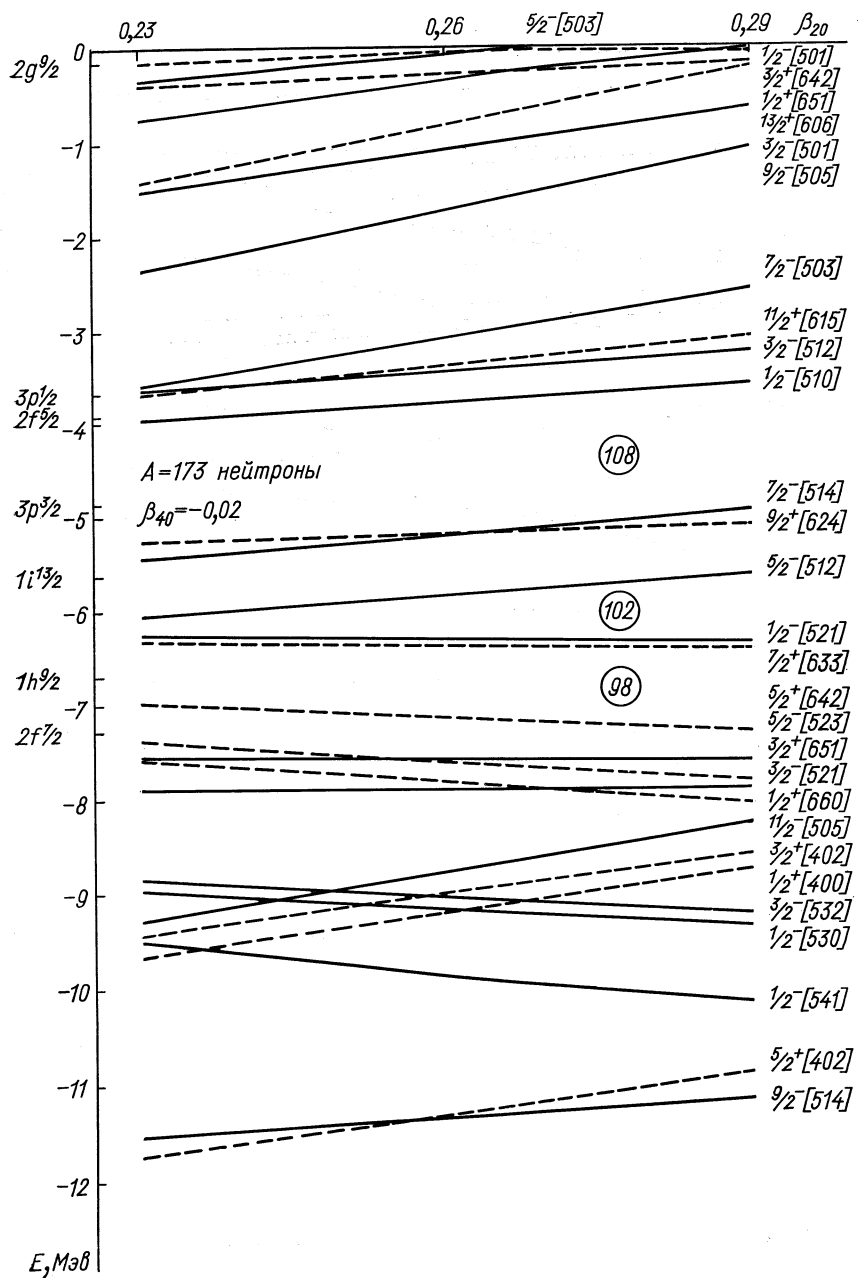


Рис. 5. Схема нейтронных одночастичных состояний $A = 173$

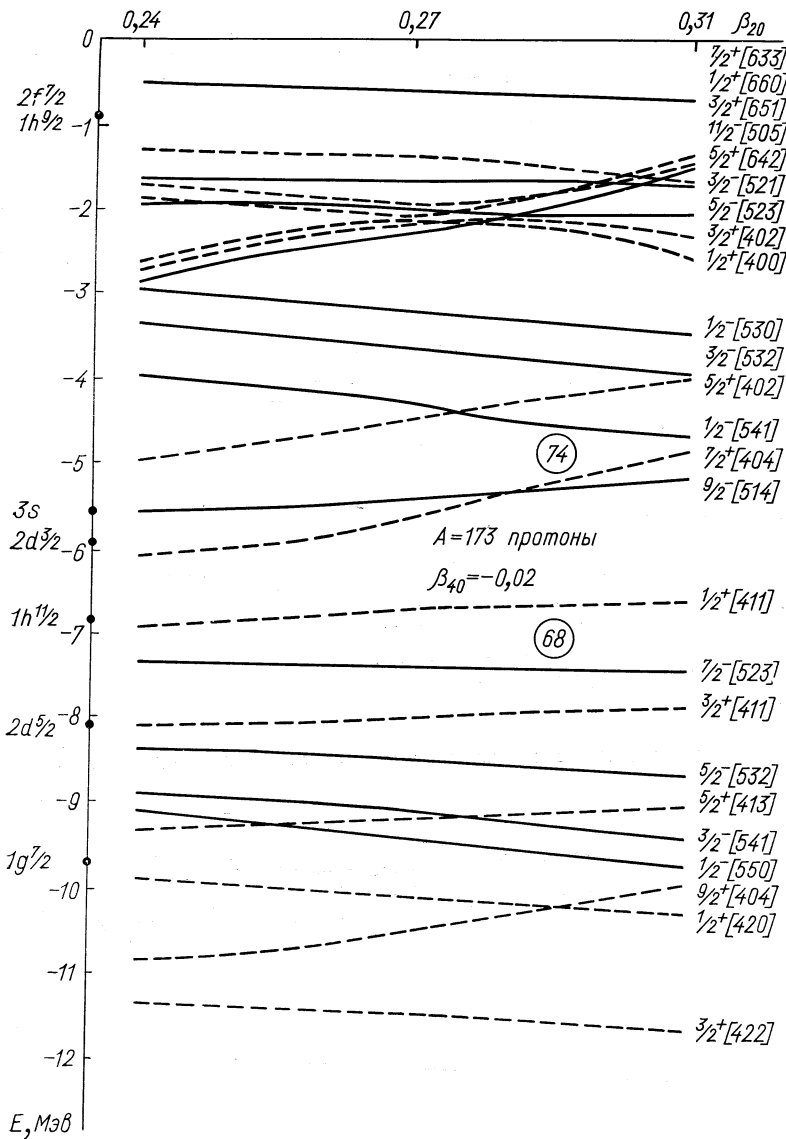


Рис. 6. Схема протонных одночастичных состояний $A = 173$.

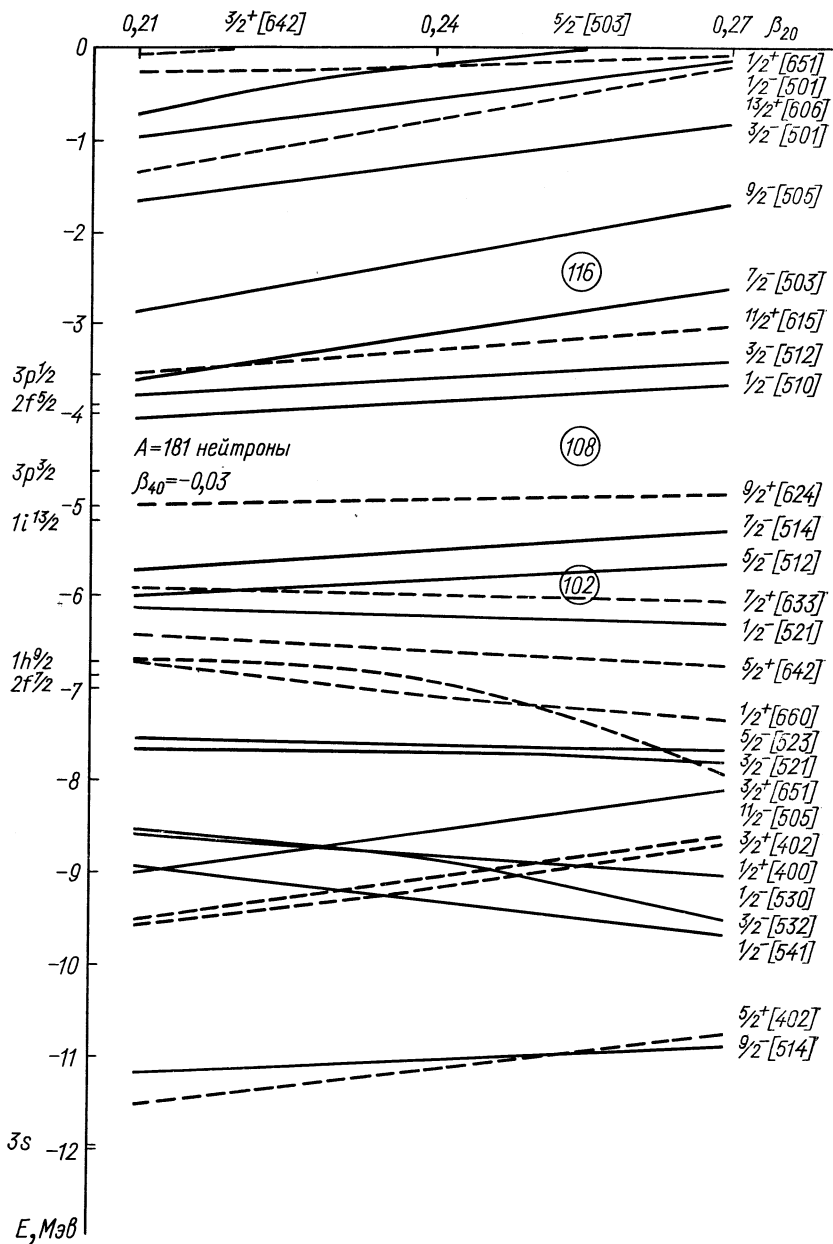


Рис. 7. Схема нейтронных одночастичных состояний $A = 181$.

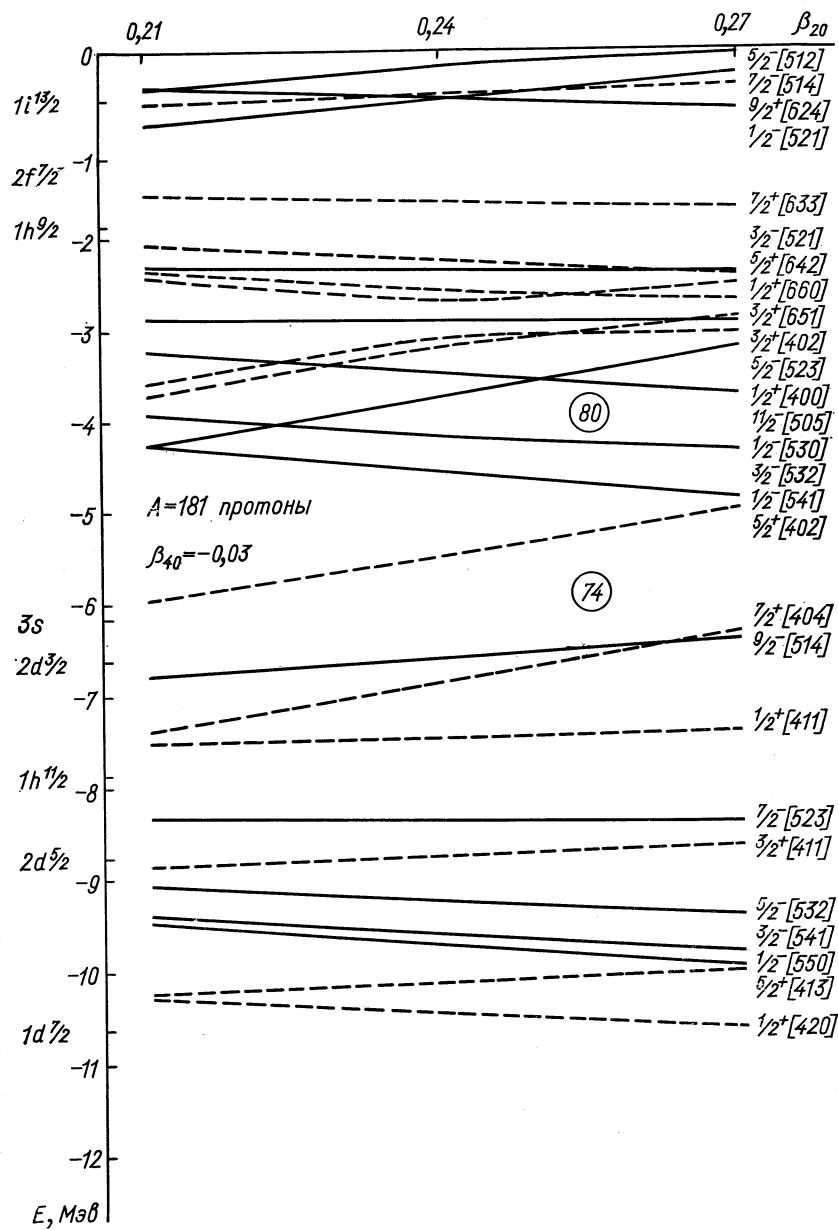


Рис. 8. Схема протонных одночастичных состояний $A=181$.

Таблица 3.1

Параметры потенциала Саксона — Будса

A	Нейтронная система				Протонная система			
	V_0 , Мэв	r_0 , ферми	κ , ферми ²	α , ферми ⁻¹	V_0 , Мэв	r_0 , ферми	κ , ферми ²	α , ферми ⁻¹
155	47,2	1,26	0,40	1,67	59,2	1,24	0,360	1,63
165	44,8	1,26	0,43	1,67	59,2	1,25	0,355	1,63
173	44,8	1,26	0,42	1,67	59,2	1,25	0,320	1,59
181	43,4	1,26	0,40	1,67	59,8	1,24	0,330	1,67

Таблица 3.2

Коэффициенты разложения a_{nlj}^{Ω} протонного состояния 411 для $\beta_{20} = 0,24$, $\beta_{40} = -0,03$ при $A = 173$ и $A = 181$

A	173		181		A	173		181	
	E	nlj	E	nlj		E	nlj	E	nlj
1	—6,811		—7,544		1	—6,811		—7,544	
$k_{15/2}$	—0,009		—0,009		$2d_{3/2}$		0,727		0,736
$k_{17/2}$	—0,009		—0,009		$2d_{5/2}$		0,442		0,428
$g_{7/2}$	0,074		0,075		$1g_{7/2}$		—0,367		—0,359
$d_{5/2}$	0,000		—0,003		$1g_{9/2}$		—0,163		—0,160
$i_{11/2}$	—0,108		—0,113		$2s_{1/2}$		0,021		0,023
$g_{9/2}$	0,068		0,067		$1d_{3/2}$		0,000		—0,005
$i_{13/2}$	—0,079		—0,090		$1d_{5/2}$		0,023		0,022
$s_{1/2}$	—0,292		—0,299		$1s_{1/2}$		0,006		0,007

даны коэффициенты a_{nlj}^{Ω} состояния $1/2^+$ [411] для $A = 173$ и $A = 181$. Видно, что зависимость коэффициентов a_{nlj}^{Ω} от A слабая.

Чтобы вычислить различные характеристики деформированных ядер, необходимо знать величины корреляционных функций C_n , C_p и химических потенциалов λ_n , λ_p для нейтронных и протонных систем.

В табл. 3.3 приведены корреляционные функции для основных состояний четно-четных и нечетных ядер. Корреляционные функции и химические потенциалы рассчитаны со схемами одночастичных уровней, данными на рис. 1—8 при значениях β_{20} и β_{40} , близких к равновесным.

Таблица 3.3
Корреляционные функции и химические потенциалы для основных состояний нейтронных (N) и протонных (Z) систем

Зона по A	N	Нейтронная система				Протонная система				Параметры равновесных деформаций	
		четная $N+1$		нечетная N		четная $Z+1$		нечетная Z		β_{20}^0	β_{40}^0
		$C_n, M_{\text{вв}}$	$\lambda_n, M_{\text{вв}}$	$C_n, M_{\text{вв}}$	$\lambda_n, M_{\text{вв}}$	$C_p, M_{\text{вв}}$	$\lambda_p, M_{\text{вв}}$	$C_p, M_{\text{вв}}$	$\lambda_p, M_{\text{вв}}$		
155	89	1,13	-7,80	0,96	-7,97	59	1,45	-7,85	0,79	-8,04	
	91	1,08	-7,41	0,87	-7,59	61	1,49	-7,46	0,72	-7,61	0,06
	93	1,03	-7,00	0,81	-7,32	63	1,23	-6,54	0,85	-6,82	
	95	0,96	-6,57	0,72	-6,81	65	1,26	-5,90	0,87	-6,18	
165	97	0,90	-6,05	0,50	-6,22	67	1,34	-5,27	0,90	-5,56	
	93	1,07	-6,50	0,89	-6,68	63	1,12	-8,0	0,68	-7,86	
	95	1,01	-6,11	0,83	-6,31	65	1,11	-7,36	0,67	-7,45	0,28
	97	0,95	-5,67	0,74	-5,83	67	1,12	-6,70	0,74	-6,53	
173	99	0,91	-5,21	0,67	-5,53	69	1,20	-6,05	0,74	-5,99	
	101	0,87	-4,75	0,63	-4,97	71	1,30	-5,50	0,93		
	101	0,89	-6,39	0,71	-6,67	67	1,07	-6,95	0,72	-7,26	
	103	0,84	-6,00	0,65	-6,46	69	1,06	-6,28	0,57	-6,55	
181	105	0,77	-5,58	0,54	-5,78	71	1,15	-5,65	0,72	-6,11	0,26
	107	0,72	-5,14	0,51	-5,48	73	1,25	-5,09	0,84	-5,32	-0,02
	109	0,77	-3,77	0,32	-4,31	71	0,96	-6,74	0,64	-7,08	
	111	0,79	-3,51	0,56	-3,71	73	0,91	-6,07	0,47	-6,27	
	113	0,73	-3,11	0,55	-3,34	75	1,02	-5,37	0,25	-5,74	-0,03

4. ВЗАИМОДЕЙСТВИЯ КВАЗИЧАСТИЦ С ФОНОНАМИ В НЕЧЕТНЫХ ДЕФОРМИРОВАННЫХ ЯДРАХ

На энергию и волновые функции неротационных состояний нечетных деформированных ядер оказывают наибольшее влияние парные корреляции сверхпроводящего типа, взаимодействия квазичастиц с фононами и кориолисово взаимодействие.

В данном параграфе рассмотрим влияние взаимодействия квазичастиц с фононами на структуру неротационных состояний деформированных ядер с нечетным числом нейтронов и протонов. Роль кориолисова взаимодействия для большинства оснований ротационных полос невелика. Однако согласно работе [20] и другим работам кориолисово взаимодействие может быть важно для уровней, исходящих из сферических подоболочек с большим j , и является особенно существенным для ротационных состояний с большими спинами. В изучаемой области ядер наиболее сильное влияние взаимодействие Кориолиса может оказать на состояния подоболочек $i_{13/2}$ (в нечетных N -ядрах) и $h_{11/2}$ (в нечетных Z -ядрах). В рамках сверхтекущей модели учет кориолисова взаимодействия нетрудно провести так, как это было сделано в работах [20].

В нечетном ядре имеется одна квазичастица в дополнение к фононам и квазичастицам четно-четного ядра с $A = 1$. Наличие дополнительной квазичастицы приводит к некоторому изменению фононов, однако этим изменением обычно пренебрегают. При изучении взаимодействия квазичастиц с фононами полагают, что операторы фононов полностью определены, а тем самым фиксированы константы мультиполь-мультипольного взаимодействия.

Впервые учет взаимодействия квазичастиц с фононами в рамках сверхтекущей модели был проведен в работе [21]. В этой работе был взят гамильтониан (1.1) с $H' = 0$ и на основе вариационного принципа получено секулярное уравнение. Корни этого уравнения являются энергиями основных и возбужденных состояний нечетных деформированных ядер. Математический аппарат такого рассмотрения изложен в работе [1]. В работах [9, 22, 23] на основе учета взаимодействия квазичастиц с фононами был проведен анализ структуры большого числа ядер. Было показано, что только нижайшие и небольшое число более высоких возбужденных состояний близки к одноквазичастичным. Отдельные состояния имеют чисто коллективный характер, т. е. в их волновой функции преобладает одна компонента квазичастица плюс фонон. Большинство же состояний имеет сложную структуру, т. е. в их волновые функции дают вклад несколько компонент типа квазичастица плюс фонон.

Приведем основные формулы теории, учитывающей взаимодействия квазичастиц с фононами в нечетных деформированных ядрах. Если принять во внимание секулярное уравнение (1.20)

для определения энергий фононов $\omega_j^{\lambda\mu}$, то гамильтониан (1.17) можно записать в следующем виде:

$$\begin{aligned}
 H_{vq} = & \sum_q \epsilon(q) B(q, q) - \frac{1}{2} \sum_{\lambda\mu j} \frac{1}{Y_j(\lambda\mu)} \times \\
 & \times \sum_{q, q'} \frac{(f^{\lambda\mu}(q, q') u_{qq'})^2 (\epsilon(q) + \epsilon(q'))}{(\epsilon(q) + \epsilon(q'))^2 - (\omega_j^{\lambda\mu})^2} Q_j^+(\lambda\mu) Q_j(\lambda\mu) - \\
 & - \frac{1}{4} \sum_{\lambda\mu j} \frac{1}{V Y_j(\lambda\mu)} \sum_{q, q'} v_{qq'} f^{\lambda\mu}(q, q') \times \\
 & \times \{B(q, q') (Q_j^+(\lambda\mu) + Q_j(\lambda\mu)) + (Q_j^+(\lambda\mu) + Q_j(\lambda\mu)) B(q, q')\}. \quad (4.1)
 \end{aligned}$$

Волновая функция для нечетного ядра, описывающая состояние с данным K^π , имеет вид:

$$\begin{aligned}
 \Psi_i(K^\pi) = & \frac{N_i(\rho_1 \dots \rho_n)}{\sqrt{2}} \sum_\sigma \left\{ \sum_{\rho_n} C_{\rho_n}^i \alpha_{\rho_n \sigma}^+ + \right. \\
 & \left. + \sum_{\lambda\mu j} \sum_q D_{q\sigma}^{\lambda\mu ij} (\rho_1 \dots \rho_n) \alpha_{q\sigma}^+ Q_j^+(\lambda\mu) \right\} \Psi_0. \quad (4.2)
 \end{aligned}$$

Здесь коэффициенты $(N_i(\rho_1 \dots \rho_n) C_{\rho_n}^i)^2$ и $(N_i(\rho_1 \dots \rho_n) \times \times D_{q\sigma}^{\lambda\mu ij} (\rho_1 \dots \rho_n))^2$ характеризуют вклад в рассматриваемое состояние одноквазичастичной компоненты ρ_n и компоненты квазичастица в состоянии $q\sigma$ плюс фонон $\lambda\mu j$. Суммирование по ρ_n означает, что принимается во внимание несколько состояний $\rho_1 \dots \rho_n$ с одинаковым значением K^π , которые имеются в одночастичной схеме потенциала Саксона—Вудса. Однако при изучении низколежащих возбужденных состояний нет необходимости учитывать все состояния с одинаковым значением K^π , так как они, как правило, расположены далеко друг от друга. Обычно можно ограничиться учетом двух состояний с одинаковыми K^π , имеющими близкие квазичастичные энергии. В этом случае волновую функцию запишем в виде

$$\begin{aligned}
 \Psi_i(K^\pi; \rho_1, \rho_2) = & N_i(\rho_1, \rho_2) \frac{1}{\sqrt{2}} \sum_\sigma \left\{ C_{\rho_1}^i \alpha_{\rho_1 \sigma}^+ + \right. \\
 & \left. + C_{\rho_2}^i \alpha_{\rho_2 \sigma}^+ + \sum_{\lambda\mu j q} D_{\rho_1 \rho_2 q \sigma}^{\lambda\mu ij} \alpha_{q\sigma}^+ Q_j^+(\lambda\mu) \right\} \Psi_0 \quad (4.3)
 \end{aligned}$$

с условием нормировки

$$N_i^2(\rho_1, \rho_2) \left\{ (C_{\rho_1}^i)^2 + (C_{\rho_2}^i)^2 + \frac{1}{2} \sum_{q\sigma} (D_{\rho_1 \rho_2 q \sigma}^{\lambda\mu ij})^2 \right\} = 1. \quad (4.4)$$

Найдем среднее значение H_{vq} по состоянию (4.3) и, пользуясь вариационным принципом, получим секулярное уравнение, определяющее энергию η_i , в виде:

$$P(\eta) = \begin{vmatrix} V_i(\rho_1, \rho_1) - (\epsilon(\rho_1) - \eta_i) & V_i(\rho_1, \rho_2) \\ V_i(\rho_1, \rho_2) & V_i(\rho_2, \rho_2) - (\epsilon(\rho_2) - \eta_i) \end{vmatrix} = 0, \quad (4.5)$$

где

$$V_i(\rho, \rho') = \frac{1}{4} \sum_{\lambda \mu j q} \frac{v_{\rho q} v_{\rho' q}}{Y_j(\lambda \mu)} \cdot \frac{f^{(\lambda \mu)}(\rho q) f^{(\lambda \mu)}(\rho' q)}{\epsilon(q) + \omega_j^{\lambda \mu} - \eta_i}; \quad (4.6)$$

$Y_j(\lambda \mu)$ определено формулой (1.22). Величины $C_{\rho_1}^i$ и $C_{\rho_2}^i$ имеют вид:

$$\left. \begin{aligned} C_{\rho_1}^i &= 1 - \frac{V_i(\rho_1, \rho_2)}{V_i(\rho_1, \rho_1) - (\epsilon(\rho_1) - \eta_i)}; \\ C_{\rho_2}^i &= 1 - \frac{V_i(\rho_1, \rho_2)}{V_i(\rho_2, \rho_2) - (\epsilon(\rho_2) - \eta_i)}. \end{aligned} \right\} \quad (4.7)$$

Тогда

$$D_{\rho_1 \rho_2 q \sigma}^{\lambda \mu ij} = C_{\rho_1}^i D_{\rho_1 q \sigma}^{\lambda \mu ij} + C_{\rho_2}^i D_{\rho_2 q \sigma}^{\lambda \mu ij}. \quad (4.8)$$

В случае учета только одного одночастичного состояния ρ с данным K^π в волновой функции (4.2) секулярное уравнение сводится к приравненному нулю диагональному члену в (4.5).

В каждом ядре наименьшее из всех значений $\eta_1(K_0^\pi)$ является энергией основного состояния, а энергии возбужденных состояний определяются разностями

$$\eta_i(K^\pi) - \eta_1(K_0^\pi). \quad (4.9)$$

При суммировании по $\lambda \mu j$ в уравнении (4.5) обычно учитывают фононы с $j = 1, 2$; $\lambda = 2$; $\mu = 0, 2$ и $\lambda = 3$, $\mu = 0, 1$ и 2 . Такое ограничение первыми двумя корнями уравнения (1.20) и фононами с $\lambda < 4$ вполне оправдано, так как при этом учтены все основные коллективные колебательные состояния деформированных ядер. Состояния, близкие к двухквазичастичным, играют малую роль, так как для них величины $Y_j(\lambda \mu)$ весьма велики, и поэтому вклад соответствующих членов в секулярное уравнение очень мал.

Для улучшения точности расчетов учитывается эффект блокировки. Для этого величины $\epsilon(\rho)$ вычисляются со значениями $C(\rho)$ и $\lambda(\rho)$ для нечетной системы. В тех случаях, когда взаимодействие квазичастич с фононом $\lambda = 2$, $\mu = 0$ имеет преобладающее значение, необходимо решать более сложное секулярное уравнение, включающее члены, которые используются при исключении духового состояния [1].

На энергию и структуру неротационного состояния, близкого к одноквазичастичному, существенное влияние может оказать изменение равновесной деформации ядра в возбужденном состоянии по сравнению с основным.

В работе [24] обращено внимание на то, что равновесные деформации β_{20}^e возбужденных одноквазичастичных состояний, одночастичные энергии которых сильно меняются с ростом параметра деформации, могут отличаться от равновесной деформации β_{20}^0 ядра в основном состоянии. Расчеты, проведенные в работах [18, 25], подтвердили возможность существования возбужденных состояний с $\beta_{20}^e \neq \beta_{20}^0$.

Для рассматриваемой области ядер в работе [25] были вычислены равновесные деформации возбужденных состояний. Для состояний, у которых $\beta_{20}^e \neq \beta_{20}^0$, были вычислены энергии и структура в рамках изложенного выше метода. Расчеты равновесных деформаций основных и возбужденных состояний нечетных ядер были проведены методом оболочечной поправки Струтинского [26].

В результате показано, что имеется заметное изменение равновесных деформаций возбужденных состояний по сравнению с основными $\Delta\beta_{v0} = \beta_{v0}^e - \beta_{v0}^0$ для одночастичных состояний $n505\uparrow, p541\downarrow, p404\downarrow$ и ряда других. Изменения параметров квадрупольной $\Delta\beta_{20}$ и гексадекапольной $\Delta\beta_{40}$ деформаций этих состояний в некоторых ядрах приведены в табл. 4.1.

Из табл. 4.1 видно, что в отдельных ядрах $\Delta\beta_{20}$ принимает значение до 0,04, а $\Delta\beta_{40}$ — до 0,032. В тех случаях, когда $\Delta\beta_{20}$ и $\Delta\beta_{40}$ превышают 0,01, эффект $\beta_{v0}^e \neq \beta_{v0}^0$ следует принимать во внимание при расчетах энергий и волновых функций возбужденных состояний.

Энергии и волновые функции состояний $n505\uparrow, p541\downarrow, p404\downarrow, p402\uparrow$ вычислены с теми же матричными элементами и фононами, что и расчеты в работах [22, 23]. Только для указанных состояний одночастичные энергии потенциала Саксона — Вудса были взяты при равновесных деформациях β_{v0}^e . Энергии и волновые функции однофононных состояний вычислены при равновесных деформациях β_{v0}^0 .

В качестве примера в табл. 4.2 приведены расчеты для состояния, близкого к 11/2⁻ [505]. В этой таблице также даны энергии состояний, рассчитанные в работе [23] при $\beta_{v0}^e = \beta_{v0}^0$. Экспериментальные данные взяты из обзора [27]. Табл. 4.2 демонстрирует, что во всех случаях учет эффекта $\beta_{v0}^e \neq \beta_{v0}^0$ привел к лучшему согласию с экспериментом рассчитанных энергий. Сравнение структуры состояний, данных в табл. 4.2, с таковой, приведенной в работах [23], показывает, что эффект $\beta_{v0}^e \neq \beta_{v0}^0$ не оказывает существенного влияния на структуру состояний. Учет эффекта $\beta_{v0}^e \neq \beta_{v0}^0$ приводит только к небольшому возрастанию величин одноквазичастичных компонент.

Таблица 4.1
Изменение равновесных деформаций $\Delta\beta_{20}$, $\Delta\beta_{40}$
в возбужденных состояниях по сравнению с основными

Ядро	$n\ 505\uparrow$		Ядро	$p\ 541\downarrow$	
	$\Delta\beta_{20}$	$\Delta\beta_{40}$		$\Delta\beta_{20}$	$\Delta\beta_{40}$
^{153}Sm	0,027	-0,008	^{171}Tm	0,026	0,017
^{155}Sm	0,019	-0,007	^{169}Lu	0,027	0,003
^{155}Gd	0,033	0,002	^{171}Lu	0,030	0,003
^{157}Gd	0,017	-0,011	^{173}Lu	0,034	0,004
^{159}Gd	0,008	-0,017	^{175}Lu	0,035	0,005
^{161}Gd	0,008	-0,016	^{177}Lu	0,033	0,005
^{157}Dy	0,035	0	^{173}Ta	0,011	0,001
^{159}Dy	0,017	-0,012	^{175}Ta	0,019	0,004
^{161}Dy	0,012	-0,015	^{177}Ta	0,026	0,007
^{163}Dy	0,009	-0,017	^{179}Ta	0,040	0,010
^{165}Dy	0,013	-0,003	^{181}Ta	0,040	0,010
^{161}Er	0,017	-0,018	^{181}Re	0,040	0,010
^{163}Er	0,016	-0,012	^{183}Re	0,030	0,010
^{165}Er	0,007	-0,017			
^{167}Er	0,008	-0,014			
^{169}Er	0,007	-0,013			
				$p\ 404\downarrow$	
	$p\ 541\downarrow$				
^{159}Ho	0,028	0,016	^{161}Ho	-0,010	0,016
^{161}Ho	0,024	0,016	^{163}Ho	-0,009	0,015
^{163}Ho	0,023	0,015	^{163}Tm	-0,007	0,01
^{165}Ho	0,024	0,013	^{165}Tm	-0,006	0,013
^{165}Tm	0,024	0,015	^{167}Tm	-0,008	0,032
^{167}Tm	0,023	0,015	^{169}Tm	-0,008	0,014
^{169}Tm	0,024	0,016	^{171}Tm	-0,009	0,014
			^{181}Re	0,020	0
			^{183}Re	0,020	0
			^{185}Re	0,020	0

Таблица 4.2
Влияние $\Delta\beta_{20} \neq 0$, $\Delta\beta_{40} \neq 0$ на энергию состояний $n505\uparrow$

Ядро	K^π	Энергия, кэВ			Структура	
		Опыт	Теория			
			$\beta_{v_0}^e = \beta_{v_0}^0$	$\Delta\beta_{20} \neq 0$ $\Delta\beta_{40} \neq 0$		
^{153}Sm	$11/2^-$	94	470	100	$505\uparrow 97\%$	
^{155}Sm	$11/2^-$	—	800	460	$505\uparrow 98\%$	
^{157}Gd	$11/2^-$	426	830	490	$505\uparrow 98\%$	
^{159}Gd	$11/2^-$	681	1100	820	$505\uparrow 99\%$	
^{161}Gd	$11/2^-$	—	1490	1140	$505\uparrow 99\%$	
^{159}Dy	$11/2^-$	352	820	470	$505\uparrow 99\%$	
^{161}Dy	$11/2^-$	486	1100	760	$505\uparrow 99\%$	

Обсуждаемые результаты получены для хорошо деформированных ядер, которые имеют большие энергии деформации и являются жесткими относительно β - и γ -колебаний. В этих ядрах учет эффекта $\beta_{v0}^e \neq \beta_{v0}^o$ оказал заметное влияние на энергию возбуждения ряда состояний, близких к одноквазичастичным, и привел к улучшению согласия с соответствующими экспериментальными данными. Эффект $\beta_{v0}^e \neq \beta_{v0}^o$ должен оказывать более сильное влияние на энергию и структуру состояний в ядрах переходной области.

5. $\Delta N = \pm 2$ -СМЕШИВАНИЕ В НЕЧЕТНЫХ ДЕФОРМИРОВАННЫХ ЯДРАХ

Используя результаты разд. 4, обсудим эффект смешивания двух состояний с одинаковыми значениями K^π в нечетных деформированных ядрах. Имеются экспериментальные указания [28, 29] на существование в ряде нечетных ядер редкоземельной области состояний, волновые функции которых содержат значительную смесь компонент с $N = 4$ и 6 . Большое смешивание компонент с $\Delta N = \pm 2$ должно наблюдаться в тех нечетных ядрах, для которых квазипересечение уровней с $\Delta N = \pm 2$ происходит при их равновесных деформациях вблизи энергии поверхности Ферми.

Как известно, при описании среднего поля с помощью потенциала Нильссона обычно пренебрегают матричными элементами с $\Delta N = \pm 2$, так как их величины (порядка нескольких килоэлектронвольт) значительно меньше энергетического расстояния между оболочками с $\Delta N = \pm 2$. В результате такого приближения в схеме Нильссона уровни с одним и тем же значением K^π , но из разных N -оболочек, пересекаются.

Использование в качестве среднего поля потенциала Саксона — Вудса привело к лучшему описанию $\Delta N = \pm 2$ -смешивания. Это связано с тем, что потенциал Саксона — Вудса имеет, по сравнению с потенциалом Нильссона, более реалистическую радиальную зависимость. Небольшие примеси компонент с $\Delta N = \pm 2$ содержатся во всех собственных волновых функциях потенциала Саксона — Вудса; с их помощью, например, объяснены в работе [16] N -запрещенные β -переходы.

Впервые анализ $\Delta N = \pm 2$ -смешивания был проведен в работах [4, 5] на базе волновых функций потенциала Саксона — Вудса. В работе [30] указано, что введение гексадекапольной деформации β_{40} является важным для $\Delta N = \pm 2$ -смешивания. В работах [31—33] изучено влияние эффекта $\Delta N = \pm 2$ -смешивания на величины спектроскопических факторов в (d, p) - и (d, t) -реакциях.

В работе [34] было показано, что взаимодействие квазичастиц с фононами оказывает большое влияние на $\Delta N = \pm 2$ -смешивание в нечетных деформированных ядрах.

Следуя [35], рассмотрим в некоторых деформированных ядрах с нечетным числом нейтронов $\Delta N = \pm 2$ -смешивание для двух пар состояний: $400\uparrow, 660\uparrow$ и $402\downarrow, 651\uparrow$. Исследуем зависимость смешивания компонент $N = 4$ и 6 от параметров деформации β_{30} и β_{40} и учета взаимодействия квазичастиц с фононами.

Рассмотрим поведение одночастичных энергий и волновых функций потенциала Саксона — Вудса вблизи квазипересечения состояний $400\uparrow, 660\uparrow$ и $402\downarrow, 651\uparrow$. Как известно, при учете связи $\Delta N = \pm 2$ одночастичные уровни с одинаковыми значениями K^π не пересекаются. Интервал наибольшего сближения двух таких уровней получил название квазипересечения.

В расчетах для нейтронной системы с $A = 155$ выбраны следующие значения параметров потенциала Саксона — Вудса: $r_0 = 1,24$ ферми, $V_0 = 48,2$ Мэв, $\kappa = 0,39$ ферми², $\alpha = 1,8$ ферми⁻¹. Уточнение параметров, по сравнению с представленными в табл. 3.1, вызвано тем, что $\Delta N = \pm 2$ -смешивание очень чувствительно к выбору параметров потенциала среднего поля. Кроме того, была улучшена точность расчетов (увеличен ранг матрицы диагонализации). Проведенное уточнение параметров в основном сказалось на поведении квазипересекающихся уровней. Энергии и структура основных и других возбужденных состояний нечетных деформированных ядер изменились слабо. Собственную функцию (2.19) уравнения Шредингера с потенциалом Саксона — Вудса для состояний с положительной четностью перепишем в виде:

$$\begin{aligned} \varphi_q(\mathbf{r}) = & a_{001/2}^q (N=0) \varphi_{001/2}^q + \sum_{nlj} a_{nlj}^q (N=2) \varphi_{nlj}^q + \\ & + \sum_{nlj} a_{nlj}^q (N=4) \varphi_{nlj}^q + \sum_{nlj} a_{nlj}^q (N=6) \varphi_{nlj}^q + \dots \end{aligned} \quad (5.1)$$

Условие нормировки таково:

$$\begin{aligned} \int \varphi_q^*(\mathbf{r}) \varphi_q(\mathbf{r}) d\mathbf{r} = 1 = & [a_{001/2}^q (N=0)]^2 + \sum_{nlj} [a_{nlj}^q (N=2)]^2 + \\ & + \sum_{nlj} [a_{nlj}^q (N=4)]^2 + \sum_{nlj} [a_{nlj}^q (N=6)]^2 + \dots = \\ & = d_0^2(q) + d_2^2(q) + d_4^2(q) + d_6^2(q) + \dots, \end{aligned} \quad (5.2)$$

т. е. волновые функции содержат компоненты с $N = 0, 2, 4, 6, \dots$, хотя в большинстве случаев одна из компонент $d_N^2(q)$ преобладает. Для состояний с отрицательной четностью разложение (5.2) содержит компоненты с $N = 1, 3, 5, \dots$

Рассмотрим смесь компонент с $N = 4$ и 6 для двух пар состояний $400\uparrow$, $660\uparrow$ и $402\downarrow$, $651\uparrow$ вблизи их квазипересечений. В нижней части рис. 9 дано поведение уровней $402\downarrow$ и $651\uparrow$ в зависимости от β_{20} при $\beta_{40} = 0$ и $\beta_{40} = 0,04$. В интервале квазипересечения уровням нельзя приписать квантовые числа $Nn_z\Lambda$. Структура волновой функции до и после квазипересечения такова, как будто пересечение имело место. Поэтому верхним кривым при $\beta_{20} = 0,30$ приписаны квантовые числа $651\uparrow$, а при $\beta_{20} = 0,33$ — $402\downarrow$. В верхней части рисунка даны значения d_4^2 и d_6^2 для состояния $402\downarrow$ при $\beta_{40} = 0$ и $\beta_{40} = 0,04$. Из рисунка видно, что при $\beta_{40} = 0$ смешивание этих компонент происходит в весьма узком интервале $\Delta\beta_{20}$, а при $\beta_{40} = 0,04$ этот интервал увеличивается.

Таблица 5.1

Смесь компонент с $N=4$ и $N=6$ вблизи точки квазипересечения состояний $660\uparrow$ и $400\uparrow$ в нейтронной системе с $A=155$

β_{20}	$E(q), M_{\text{эф}}$	$d_4^2(q)$	$d_6^2(q)$	$E(q'), M_{\text{эф}}$	$d_4^2(q')$	$d_6^2(q')$	$\frac{E(q) - E(q')}{M_{\text{эф}}}$
$\beta_{40}=0,04$							
0,300	-8,524	0,098	0,856	-8,772	0,937	0,052	0,248
0,305	-8,552	0,190	0,766	-8,695	0,844	0,138	0,143
0,310	-8,549	0,628	0,345	-8,649	0,409	0,558	0,100
0,312	-8,528	0,796	0,184	-8,649	0,240	0,718	0,121
0,315	-8,485	0,903	0,080	-8,661	0,132	0,822	0,176
0,320	-8,403	0,950	0,035	-8,691	0,086	0,866	0,288
0,325	-8,317	0,961	0,024	-8,725	0,074	0,876	0,408
0,330	-8,226	0,965	0,020	-8,751	0,071	0,878	0,525
$\beta_{40}=0$							
0,300	-8,228	0,058	0,902	-8,549	0,954	0,027	0,321
0,305	-8,266	0,078	0,880	-8,465	0,934	0,048	0,199
0,310	-8,295	0,220	0,743	-8,389	0,795	0,184	0,094
0,312	-8,295	0,454	0,516	-8,370	0,560	0,412	0,075
0,315	-8,267	0,810	0,172	-8,369	0,206	0,754	0,102
0,320	-8,188	0,927	0,057	-8,399	0,086	0,868	0,211
0,325	-8,103	0,944	0,039	-8,434	0,070	0,885	0,331
0,330	-8,012	0,949	0,034	-8,468	0,065	0,888	0,456

Для другой пары состояний $400\uparrow$ и $660\uparrow$ в табл. 5.1 приведены одночастичные энергии $E(q)$, $E(q')$, их разности и компоненты d_4^2 и d_6^2 в зависимости от β_{20} при $\beta_{40} = 0$ и $\beta_{40} = 0,04$. Из табл. 5.1 видно, что большое смешивание компонент $N = 4$ и 6 имеет место в интервале $\Delta\beta_{20} \approx 0,01$ вблизи квазипересечения. Интервал смешивания $\Delta\beta_{20}$ несколько увеличивается с ростом параметра гексадекапольной деформации β_{40} .

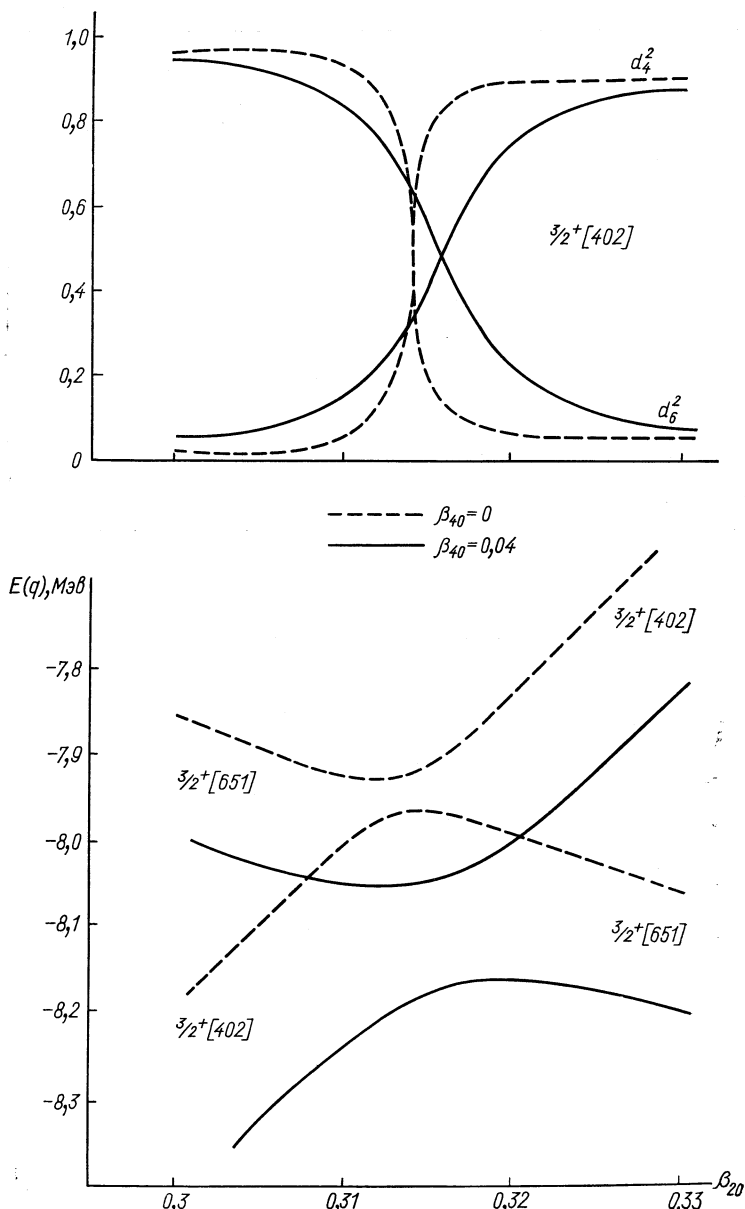


Рис. 9. Зависимость величины компонент d_4^2 и d_6^2 для состояния $402 \downarrow$ от β_{20} (верхняя часть рисунка) и положение одночастичных уровней $402 \downarrow$ и $651 \uparrow$ в районе их квазипересечения при $\beta_{40} = 0$ (пунктирные кривые) и $\beta_{40} = 0,04$ (сплошные кривые), нижняя часть рисунка.

Исследования решений уравнения Шредингера для потенциала Саксона — Вудса показали, что квазипересечения уровней с одинаковыми значениями K^π и величины смешивания компонент с $\Delta N = \pm 2$ сильно зависят от формы потенциала, от его параметров, а также от точности решения уравнения. Поэтому изучение квазипересечений позволит уточнить форму потенциала среднего поля и его параметры.

Рассмотрим влияние взаимодействия квазичастиц с фононами в нечетных деформированных ядрах на $\Delta N = \pm 2$ -смешивание. Волновую функцию (4.2) в случае одновременного описания двух одночастичных состояний ρ_1 и ρ_2 с одинаковыми значениями K^π запишем в следующем виде:

$$\Psi_i(K^\pi; \rho_1, \rho_2) = N_i(\rho_1, \rho_2) \frac{1}{\sqrt{2}} \sum_{\sigma} \left\{ C_{\rho_1}^i \alpha_{\rho_1 \sigma}^+ + C_{\rho_2}^i \alpha_{\rho_2 \sigma}^+ + \sum_{\lambda \mu j} \sum_q D_{\rho_1 \rho_2 q \sigma}^{\lambda \mu j i} \alpha_{q \sigma}^+ Q_j^+(\lambda \mu) \right\} \Psi. \quad (5.3)$$

Ввиду того что в интервале квазипересечения одночастичным состояниям нельзя приписать асимптотические квантовые числа $Nn_z \Lambda$, квантовые числа волновой функции верхнего уровня обозначим ρ_a , нижнего — ρ_b . Поэтому волновую функцию (5.3) перепишем в виде:

$$\Psi_i(K^\pi; \rho_1, \rho_2) = N_i(\rho_1, \rho_2) \frac{1}{\sqrt{2}} \sum_{\sigma} \left\{ C_{\rho_a}^i \alpha_{\rho_a \sigma}^+ + C_{\rho_b}^i \alpha_{\rho_b \sigma}^+ + \sum_{\lambda \mu j} \sum_q D_{\rho_1 \rho_2 q \sigma}^{\lambda \mu j i} \alpha_{q \sigma}^+ Q_j^+(\lambda \mu) \right\} \Psi. \quad (5.4)$$

Условие нормировки запишем так:

$$N_i^2(\rho_1, \rho_2) \left\{ (C_{\rho_a}^i)^2 + (C_{\rho_b}^i)^2 + \frac{1}{2} \sum_{\lambda \mu j} \sum_{q \sigma} (D_{\rho_1 \rho_2 q \sigma}^{\lambda \mu j i})^2 \right\} = 1. \quad (5.5)$$

Секулярное уравнение, определяющее значение энергий η_i основного и возбужденных состояний нечетного ядра, имеет вид (4.5).

Вклад в нормировку (5.5) одноквазичастичных компонент ρ_a и ρ_b равен:

$$\begin{aligned} \mathcal{L}_{ai}^2 &= (N_i(\rho_1, \rho_2) C_{\rho_a}^i)^2; \\ \mathcal{L}_{bi}^2 &= (N_i(\rho_1, \rho_2) C_{\rho_b}^i)^2. \end{aligned} \quad (5.6)$$

Согласно (5.1) волновая функция одночастичного состояния состоит из суммы членов с различными значениями N . Учтем это обстоятельство при определении вклада членов с различными значениями N в условие нормировки (5.5). Пользуясь выраже-

ниями (5.2) и (5.6), получим, что вклад членов с $N = 4$ и 6 в нормировку волновой функции (5.3) имеет следующий вид:

$$\begin{aligned} P_{4i}(\rho_1, \rho_2) &= \mathcal{L}_{ai}^2 d_4^2(\rho_a) + \mathcal{L}_{bi}^2 d_4^2(\rho_b); \\ P_{6i}(\rho_1, \rho_2) &= \mathcal{L}_{ai}^2 d_6^2(\rho_a) + \mathcal{L}_{bi}^2 d_6^2(\rho_b). \end{aligned} \quad (5.7)$$

Ввиду того что взаимодействия квазичастиц с фононами приводят к смешиванию одночастичных состояний, они могут быть причиной значительного перераспределения величин компонент N и $N \pm 2$ в нечетных ядрах по сравнению с одночастичной моделью.

С учетом взаимодействия квазичастиц с фононами рассчитаны энергии и волновые функции первых и вторых неротационных состояний в ряде деформированных ядер с нечетным числом нейтронов. Расчеты проведены со схемой $A = 155$ при $\beta_{40} = 0,04$ и β_{20} в интервале от $0,29$ до $0,34$. Результаты расчетов представлены в табл. 5.2 и 5.3; в них приведены для первых двух корней ($i = 1, 2$) энергии возбуждения и вклады одноквазичастичных компонент P_{4i} и P_{6i} .

Изучим влияние взаимодействия квазичастиц с фононами на смешивание компонент $N = 4$ и 6 . Для этого сравним табл. 5.1 при $\beta_{40} = 0,04$ с табл. 5.2 и дополним их данными при $\beta_{20} = 0,29$ и $0,34$. При деформации $\beta_{20} = 0,29$ $\Delta N = \pm 2$ -смешивание мало как в одночастичной модели, так и при учете взаимодействий квазичастиц с фононами. Исключение составляет ^{161}Dy , у которого при $\beta_{20} = 0,29$ $\eta_1(1/2^+) - \eta_F = 754$ кэв, $P_{41} = 0,19$, $P_{61} = 0,41$; $\eta_2(1/2^+) - \eta_F = 852$ кэв, $P_{42} = 0,45$, $P_{62} = 0,15$. При деформации $\beta_{20} = 0,30$ $\Delta N = \pm 2$ -смешивание мало в одночастичной модели, является несколько большим в исследуемых ядрах, и только в ^{161}Dy оно велико.

При $\beta_{20} = 0,31$ $\Delta N = \pm 2$ -смешивание является сильным в одночастичной модели и во всех рассчитанных ядрах. При $\beta_{20} = 0,32$ $\Delta N = \pm 2$ -смешивание в одночастичной модели и в ряде ядер невелико, хотя в ^{157}Gd , ^{159}Gd и ^{159}Dy оно значительно. При $\beta_{20} = 0,33$ это смешивание в одночастичной модели и в большинстве ядер мало, хотя, например, в ^{163}Dy оно остается значительным.

В тех ядрах, где квазипересечение происходит вблизи поверхности Ферми, наблюдается следующая особенность: для первого корня при $\beta_{20} = 0,30$ компонента P_{61} является превалирующей; при $\beta_{20} = 0,31$ величины P_{61} и P_{41} становятся близкими; при $\beta_{20} = 0,32$ величина P_{61} оказывается больше P_{41} ; при $\beta_{20} = 0,33$ компонента P_{61} является превалирующей; при $\beta_{20} = 0,34$ наибольшей оказывается компонента P_{41} , т. е. по мере роста β_{20} происходит смешивание компонент $N = 4$ и 6 , которое далее ослабляется, и только затем происходит обмен большими компонентами между двумя квазипересекающимися уровнями. Эта

особенность связана с изменением положения химического потенциала с ростом β_{20} . Она имеет место в ^{153}Sm , ^{155}Gd и ^{157}Dy . Так, при $\beta_{20} = 0,34$ имеем в ^{155}Gd $\eta_1(3/2^+) - \eta_F = 105$ кэв, $P_{41} = 0,62$, $P_{61} = 0,27$; $\eta_2(3/2^+) - \eta_F = 158$ кэв, $P_{42} = 0,34$, $P_{62} = 0,52$; в ^{157}Dy $\eta_1(3/2^+) - \eta_F = 95$ кэв, $P_{41} = 0,91$, $P_{61} = 0,03$; $\eta_2(3/2^+) - \eta_F = 208$ кэв, $P_{42} = 0,06$, $P_{62} = 0,74$.

При деформации $\beta_{20} = 0,34$ в одночастичной модели нет сильного $\Delta N = \pm 2$ -смешивания, а в некоторых рассчитанных ядрах это смешивание является заметным. Так, в ^{163}Dy $\eta_1(3/2^+) - \eta_F = 191$ кэв, $P_{41} = 0,67$, $P_{61} = 0,04$; $\eta_2(3/2^+) - \eta_F = 420$ кэв, $P_{42} = 0,08$, $P_{62} = 0,59$.

Таким образом, взаимодействия квазичастиц с фононами приводят к расширению интервала $\Delta N = \pm 2$ -смешивания относительно β_{20} . В случаях, когда малая компонента превосходит 1/10 часть от большой, интервал смешивания в одночастичной модели составляет $\Delta\beta_{20} = 0,01$. При учете взаимодействия квазичастиц с фононами он равен $\Delta\beta_{20} = 0,03$, а для отдельных ядер еще больше. Если бы интервал $\Delta\beta_{20}$ был весьма мал, как в расчетах, основанных на потенциале Нильссона без учета взаимодействия квазичастиц с фононами, то вероятность экспериментального наблюдения $\Delta N = \pm 2$ -смешивания была бы очень мала, так как маловероятно, что значение равновесной деформации ядра попадает именно в этот узкий интервал.

Взаимодействия квазичастиц с фононами приводят к усложнению структуры состояний с ростом энергии возбуждения, что ведет к уменьшению суммарного вклада двух одноквазичастичных компонент. Следует отметить, что при энергии возбуждения около 1 МэВ $\Delta N = \pm 2$ -смешивание еще является значительным.

Результаты расчетов относительных величин компонент с $N = 4$ и 6 удовлетворительно согласуются с экспериментальными при следующих значениях деформаций: для $K^\pi = 1/2^{+-}$ и $3/2^{+-}$ -состояний в ^{153}Sm при $\beta_{20} = 0,310$, в ^{155}Gd при $\beta_{20} = 0,305$; для $K^\pi = 1/2^{+-}$ -состояний в ^{159}Gd при $\beta_{20} = 0,305$, в ^{161}Dy при $\beta_{20} = 0,305$, в ^{163}Dy при $\beta_{20} = 0,300$; для $K^\pi = 3/2^{+-}$ -состояний в ^{157}Dy при $\beta_{20} = 0,315$, в ^{159}Dy при $\beta_{20} = 0,320$, в ^{161}Dy при $\beta_{20} = 0,315$, в ^{163}Dy при $\beta_{20} = 0,335$. Таким образом, правильное описание относительных значений компонент P_{4i} и P_{6i} имеет место при деформациях β_{20} , несколько больших равновесных деформаций соседних четно-четных ядер. При деформации $\beta_{20} = 0,30$ для $K^\pi = 3/2^{+-}$ -состояний в $^{159-163}\text{Dy}$ рассчитанные значения P_{41} и P_{61} для нижнего состояния хорошо описывают наблюдаемые компоненты верхнего состояния, и наоборот.

Рассчитанные значения энергий первых и вторых $K^\pi = 1/2^{+-}$ и $3/2^{+-}$ -состояний несколько меньше экспериментальных значений. В одних ядрах это различие невелико, в других, как в ^{157}Gd и ^{159}Dy , оно является заметным. Рассчитанные разности

Таблица 5.2

Смесь компонент с $N=4$ и $N=6$ вблизи точки квазипересечения
состояний $400\uparrow$ и $660\uparrow$ при $\beta_{40}=0,04$

Ядро	i	$\beta_{20} = 0,30$			$\beta_{20} = 0,31$			$\beta_{20} = 0,32$			$\beta_{20} = 0,33$		
		$\eta_i^{(1/2+)} - \eta_F, \frac{\kappa_{36}}{\kappa_{36}}$	$P_{4i}, \%$	$P_{6i}, \%$	$\eta_i^{(1/2+)} - \eta_F, \frac{\kappa_{36}}{\kappa_{36}}$	$P_{4i}, \%$	$P_{6i}, \%$	$\eta_i^{(1/2+)} - \eta_F, \frac{\kappa_{36}}{\kappa_{36}}$	$P_{4i}, \%$	$P_{6i}, \%$	$\eta_i^{(1/2+)} - \eta_F, \frac{\kappa_{36}}{\kappa_{36}}$	$P_{4i}, \%$	$P_{6i}, \%$
^{153}Sm	{ 1 2	54 736	9 73	67 325	58 42	38 34	35 338	45 74	10 6	61 6	98 432	7 84	62 3
^{155}Sm	{ 1 2	401 783	8 72	68 4	447 654	41 41	35 36	454 622	15 70	61 10	496 567	5 62	51 20
^{156}Gd	{ 1 2	120 342	8 67	64 4	114 259	37 41	37 33	132 280	10 73	60 6	163 257	7 80	62 3
^{157}Gd	{ 1 2	480 634	8 66	68 4	498 586	40 37	33 34	436 493	29 50	44 23	437 23	75 64	4 8
^{159}Gd	{ 1 2	713 894	7 63	62 4	737 866	40 33	30 34	715 796	41 32	28 36	670 806	68 80	4 60
^{161}Gd	{ 1 2	812 1052	5 54	38 3	817 922	32 23	18 28	725 878	56 6	4 37	690 844	60 4	2 42
^{157}Dy	{ 1 2	201 254	15 61	62 13	131 243	35 40	32 32	123 245	9 71	56 5	185 251	7 77	56 3
^{159}Dy	{ 1 2	469 516	7 59	65 5	448 520	38 33	30 32	495 540	45 28	25 39	490 530	71 6	2 61
^{161}Dy	{ 1 2	624 780	45 27	23 36	539 736	37 28	26 31	453 753	63 5	2 51	365 781	66 4	1 49
^{163}Dy	{ 1 2	783 1024	5 54	33 3	588 833	29 30	24 27	450 672	11 50	43 8	374 586	16 47	41 12

Таблица 5.3

Смеси компонент с $N=4$ и $N=6$ вблизи точки квазипересечения состояний $402\downarrow$ и $651\uparrow$ при $\beta_{40} = 0,04$

Идро	i	$\beta_{20} = 0,30$			$\beta_{20} = 0,31$			$\beta_{20} = 0,32$			$\beta_{20} = 0,33$		
		$\eta_i(3/2^+) - \eta_F, \kappa_{\theta\theta}$	$P_{4i}, \%$	$P_{6i}, \%$	$\eta_i(3/2^+) - \eta_F, \kappa_{\theta\theta}$	$P_{4i}, \%$	$P_{6i}, \%$	$\eta_i(3/2^+) - \eta_F, \kappa_{\theta\theta}$	$P_{4i}, \%$	$P_{6i}, \%$	$\eta_i(3/2^+) - \eta_F, \kappa_{\theta\theta}$	$P_{4i}, \%$	$P_{6i}, \%$
^{153}Sm	{ 1	46	6	64	6	22	62	10	35	48	46	15	65
	2	543	84	4	264	66	20	245	58	32	215	79	12
^{155}Sm	{ 1	227	7	77	211	23	60	213	40	44	260	39	45
	2	618	79	4	541	66	20	476	51	36	376	54	34
^{155}Gd	{ 1	31	8	79	0	24	60	0	35	47	8	16	64
	2	225	75	5	220	64	21	212	56	32	157	79	12
^{157}Gd	{ 1	265	9	75	205	26	53	212	43	38	241	60	23
	2	527	72	6	480	58	25	436	45	40	447	29	53
^{159}Gd	{ 1	471	7	67	415	24	50	317	41	33	468	58	28
	2	878	71	5	739	56	23	671	41	40	640	25	52
^{161}Gd	{ 1	772	8	66	638	27	44	521	47	15	438	66	7
	2	981	67	6	934	50	27	900	29	50	747	11	62
^{155}Dy	{ 1	98	11	78	75	29	53	51	40	40	85	23	54
	2	165	74	8	188	57	27	183	50	37	198	70	19
^{159}Dy	{ 1	235	9	65	240	28	46	240	42	33	243	64	17
	2	441	69	8	420	52	27	397	40	40	390	23	56
^{161}Dy	{ 1	556	27	51	491	42	33	422	56	18	343	74	3
	2	657	51	28	648	43	37	628	24	55	627	14	70
^{163}Dy	{ 1	753	10	65	543	22	43	322	31	34	232	24	40
	2	976	64	8	845	50	22	680	40	29	431	47	21

энергий между первыми и вторыми $K^\pi = 3/2^{+}$ или $1/2^{+}$ -состояниями достаточно хорошо (с точностью до 10—40 кэв) описывают соответствующие экспериментальные данные. Исключение представляют энергии расщепления в ^{153}Sm .

Проведенные исследования позволяют делать следующие выводы относительно смешивания состояний $400\downarrow$, $660\uparrow$ и $402\uparrow$, $651\downarrow$ в изотопах самария, гадолиния и диспрозия с нечетным числом нейтронов:

а) компоненты с $N = 4$ и 6 волновых функций потенциала Саксона — Вудса сильно смешаны в интервале $\Delta\beta_{20} = 0,01$ около квазипересечения уровней, причем он существенно больше интервала смешивания волновых функций потенциала Нильссона;

б) интервал смешивания $\Delta\beta_{20}$ несколько возрастает с увеличением параметра гексадекапольной деформации β_{40} ;

в) изучение поведения одночастичных уровней вблизи их квазипересечения позволяет уточнить форму и параметры потенциала среднего поля;

г) взаимодействия квазичастиц с фононами приводят к расширению интервала $\Delta N = \pm 2$ -смешивания до $\Delta\beta_{20} = 0,03$. Это обстоятельство дает возможность наблюдать на опыте $\Delta N = \pm 2$ -смешивание;

д) взаимодействия квазичастиц с фононами приводят к изменению величин компонент с $N = 4$ и 6 по сравнению с одночастичной моделью, причем в ряде ядер это изменение является существенным.

6. НЕРОТАЦИОННЫЕ СОСТОЯНИЯ НЕЧЕТНЫХ АДЕФОРМИРОВАННЫХ ЯДЕР

Поведение близких к одноквазичастичным неротационным состояниям нечетных деформированных ядер является прямым отражением поведения энергий одночастичных состояний. Нельзя сравнивать непосредственно одночастичные энергии с экспериментальными данными, так как на энергии низколежащих состояний оказывают существенное влияние парные корреляции сверхпроводящего типа и взаимодействия квазичастиц с фононами. Взаимодействия квазичастиц с фононами приводят к фрагментации одночастичных состояний по многим ядерным уровням. Процесс фрагментации усиливается с ростом энергии возбуждения. Основные состояния являются близкими к одноквазичастичным, при энергии возбуждения 0,5 Мэв начинает проявляться процесс фрагментации. При больших энергиях возбуждения фрагментация отдельных одночастичных состояний является значительной. Для выяснения того, насколько хорошими являются представленные здесь схемы одночастичных уровней, необходимо провести сравнение энергий и структуры неротационных состояний, рассчи-

танных с учетом взаимодействий квазичастиц с фононами, с соответствующими экспериментальными данными. Выполнению этой задачи посвящен настоящий раздел.

Результаты расчетов и соответствующие экспериментальные данные, заимствованные из обзоров [27, 36] и оригинальных работ [37], представлены в виде табл. 6.1—6.57. В первой графе таблицы даны величины K^π , далее экспериментальные и рассчитанные значения энергий оснований ротационных полос и в последней графе — структура состояний, вычисленная из условия нормировки волновых функций. Например, в табл. 6.2 даны неротационные состояния ^{155}Sm . Основное состояние ^{155}Sm имеет $K^\pi = -3/2^-$ и структуру: одноквазичастичная компонента $521\uparrow$ — 93%; компонента квазичастицы $521\downarrow$ плюс первый корень γ -вибрационного фонона $Q_1(22)$ — 2%, остальные компоненты составляют менее одного процента. Фононы обозначены $Q_j(\lambda\mu)$, где j — номер корня уравнения (1.20). В отдельных состояниях дают вклад две одноквазичастичные компоненты; если величина наименьшей компоненты более 1%, то она записывается в таблице. Например, в табл. 6.2 состояние $K^\pi = 5/2^-$ с энергией 338 кэВ, согласно расчетам, имеет энергию 310 кэВ и структуру: одноквазичастичная компонента $523\downarrow$ — 90%; одноквазичастичная компонента $512\uparrow$ — 2%; $521\downarrow + Q_1(22)$ — 3% и $642\uparrow + Q_1(30)$ — 2%. В таблицах приведены все одноквазичастичные компоненты, если они больше 1%; кроме того, даны все неротационные состояния до энергий возбуждения 1,3—1,5 МэВ и ряд более высоких состояний. В некоторых таблицах записаны трехквазичастичные состояния с большими значениями K^π . Анализ трехквазичастичных состояний в нечетных деформированных ядрах выполнен в работе [38].

Как уже было отмечено выше, ядра в области $150 < A < 190$ разделены на четыре зоны. В каждой зоне вычисления проводились при определенных значениях β_{20} и β_{40} . Исключения составляют состояния, у которых $\beta_{20}^e \neq \beta_{20}^o$ и $\beta_{40}^e \neq \beta_{40}^o$. Этот эффект учтывался для состояний $n505\uparrow$, $n503\uparrow$, $p541\downarrow$, $p404\downarrow$ и $p402\uparrow$.

Ядра распределены по зонам следующим образом:

1) зона $A = 155$, $\beta_{20}^o = 0,29$, $\beta_{40}^o = 0,06$ — изотопы самария, гадолиния, европия и тербия, а также ^{159}Dy , ^{161}Dy , ^{159}Ho и ^{161}Ho ;

2) зона $A = 165$, $\beta_{20}^o = 0,28$, $\beta_{40}^o = 0,02$ — остальные изотопы диспрозия и голмия, изотопы тулия, а также ^{163}Er , ^{165}Er , ^{137}Er , ^{169}Er и ^{167}Yb ;

3) зона $A = 173$, $\beta_{20}^o = 0,26$, $\beta_{40}^o = -0,02$ — ^{139}Yb , ^{171}Yb , ^{173}Yb , ^{175}Yb , ^{173}Hf , ^{175}Hf , ^{169}Lu , ^{171}Lu , ^{173}Lu , ^{175}Lu и ^{177}Ta ;

4) зона $A = 181$, $\beta_{20}^o = 0,26$, $\beta_{40}^o = -0,03$ — ^{177}Yb , ^{177}Hf , ^{179}Hf , ^{177}Lu , ^{179}Ta и ^{181}Ta ; $\beta_{20}^o = 0,24$, $\beta_{40}^o = -0,03$ — ^{181}Hf , ^{179}W , ^{181}W , ^{183}W и ^{181}Re ; $\beta_{20}^o = 0,21$, $\beta_{40}^o = -0,03$ — ^{185}W , ^{183}Os , ^{185}Os , ^{183}Re и ^{185}Re .

Таблица 6.1

Ядро ^{153}Sm

$K\pi$	Энергия, кэв		Структура
	эксперимент	теория	
3/2 ⁺	0	0	654 \uparrow 62%; 402 \downarrow 22%; 660 $\uparrow + Q_1(22)$ 2%
3/2 ⁻	35,8	57	521 \uparrow 88%; 521 $\downarrow + Q_1(22)$ 5%; 633 $\uparrow + Q_1(32)$ 3%
1/2 ⁺	—	60	660 \uparrow 40%; 400 \uparrow 40%; 550 $\uparrow + Q_1(30)$ 2%
3/2 ⁺	320	260	402 \downarrow 66%; 651 \uparrow 20%; 400 $\uparrow + Q_1(22)$ 10%; 404 $\downarrow + Q_1(22)$ 3%
5/2 ⁺	195	290	642 \uparrow 92%; 521 $\uparrow + Q_1(31)$ 2%
1/2 ⁺	412	330	400 \uparrow 42%; 660 \uparrow 34%; 402 $\downarrow + Q_1(22)$ 20%; 402 $\uparrow + Q_1(22)$ 3%
11/2 ⁻	94	100	505 \uparrow 97%;
3/2 ⁻	127	540	532 \downarrow 80%; 521 \uparrow 3%; 530 $\uparrow + Q_1(22)$ 7%; 660 $\uparrow + Q_1(32)$ 2%
1/2 ⁻	—	560	530 \uparrow 72%; 521 \downarrow 3%; 532 $\downarrow + Q_1(22)$ 10%; 660 $\uparrow + Q_1(30)$ 5%
5/2 ⁻	322	570	523 \downarrow 89%; 521 $\downarrow + Q_1(22)$ 6%; 642 $\uparrow + Q_1(30)$ 3%
1/2 ⁻	698	780	521 \downarrow 52%; 530 \uparrow 4%; 521 $\uparrow + Q_1(22)$ 25%; 523 $\downarrow + Q_1(22)$ 12%
7/2 ⁺	—	1040	633 \uparrow 64%; 651 $\uparrow + Q_1(22)$ 18%; 521 $\uparrow + Q_1(32)$ 18%
5/2 ⁺	—	1250	402 \uparrow 31%
1/2 ⁺	—	1280	660 $\uparrow + Q_1(20)$ 100%
3/2 ⁻	—	1300	521 $\uparrow + Q_1(20)$ 99%
5/2 ⁻	—	1350	512 \uparrow 54%; 642 $\uparrow + Q_1(30)$ 21%; 523 $\downarrow + Q_1(20)$ 10%
7/2 ⁺	—	1390	404 \downarrow 18%; 402 $\downarrow + Q_1(22)$ 78%; 651 $\uparrow + Q_1(22)$ 3%
11/2 ⁺	—	1440	615 \uparrow 2%; 505 $\uparrow + Q_1(30)$ 97%
7/2 ⁻	—	1540	503 \uparrow 4%; 505 $\uparrow + Q_1(22)$ 94%
1/2 ⁻	—	1560	660 $\uparrow + Q_1(30)$ 95%

Таблица 6.2

Ядро ^{155}Sm

$K\pi$	Энергия, кэв		Структура
	эксперимент	теория	
3/2 ⁻	0	0	521 \uparrow 93%; 521 $\downarrow + Q_1(22)$ 2%
5/2 ⁺	25	90	642 \uparrow 94%; 523 $\downarrow + Q_1(30)$ 1%
3/2 ⁺	—	230	651 \uparrow 77%; 402 \downarrow 7%; 660 $\uparrow + Q_1(22)$ 2%
5/2 ⁻	338	310	523 \downarrow 90%; 512 \uparrow 2%; 521 $\downarrow + Q_1(22)$ 3%; 642 $\uparrow + Q_1(30)$ 2%
1/2 ⁺	—	400	660 \uparrow 68%; 400 \uparrow 8%; 651 $\uparrow + Q_1(22)$ 4%; 550 $\uparrow + Q_1(30)$ 2%
3/2 ⁺	—	620	402 \downarrow 79%; 651 \uparrow 4%; 400 $\uparrow + Q_1(22)$ 13%; 404 $\downarrow + Q_1(22)$ 3%
1/2 ⁺	—	780	400 \uparrow 72%; 660 \uparrow 4%; 402 $\downarrow + Q_1(22)$ 19%; 402 $\uparrow + Q_1(22)$ 4%
11/2 ⁻	—	460	505 \uparrow 98%
1/2 ⁻	824	810	521 \downarrow 66%; 530 \uparrow 5%; 521 $\uparrow + Q_1(22)$ 15%; 523 $\downarrow + Q_1(22)$ 10%
7/2 ⁺	—	980	633 \uparrow 81%; 521 $\uparrow + Q_1(32)$ 12%; 651 $\uparrow + Q_1(22)$ 2%
3/2 ⁻	—	990	532 \downarrow 75%; 651 $\uparrow + Q_1(30)$ 13%; 530 $\uparrow + Q_1(22)$ 4%
1/2 ⁻	—	1000	530 \uparrow 65%; 521 \downarrow 5,5%; 660 $\uparrow + Q_1(30)$ 11%; 532 $\downarrow + Q_1(22)$ 5%
5/2 ⁻	—	1220	512 \uparrow 45%; 523 \downarrow 5%; 642 $\uparrow + Q_1(30)$ 42%; 510 $\uparrow + Q_1(22)$ 2%
5/2 ⁺	—	1500	523 $\downarrow + Q_1(30)$ 98%
11/2 ⁺	—	1560	615 \uparrow 2%; 505 $\uparrow + Q_1(30)$ 98%

Таблица 6.3
Ядро ^{155}Gd

K^π	Энергия, кэВ		Структура			
	эксперимент	теория				
3/2-	0	0	521 \uparrow 89%;	521 $\downarrow +Q_1(22)$	6%;	633 $\uparrow +Q_1(32)$ 2%
3/2+	105	30	651 \uparrow 79%; 402 \downarrow 8%; 660 $\uparrow +Q_1(22)$		2%	
11/2-	121	40	505 \uparrow 98%			
1/2+	120	660 \uparrow 64%; 400 \uparrow 8%; 651 $\uparrow +Q_1(22)$		6%;	550 $\uparrow +Q_1(30)$ 5%	
3/2+	269	225	402 \downarrow 75%; 651 \uparrow 5%; 400 $\uparrow +Q_1(22)$	10%	404 $\downarrow +Q_1(22)$ 3%	
5/2+	85	250	642 \uparrow 94%;	523 $\downarrow +Q_1(30)$	1%	
1/2+	368	342	400 \uparrow 67%; 660 \uparrow 4%; 402 $\downarrow +Q_1(22)$	15%	402 $\uparrow +Q_1(22)$ 4%	
5/2-	321	450	523 \downarrow 89%;	521 $\downarrow +Q_1(22)$	7%	
1/2-	560	620	521 \downarrow 52%;	521 $\uparrow +Q_1(22)$	34%	523 $\downarrow +Q_1(22)$ 14%
3/2-		640	532 \downarrow 84%	530 $\uparrow +Q_1(22)$	10%	
1/2+	423	730	530 \uparrow 76%	532 $\downarrow +Q_1(22)$	15%	660 $\uparrow +Q_1(30)$ 3%
7/2+		1000	633 \uparrow 50%;	651 $\uparrow +Q_1(22)$	38%	521 $\uparrow +Q_1(32)$ 10%
5/2+		1050	402 \uparrow 29%;	400 $\uparrow +Q_1(22)$	66%	660 $\uparrow +Q_1(22)$ 2%
1/2+		1130		660 $\uparrow +Q_1(20)$ 100%;		
3/2-		1170		521 $\uparrow +Q_1(20)$ 100%		
7/2+	1297	1180	404 \downarrow 18%	402 $\downarrow +Q_1(22)$	79%	
3/2+		1280		402 $\downarrow +Q_1(20)$ 100%		
5/2-		1300	512 \uparrow 47%;	523 $\downarrow +Q_1(20)$	33%	642 $\uparrow +Q_1(30)$ 9%
5/2+		1310		642 $\uparrow +Q_1(20)$ 100%;		
1/2+		1320		651 $\uparrow +Q_1(22)$ 100 %		
7/2-		1325	504 \downarrow 4%	505 $\uparrow +Q_1(22)$	94%	
7/2+		1490	633 \uparrow 24%	511 $\uparrow +Q_1(22)$	61%	521 $\uparrow +Q_1(32)$ 13%
1/2-		1500		530 $\uparrow +Q_1(20)$ 100%		

Таблица 6.4
Ядро ^{157}Gd

K^π	Энергия, кэВ		Структура			
	эксперимент	теория				
3/2-	0	0	521 \uparrow 92%	521 $\downarrow +Q_1(22)$	4%	
5/2+	64	140	642 \uparrow 95%			
3/2+	—	270	651 \uparrow 75%; 402 \downarrow 9%; 660 $\uparrow +Q_1(22)$		4%	
5/2-	435	270	523 \downarrow 88%; 512 \uparrow 1,6%; 521 $\downarrow +Q_1(22)$		6%	
3/2+	475	530	402 \downarrow 72%; 651 \uparrow 6%; 400 $\uparrow +Q_1(22)$	10%	404 $\downarrow +Q_1(22)$ 4%	
1/2+	684	630	400 \uparrow 66%; 660 \uparrow 4%; 402 $\downarrow +Q_1(22)$	20%	402 $\uparrow +Q_1(22)$ 6%	
1/2+	—	480	660 \uparrow 68%; 400 \uparrow 8%; 651 $\uparrow +Q_1(22)$	9%	550 $\uparrow +Q_1(30)$ 1%	
1/2-	704	570	521 \downarrow 60%; 530 \uparrow 2,3%; 521 $\uparrow +Q_1(22)$	21%	523 $\downarrow +Q_1(22)$ 14%	
1/2-	—	720	530 \uparrow 63%; 521 \downarrow 2,4%; 532 $\downarrow +Q_1(22)$	13%	651 $\uparrow +Q_1(31)$ 6%	
11/2-	426	490	505 \uparrow 98%			
3/2-	700	1020	532 \downarrow 81%;	530 $\uparrow +Q_1(22)$	9%	651 $\uparrow +Q_1(30)$ 6%
7/2+	—	1030	633 \uparrow 79%;	521 $\uparrow +Q_1(32)$	10%	651 $\uparrow +Q_1(22)$ 6%
5/2-	—	1250	512 \uparrow 65%; 523 \downarrow 1,7%; 523 $\downarrow +Q_1(20)$	13%	642 $\uparrow +Q_1(30)$ 7%	
3/2-	—	1450		521 $\uparrow +Q_1(20)$ 100%		
5/2+	—	1500	402 \uparrow 28%;	400 $\uparrow +Q_1(22)$	56%	521 $\uparrow +Q_1(31)$ 10%
7/2-	—	1520	523 \uparrow 2%;	521 $\uparrow +Q_1(22)$	97%	
9/2+	—	1550	624 \uparrow 9%;	642 $\uparrow +Q_1(22)$	90%	
7/2+	1825	1590	404 \downarrow 14%;	402 $\downarrow +Q_1(22)$	52%	651 $\uparrow +Q_1(22)$ 32%
7/2+	—	1660	404 \downarrow 5%;	651 $\uparrow +Q_1(22)$	68%	402 $\downarrow +Q_1(22)$ 26%

Таблица 6.5

Ядро ^{159}Gd

K^π	Энергия, кэв		Структура
	эксперимент	теория	
3/2-	0	0	521 \uparrow 93%; 521 $\downarrow +Q_1(22)$ 3%
5/2+	68	-70	642 \uparrow 95%; 660 $\uparrow +Q_1(22)$ 1%
5/2-	146	40	523 \downarrow 92%; 512 \uparrow 1,4%; 521 $\downarrow +Q_1(22)$ 4%
3/2-	-	470	651 \uparrow 67%; 402 \downarrow 7%; 660 $\uparrow +Q_1(22)$ 6%; 521 $\uparrow +Q_1(20)$ 3%
1/2+	780	710	660 \uparrow 62%; 400 \uparrow 7%; 651 $\uparrow +Q_1(22)$ 12%; 642 $\uparrow +Q_1(22)$ 6%
1/2-	506	490	521 \downarrow 74%; 523 $\downarrow +Q_1(22)$ 14%; 521 $\uparrow +Q_1(22)$ 10%
3/2+	743	870	402 \downarrow 71%; 651 \uparrow 5%; 400 $\uparrow +Q_1(22)$ 21%; 404 $\downarrow +Q_1(22)$ 4%
1/2+	973	890	400 \uparrow 63%; 660 \uparrow 4%; 402 $\downarrow +Q_1(22)$ 28%; 402 $\uparrow +Q_1(22)$ 5%
7/2+	-	740	633 \uparrow 92%; 521 $\uparrow +Q_1(32)$ 4%
5/2-	875	920	512 \uparrow 73%; 523 \downarrow 2,4%; 642 $\uparrow +Q_1(30)$ 9%; 510 $\uparrow +Q_1(22)$ 6%
11/2-	681	820	505 \uparrow 99%
1/2-	-	1150	530 \uparrow 58%; 660 $\uparrow +Q_1(30)$ 12%; 532 $\downarrow +Q_1(22)$ 10%
3/2-	1109	1200	532 \downarrow 60%; 651 $\uparrow +Q_1(30)$ 27%; 530 $\uparrow +Q_1(22)$ 6%
5/2+	-	1330	523 $\downarrow +Q_1(30)$ 98%
9/2+	-	1340	624 \uparrow 9%; 642 $\uparrow +Q_1(22)$ 89%
1/2-	-	1410	510 \uparrow 2%; 521 $\uparrow +Q_1(22)$ 75%; 523 $\downarrow +Q_1(22)$ 10%
7/2-	-	1420	521 $\uparrow +Q_1(22)$ 100%
3/2-	-	1430	521 $\uparrow +Q_1(20)$ 95%
1/2-	-	1440	510 \uparrow 7%; 523 $\downarrow +Q_1(22)$ 61%; 521 $\uparrow +Q_1(22)$ 15%
9/2-	-	1470	523 $\downarrow +Q_1(22)$ 100%
7/2+	-	1570	404 \downarrow 4%; 523 $\downarrow +Q_1(31)$ 97%
1/2+	1602	1640	510 \uparrow 35%; 512 $\uparrow +Q_1(22)$ 34%; 523 $\downarrow +Q_1(22)$ 10%
11/2+	-	1820	615 \uparrow 2%; 505 $\uparrow +Q_1(30)$ 97%
7/2+	-	1840	404 \downarrow 2%; 651 $\uparrow +Q_1(22)$ 91%; 402 $\downarrow +Q_1(22)$ 6%
7/2+	1960	1850	404 \downarrow 15%; 402 $\downarrow +Q_1(22)$ 74%; 651 $\uparrow +Q_1(22)$ 9%

Таблица 6.6

Ядро ^{161}Gd

K^π	Энергия, кэв		Структура
	эксперимент	теория	
5/2-	0	0	523 \downarrow 94%; 512 \uparrow 1,4%; 521 $\downarrow +Q_1(22)$ 3%
5/2+	-	90	642 \uparrow 95%; 660 $\uparrow +Q_1(22)$ 3%
1/2-	356	290	521 \downarrow 89%
3/2-	313	300	521 \uparrow 96%
7/2+	-	420	633 \uparrow 98%
3/2+	-	770	651 \uparrow 66%; 402 \downarrow 8%; 660 $\uparrow +Q_1(22)$ 12%
5/2-	809	610	512 \uparrow 84%; 523 \downarrow 2,5%; 510 $\uparrow +Q_1(22)$ 8%; 521 $\downarrow +Q_1(22)$ 2%
1/2+	-	810	660 \uparrow 38%; 400 \uparrow 5%; 642 $\uparrow +Q_1(22)$ 29%; 651 $\uparrow +Q_1(22)$ 12%
3/2+	-	980	402 \downarrow 67%; 651 \uparrow 6%; 400 $\uparrow +Q_1(22)$ 25%; 404 $\downarrow +Q_1(22)$ 3%
1/2+	-	1050	400 \uparrow 54%; 660 \uparrow 3%; 402 $\downarrow +Q_1(22)$ 33%; 402 $\uparrow +Q_1(22)$ 5%

Продолжение табл. 6.6

K^π	Энергия, кэв		Структура
	эксперимент	теория	
1/2-	—	1060	510 \uparrow 7%; 523 $\downarrow + Q_1(22)$ 85%; 512 $\uparrow + Q_1(22)$ 7%
9/2-	—	1070	523 $\downarrow + Q_1(22)$ 100%
9/2+	—	1090	624 \uparrow 6%; 642 $\uparrow + Q_1(22)$ 93%
1/2+	1309	1220	512 $\uparrow + Q_1(22)$ 38%; 521 $\uparrow + Q_1(22)$ 16%
7/2-	—	1240	521 $\uparrow + Q_1(22)$ 100%
3/2-	—	1450	512 \downarrow 3%; 521 $\downarrow + Q_1(22)$ 52%; 521 $\uparrow + Q_1(20)$ 44%
11/2-	—	1140	505 \uparrow 99%
11/2+	—	1530	615 \uparrow 1%; 633 $\uparrow + Q_1(22)$ 99%

Таблица 6.7
Ядро ^{159}Dy

K^π	Энергия, кэв		Структура
	эксперимент	теория	
3/2-	0	0	521 \uparrow 91%; 521 $\downarrow + Q_1(22)$ 5%
5/2+	178	197	642 \uparrow 97%
3/2+	549	240	651 \uparrow 65%; 660 $\uparrow + Q_1(22)$ 7%
5/2-	310	290	523 \downarrow 91%; 521 $\downarrow + Q_1(22)$ 7%
3/2+	418	440	402 \downarrow 69%; 400 $\uparrow + Q_1(22)$ 20%; 404 $\downarrow + Q_1(22)$ 1%; 651 \uparrow 8%
1/2+	560	520	400 \uparrow 59%; 402 $\downarrow + Q_1(22)$ 29%; 402 $\uparrow + Q_1(22)$ 6%; 660 \uparrow 5%
1/2+	—	500	660 \uparrow 65%; 651 $\uparrow + Q_1(22)$ 16%; 400 $\uparrow + Q_1(20)$ 1%; 400 \uparrow 7%
1/2-	534	530	521 \downarrow 55%; 521 $\uparrow + Q_1(22)$ 27%; 523 $\downarrow + Q_1(22)$ 17%
11/2-	352	470	505 \uparrow 99%
7/2+	—	1000	633 \uparrow 64%; 521 $\uparrow + Q_1(32)$ 21%; 651 $\uparrow + Q_1(22)$ 13%
3/2-	627	1040	532 \downarrow 80%; 530 $\uparrow + Q_1(22)$ 13%; 660 $\uparrow + Q_1(32)$ 3%
1/2-	—	1100	530 \uparrow 66%; 532 $\downarrow + Q_1(22)$ 20%; 651 $\uparrow + Q_1(32)$ 4%
5/2-	—	1200	512 \uparrow 64%; 523 $\downarrow + Q_1(20)$ 22%; 510 $\uparrow + Q_1(22)$ 7%
7/2-	—	1270	523 \uparrow 2%; 521 $\uparrow + Q_1(22)$ 97%
1/2-	—	1315	521 $\uparrow + Q_1(22)$ 100%
9/2+	—	1320	624 \uparrow 5%; 642 $\uparrow + Q_1(22)$ 94%
5/2+	—	1340	402 \uparrow 26%; 400 $\uparrow + Q_1(22)$ 68%; 660 $\uparrow + Q_1(22)$ 4%
3/2-	—	1350	521 $\uparrow + Q_1(20)$ 100%
7/2+	—	1360	404 \downarrow 7%; 651 $\uparrow + Q_1(22)$ 63%; 402 $\downarrow + Q_1(22)$ 29%
1/2-	—	1500	510 \uparrow 3%; 523 $\downarrow + Q_1(22)$ 93%; 512 $\uparrow + Q_1(22)$ 2%
9/2-	—	1520	523 $\downarrow + Q_1(22)$ 99%

Таблица 6.8

Ядро ^{161}Dy

K^π	Энергия, кэВ		Структура		
	эксперимент	теория			
5/2 ⁺	0	0	642 \uparrow 96%,	660 $\uparrow + Q_1(22)$	2%
3/2 ⁻	75	20	521 \uparrow 94%,	521 $\downarrow + Q_1(22)$	3%
5/2 ⁻	27	28	523 \downarrow 93%,	521 $\downarrow + Q_1(22)$	5%
3/2 ⁺	679	560	651 \uparrow 51%, 402 \downarrow 27%, 660 $\uparrow + Q_1(22)$	10%	
1/2 ⁺	370	400	521 \downarrow 66%,	523 $\downarrow + Q_1(22)$	19%, 521 $\uparrow + Q_1(22)$ 14%
1/2 ⁺	608	780	660 \uparrow 36%, 400 \uparrow 27%, 651 $\uparrow + Q_1(22)$	20%, 642 $\uparrow + Q_1(22)$ 14%	
3/2 ⁺	551	660	402 \downarrow 51%, 651 \uparrow 28%, 400 $\uparrow + Q_1(22)$	14%, 404 $\downarrow + Q_1(22)$ 3%	
1/2 ⁺	774	620	400 \uparrow 45%, 660 \uparrow 23%, 402 $\downarrow + Q_1(22)$	30%, 402 $\uparrow + Q_1(22)$ 2%	
7/2 ⁺	—	760	633 \uparrow 91%,	521 $\uparrow + Q_1(32)$	5%
5/2 ⁻	—	950	512 \uparrow 80%, 523 \downarrow 2%, 510 $\uparrow + Q_1(22)$	9%, 521 $\downarrow + Q_1(22)$	3%
11/2 ⁻	486	760	505 \uparrow 99%,		
9/2 ⁺	—	1120	624 \uparrow 5%,	642 $\uparrow + Q_1(22)$	94%
1/2 ⁻	—	1130	530 \uparrow 4%,	521 $\uparrow + Q_1(22)$	92%
7/2 ⁻	—	1180		521 $\uparrow + Q_1(22)$	99%
1/2 ⁻	—	1214	510 \uparrow 3%,	523 $\downarrow + Q_1(22)$	93%, 512 $\uparrow + Q_1(22)$ 2%
9/2 ⁻	—	1230		523 $\downarrow + Q_1(22)$	100%
3/2 ⁻	—	1300	532 \downarrow 75%,	530 $\uparrow + Q_1(22)$	14%, 642 $\uparrow + Q_1(31)$ 3%
5/2 ⁺	—	1450	402 \uparrow 7%,	521 $\uparrow + Q_1(31)$	79%, 400 $\uparrow + Q_1(22)$ 12%
1/2 ⁻	—	1460	510 \uparrow 5%,	642 $\uparrow + Q_1(32)$	86%, 512 $\uparrow + Q_1(22)$ 6%
3/2 ⁻	—	1470	512 \downarrow 0.4%,	521 $\uparrow + Q_1(20)$	99%
7/2 ⁺	—	1480		521 $\uparrow + Q_1(32)$	100%
7/2 ⁺	1416	1490	404 \downarrow 2.4%, 651 $\uparrow + Q_1(22)$	82%, 523 $\downarrow + Q_1(31)$	8%
3/2 ⁻	—	1500		642 $\uparrow + Q_1(31)$	100%
3/2 ⁻	1977	1840	512 \downarrow 4%, 521 $\downarrow + Q_1(22)$	93%	

Таблица 6.9

Ядро ^{163}Dy

K^π	Энергия, кэВ		Структура		
	эксперимент	теория			
5/2 ⁻	0	0	523 \downarrow 96%		
5/2 ⁺	251	50	642 \uparrow 95%		
7/2 ⁺	180	633 \uparrow 98%			
1/2 ⁻	351	270	521 \downarrow 88%,	523 $\downarrow + Q_1(22)$	10%
3/2 ⁻	422	280	521 \uparrow 95%		
5/2 ⁻	719	350	512 \uparrow 90%,	510 $\uparrow + Q_1(22)$	6%
3/2 ⁺	750	651 \uparrow 65%, 402 \downarrow 10%, 660 $\uparrow + Q_1(22)$	12%		
1/2 ⁺	738	780	660 \uparrow 33%, 400 \uparrow 5%, 642 $\uparrow + Q_1(22)$	20%, 651 $\uparrow + Q_1(22)$	17%
1/2 ⁻	1159	810	510 \uparrow 36%,	512 $\uparrow + Q_1(22)$	46%, 523 $\downarrow + Q_1(22)$ 11%
9/2 ⁺	900	624 \uparrow 31%,		642 $\uparrow + Q_1(22)$	63%, 512 $\uparrow + Q_1(32)$ 3%

Продолжение табл. 6.9

$K\pi$	Энергия, кэВ		Структура
	эксперимент	теория	
11/2-	495	910	505 \uparrow 98%
3/2+	859	980	402 \downarrow 64%, 651 \uparrow 8%, 400 $\uparrow + Q_1(22)$ 20%
9/2-		990	523 $\downarrow + Q_1(22)$ 100%
1/2+		1020	400 \uparrow 54%, 660 \uparrow 3%, 402 $\downarrow + Q_1(22)$ 30%
1/2-		1020	510 \uparrow 3% 523 $\downarrow + Q_1(22)$ 89%, 512 $\uparrow + Q_1(22)$ 7%
1/2-		1140	530 \uparrow 15%, 521 $\uparrow + Q_1(22)$ 51%, 642 $\uparrow + Q_1(32)$ 28%
7/2-		1160	521 $\uparrow + Q_1(22)$ 100%
9/2+		1200	523 $\downarrow + Q_1(32)$ 42%, \downarrow 642 $\uparrow + Q_1(22)$ 26%
11/2+		1220	615 \uparrow 2%, 633 $\uparrow + Q_1(22)$ 98%
5/2-		1240	523 $\downarrow + Q_1(20)$ 100%
7/2-	1448	1270	514 \downarrow 78%, 633 $\uparrow + Q_1(30)$ 11%, 512 $\downarrow + Q_1(22)$ 8%
3/2-		1275	532 \downarrow 58%, 521 $\uparrow + Q_1(20)$ 13%, 530 $\uparrow + Q_1(22)$ 11%
9/2-		1280	642 $\uparrow + Q_1(32)$ 100%
3/2-	1795	1300	512 \downarrow 16%, 521 $\downarrow + Q_1(22)$ 67%, 514 $\downarrow + Q_1(22)$ 7%
3/2-		1400	521 $\uparrow + Q_1(20)$ 87%, 521 $\downarrow + Q_1(22)$ 10%
5/2-		1410	521 $\downarrow + Q_1(22)$ 50%, 642 $\uparrow + Q_1(30)$ 49%
7/2+		1420	521 $\uparrow + Q_1(32)$ 100%
1/2+		1420	521 $\uparrow + Q_1(32)$ 100%

Таблица 6.10

Ядро ^{165}Dy

$K\pi$	Энергия, кэВ		Структура
	эксперимент	теория	
7/2+	0	0	633 \uparrow 96%
5/2-	184	50	512 \uparrow 84%, 510 $\uparrow + Q_1(22)$ 8%, 624 $\uparrow + Q_1(32)$ 4%
1/2-	108	130	521 \downarrow 97%
5/2+		330	642 \uparrow 89%, 660 $\uparrow + Q_1(22)$ 7%
5/2-	534	400	523 \downarrow 97%
1/2-	570	520	510 \uparrow 38%, 512 $\uparrow + Q_1(22)$ 54%, 512 $\downarrow + Q_1(22)$ 5%
1/2+		600	660 \uparrow 49%, 642 $\uparrow + Q_1(22)$ 33%, 651 $\uparrow + Q_1(22)$ 14%
3/2-	574	630	521 \uparrow 82%, 521 $\downarrow + Q_1(22)$ 8%, 633 $\uparrow + Q_1(32)$ 4%
3/2+		670	651 \uparrow 66%, 633 $\uparrow + Q_1(22)$ 16%, 660 $\uparrow + Q_1(22)$ 13%
9/2+		710	624 \uparrow 73%, 512 $\uparrow + Q_1(32)$ 21%, 642 $\uparrow + Q_1(22)$ 3%
11/2+		970	615 \uparrow 2%, 633 $\uparrow + Q_1(22)$ 98%
3/2-	1258	1000	512 \downarrow 19%, 521 $\downarrow + Q_1(22)$ 62%, 514 $\downarrow + Q_1(22)$ 10%
7/2-		1010	514 \downarrow 87%, 512 $\downarrow + Q_1(22)$ 10%
1/2-		1050	523 $\downarrow + Q_1(22)$ 100%
9/2-		1050	523 $\downarrow + Q_1(22)$ 100%
3/2-		1070	521 $\downarrow + Q_1(22)$ 92%
5/2-		1070	521 $\downarrow + Q_1(22)$ 100%

П р о д о л ж е н и е т а б л. 6.10

K^π	Энергия, кэв		Структура
	эксперимент	теория	
1/2+	1120	400 \uparrow 46%, 402 $\downarrow + Q_1(22)$ 29%, 642 $\uparrow + Q_1(22)$ 9%	
3/2+	1150	402 \downarrow 64%, 400 $\uparrow + Q_1(22)$ 28%, 404 $\downarrow + Q_1(22)$ 4%	
3/2-	1170	512 \downarrow 12%, 633 $\uparrow + Q_1(32)$ 46%, 521 $\downarrow + Q_1(22)$ 27%	
9/2+	1180	642 $\uparrow + Q_1(22)$ 97%	
11/2-	1200	633 $\uparrow + Q_1(32)$ 100%	
1/2-	1240	530 \uparrow 14%, 642 $\uparrow + Q_1(32)$ 80%, 532 $\downarrow + Q_1(22)$ 2%	
5/2+	1290	521 $\downarrow + Q_1(32)$ 100%	
9/2-	1350	642 $\uparrow + Q_1(32)$ 50%, 512 $\uparrow + Q_1(22)$ 48%	
7/2-	1390	521 $\uparrow + Q_1(22)$ 100%	
1/2-	1390	521 $\uparrow + Q_1(22)$ 100%	

Т а б л и ц а 6.11

Ядро ^{163}Er

K^π	Энергия, кэв		Структура
	эксперимент	теория	
5/2-	0	0	523 \downarrow 93%
5/2+	69	-30	642 \uparrow 94%
3/2-	104	20	521 \uparrow 92%, 521 $\downarrow + Q_1(22)$ 3%,
3/2+	130	651 \uparrow 87%,	660 $\uparrow + Q_1(22)$ 7%,
1/2+	260	660 \uparrow 78%,	651 $\uparrow + Q_1(22)$ 12%, 642 $\uparrow + Q_1(22)$ 4%
1/2-	346	400 521 \downarrow 68%, 510 \uparrow 2%,	523 $\downarrow + Q_1(22)$ 18%, 521 $\uparrow + Q_1(22)$ 10%
7/2+	430	633 \uparrow 92%,	521 $\uparrow + Q_1(32)$ 3%
5/2-	609	512 \uparrow 79%,	510 $\uparrow + Q_1(22)$ 7%, 624 $\uparrow + Q_1(32)$ 6%
3/2+	464	402 \downarrow 70%,	400 $\uparrow + Q_1(22)$ 25%, 404 $\downarrow + Q_1(22)$ 4%
1/2+	541	400 \uparrow 61%,	402 $\downarrow + Q_1(22)$ 31%, 402 $\uparrow + Q_1(22)$ 6%
11/2-	444	900 505 \uparrow 99%	
1/2-	950	530 \uparrow 60%,	532 $\downarrow + Q_1(22)$ 13%, 642 $\uparrow + Q_1(32)$ 10%
[3/2-	960	532 \downarrow 73%,	530 $\uparrow + Q_1(22)$ 11%, 660 $\uparrow + Q_1(32)$ 5%
9/2+	970	624 \uparrow 30%,	642 $\uparrow + Q_1(22)$ 61%, 512 $\uparrow + Q_1(32)$ 6%
1/2-	1074	1090 510 \uparrow 22%, 521 \downarrow 1%,	523 $\downarrow + Q_1(22)$ 46%, 512 $\uparrow + Q_1(22)$ 23%
1/2-	1140	541 \downarrow 2%,	521 $\uparrow + Q_1(22)$ 73%, 523 $\downarrow + Q_1(22)$ 23%
1/2+	1150		642 $\uparrow + Q_1(22)$ 100%
7/2-	1170		521 $\uparrow + Q_1(22)$ 100%
4/2-	1175		521 $\uparrow + Q_1(22)$ 100%
7/2-	1180		521 $\uparrow + Q_1(22)$ 100%
9/2-	1185		523 $\downarrow + Q_1(22)$ 100%
7/2+	1300		651 $\uparrow + Q_1(22)$ 100%
5/2+	1330		521 $\uparrow + Q_1(31)$ 41%, 400 $\uparrow + Q_1(22)$ 34%
3/2-	1340	512 \downarrow 1%,	521 $\uparrow + Q_1(20)$ 98%
5/2-	1380	512 \uparrow 1%,	523 $\downarrow + Q_1(20)$ 98%
9/2+	1390	642 \uparrow 34%,	642 $\uparrow + Q_1(22)$ 37%, 523 $\downarrow + Q_1(22)$ 16%
7/2-	1510	514 \downarrow 22%,	642 $\uparrow + Q_1(31)$ 73%

Таблица 6.12

Ядро ^{165}Er

$K\pi$	Энергия, кэВ		Структура
	эксперимент	теория	
5/2-	0	0	523 \downarrow 95%
5/2+	47	10	642 \uparrow 92%, 660 $\uparrow + Q_1(22)$ 5%
7/2+	117	190	633 \uparrow 98%
5/2-	477	210	512 \uparrow 84%, 510 $\uparrow + Q_1(22)$ 9%, 624 $\uparrow + Q_1(32)$ 4%
1/2-	297	270	521 \downarrow 86%, 510 \uparrow 1%, 523 $\downarrow + Q_1(22)$ 10%
3/2-	243	280	521 \uparrow 95%
3/2+		350	651 \uparrow 82%, 660 $\uparrow + Q_1(22)$ 14%
1/2+	507	360	660 \uparrow 60%, 400 \uparrow 1%, 642 $\uparrow + Q_1(22)$ 19%, 651 $\uparrow + Q_1(22)$ 16%
3/2+	534	670	402 \downarrow 68%, 400 $\uparrow + Q_1(22)$ 27%, 404 $\downarrow + Q_1(22)$ 4%
1/2+	746	680	400 \uparrow 58%, 660 \uparrow 1%, 402 $\downarrow + Q_1(22)$ 34%, 402 $\uparrow + Q_1(22)$ 5%
1/2-	760	760	510 \uparrow 35%, 521 \downarrow 3%, 512 $\uparrow + Q_1(22)$ 47%, 523 $\downarrow + Q_1(22)$ 8%
9/2+	920	850	624 \uparrow 41%, 642 $\uparrow + Q_1(22)$ 50%, 512 $\uparrow + Q_1(32)$ 7%
9/2-		980	523 $\downarrow + Q_1(22)$ 100%
1/2-		1000	510 \uparrow 2%, 530 \uparrow 3%, 523 $\downarrow + Q_1(22)$ 90%, 512 $\uparrow + Q_1(22)$ 3%
1/2-		1140	530 \uparrow 8%, 521 $\uparrow + Q_1(22)$ 84%, 642 $\uparrow + Q_1(32)$ 5%
7/2-		1150	521 $\uparrow + Q_1(22)$ 100%
9/2+		1170	624 \uparrow 36%, 642 $\uparrow + Q_1(22)$ 50%, 512 $\uparrow + Q_1(32)$ 7%
11/2+		1200	615 \uparrow 2%, 633 $\uparrow + Q_1(22)$ 97%
3/2+		1230	633 $\uparrow + Q_1(22)$ 100%
11/2-	591	1360	505 \uparrow 99%
3/2-		1270	512 \downarrow 19%, 532 \downarrow 5%, 521 $\downarrow + Q_1(22)$ 56%, 514 $\downarrow + Q_1(22)$ 9%
7/2-	1177	1290	514 \downarrow 84%, 512 $\downarrow + Q_1(22)$ 10%, 633 $\uparrow + Q_1(30)$ 3%
3/2-		1300	532 \downarrow 61%, 521 $\downarrow + Q_1(22)$ 14%, 530 $\uparrow + Q_1(22)$ 13%
5/2-		1360	523 $\downarrow + Q_1(20)$ 60%, 521 $\downarrow + Q_1(22)$ 39%
7/2+		1370	633 $\uparrow + Q_1(20)$ 100%
3/2-	1474	1500	512 \downarrow 22%, 521 $\downarrow + Q_1(22)$ 30%, 521 $\uparrow + Q_1(20)$ 20%

Таблица 6.13

Ядро ^{167}Er

$K\pi$	Энергия, кэВ		Структура
	эксперимент	теория	
7/2+	0	0	633 \uparrow 97%
1/2-	208	120	521 \downarrow 97%
5/2-	347	150	512 \uparrow 66%, 523 \downarrow 24%, 510 $\uparrow + Q_1(22)$ 7%
5/2+	812	330	642 \uparrow 90%, 660 $\uparrow + Q_1(22)$ 7%
5/2-	668	340	523 \downarrow 72%, 512 \uparrow 22%, 642 $\uparrow + Q_1(30)$ 1%
1/2-	763	550	510 \uparrow 38%, 512 $\uparrow + Q_1(22)$ 54%, 512 $\uparrow + Q_1(22)$ 5%
1/2+		590	660 \uparrow 50%, 642 $\uparrow + Q_1(22)$ 33%, 651 $\uparrow + Q_1(22)$ 14%
3/2+	532	650	633 $\uparrow + Q_1(22)$ 15%, 660 $\downarrow + Q_1(22)$ 12%
3/2-	753	660	521 \uparrow 85%, 521 $\downarrow + Q_1(22)$ 9%

Продолжение табл. 6.13

$K\pi$	Энергия, кэВ		Структура
	эксперимент	теория	
9/2+	800	624 \uparrow 82%,	512 $\uparrow + Q_1(32)$ 11%, 642 $\uparrow + Q_1(22)$ 5%
11/2+	970	615 \uparrow 1%,	633 $\uparrow + Q_1(22)$ 98%
7/2-	1049	514 \downarrow 86%,	512 $\downarrow + Q_1(22)$ 9%
3/2+	1000		633 $\uparrow + Q_1(22)$ 100%
3/2-	1010	512 \downarrow 16%,	521 $\downarrow + Q_1(22)$ 70%, 514 $\downarrow + Q_1(22)$ 8%
1/2-	1050		523 $\downarrow + Q_1(22)$ 100%
9/2-	1050		523 $\downarrow + Q_1(22)$ 100%
3/2+	1055	651 \uparrow 11%,	633 $\uparrow + Q_1(22)$ 84%, 660 $\uparrow + Q_1(22)$ 4%
5/2-	1070		521 $\downarrow + Q_1(22)$ 100%
3/2-	1070		521 $\downarrow + Q_1(22)$ 100%
1/2+	1135	400 \uparrow 28%,	642 $\uparrow + Q_1(22)$ 50%, 402 $\downarrow + Q_1(22)$ 18%
3/2+	1086	402 \downarrow 66%,	400 $\uparrow + Q_1(22)$ 29%, 404 $\downarrow + Q_1(22)$ 4%
1/2+	1180	400 \uparrow 27%,	642 $\uparrow + Q_1(22)$ 50%, 402 $\downarrow + Q_1(22)$ 18%
9/2+	1185	624 \uparrow 3%,	642 $\uparrow + Q_1(22)$ 95%
3/2-	1384	512 \downarrow 32%,	521 $\downarrow + Q_1(22)$ 29%, 514 $\downarrow + Q_1(22)$ 25%
9/2-	1370		512 $\uparrow + Q_1(22)$ 100%
1/2-	1380		521 $\uparrow + Q_1(22)$ 100%
7/2-	1400		521 $\uparrow + Q_1(22)$ 100%

Таблица 6.14

Ядро ^{169}Er

$K\pi$	Энергия, кэВ		Структура
	эксперимент	теория	
1/2-	0	0	523 $\downarrow + Q_1(22)$ 4%, 521 $\uparrow + Q_1(22)$ 4%
5/2-	92,2	220	510 $\uparrow + Q_1(22)$ 10%, 624 $\uparrow + Q_1(32)$ 2%
7/2+	243,7	250	633 $\uparrow + Q_1(22)$ 2%
1/2+	565	610	510 $\uparrow + Q_1(22)$ 43%, 521 $\downarrow + Q_1(22)$ 43%, 512 $\uparrow + Q_1(22)$ 7%
5/2+	—	690	642 $\uparrow + Q_1(20)$ 17%, 660 $\uparrow + Q_1(22)$ 4%
5/2-	850	710	521 $\downarrow + Q_1(22)$ 45%
3/2-	714,5	730	521 $\uparrow + Q_1(22)$ 51%
3/2+	—	780	633 $\uparrow + Q_1(22)$ 39%, 651 $\uparrow + Q_1(20)$ 10%
9/2+	—	830	512 $\uparrow + Q_1(32)$ 4%, 633 $\downarrow + Q_1(22)$ 1%
1/2+	—	960	642 $\uparrow + Q_1(22)$ 18%, 660 $\uparrow + Q_1(20)$ 11%
3/2-	1082	1030	512 $\downarrow + Q_1(22)$ 49%, 514 $\downarrow + Q_1(22)$ 10%
7/2-	823	1040	514 $\downarrow + Q_1(22)$ 13%, 514 $\downarrow + Q_1(20)$ 3%
11/2+	—	1090	633 $\uparrow + Q_1(22)$ 100%
11/2-	1394	1100	505 $\uparrow + Q_1(20)$ 23%
3/2+	860	1110	633 $\uparrow + Q_1(22)$ 97%
1/2+	1644	1340	402 $\uparrow + Q_1(22)$ 27%, 402 $\uparrow + Q_1(22)$ 4%
3/2+	1526	1400	402 $\downarrow + Q_1(22)$ 29%

Таблица 6.15

Ядро ^{171}Er

$K\pi$	Энергия, кэВ		Структура
	эксперимент	теория	
5/2-	0	0	512 \uparrow 91%, 510 $\uparrow +Q_1(22)$ 4,7%, 624 $\uparrow +Q_1(32)$ 1,7%
1/2+	194	280	521 \downarrow 89%
7/2-	531	390	514 \downarrow 93%, 512 $\downarrow +Q_1(22)$ 5%
7/2+	—	400	633 \uparrow 92%, 521 $\uparrow +Q_1(32)$ 3%, 651 $\uparrow +Q_1(22)$ 3%
9/2+	378	420	624 \uparrow 93%, 512 $\uparrow +Q_1(32)$ 4,5%
1/2-	706	630	510 \uparrow 49%, 512 $\uparrow +Q_1(22)$ 40%, 512 $\downarrow +Q_1(22)$ 8%
3/2-	906	860	512 \downarrow 45%, 521 \uparrow 1,7%, 514 $\downarrow +Q_1(22)$ 34%, 510 $\uparrow +Q_1(22)$ 12%
5/2+	—	920	642 \uparrow 85%, 660 $\uparrow +Q_1(22)$ 8%, 521 $\downarrow +Q_1(32)$ 1,5%
3/2-	—	980	521 \uparrow 35%, 512 \downarrow 2,2%, 521 $\downarrow +Q_1(22)$ 50%, 633 $\uparrow +Q_1(32)$ 5%
3/2+	—	1000	651 \uparrow 53%, 633 $\uparrow +Q_1(22)$ 33%, 660 $\uparrow +Q_1(22)$ 7%
5/2-	—	1050	523 \downarrow 40%, 521 $\downarrow +Q_1(22)$ 55%, 512 $\uparrow +Q_1(20)$ 2%
1/2+	—	1120	660 \uparrow 60%, 642 $\uparrow +Q_1(22)$ 21%, 651 $\uparrow +Q_1(22)$ 12%
9/2-	—	1330	512 $\uparrow +Q_1(22)$ 100%
11/2+	—	1420	615 \uparrow 4%, 633 $\uparrow +Q_1(22)$ 95%
1/2+	—	1460	400 \uparrow 11%, 512 $\uparrow +Q_1(32)$ 81%
7/2-	—	1470	503 \uparrow 35%, 514 $\downarrow +Q_1(20)$ 54%, 501 $\uparrow +Q_1(22)$ 4%

Таблица 6.16

Ядро ^{167}Yb

$K\pi$	Энергия, кэВ		Структура
	эксперимент	теория	
5/2-	0	0	523 \downarrow 98%
5/2+	30	40	642 \uparrow 97%
7/2+	67	170	633 \uparrow 98%
3/2-	188	290	521 \uparrow 97%
1/2-	212	300	521 \downarrow 97%
3/2+	—	470	651 \uparrow 94%, 660 $\uparrow +Q_1(22)$ 2%
5/2-	401	480	512 \uparrow 91%, 624 $\uparrow +Q_1(32)$ 4%, 510 $\uparrow +Q_1(22)$ 2%
1/2+	—	680	660 \uparrow 87%, 651 $\uparrow +Q_1(22)$ 4%, 642 $\uparrow +Q_1(22)$ 4%
9/2+	—	1100	624 \uparrow 81%, 512 $\uparrow +Q_1(32)$ 13%, 523 $\downarrow +Q_1(32)$ 3%
3/2+	—	1260	402 \downarrow 86%, 400 $\uparrow +Q_1(22)$ 10%
3/2-	—	1340	531 \uparrow 9%, 521 $\uparrow +Q_1(20)$ 89%
1/2-	—	1400	530 \uparrow 40%, 642 $\uparrow +Q_1(32)$ 51%, 651 $\uparrow +Q_1(32)$ 3%
1/2+	—	1440	400 \uparrow 73%, 402 $\downarrow +Q_1(22)$ 16%, 523 $\downarrow +Q_1(32)$ 7%
7/2-	—	1460	514 \downarrow 83%, 633 $\uparrow +Q_1(30)$ 12%, 512 $\downarrow +Q_1(22)$ 2%
1/2-	—	1500	510 \uparrow 12%, 521 $\downarrow +Q_1(20)$ 75%, 512 $\uparrow +Q_1(22)$ 6%

Таблица 6.17

Ядро ^{169}Yb

K^π	Энергия, кэВ		Структура
	эксперимент	теория	
7/2+	0	0	633 \uparrow 98%
1/2-	24	103	521 \downarrow 98%
5/2-	191	160	512 \uparrow 75%, 523 \downarrow 15%, 510 $\uparrow + Q_1(22)$ 6%
5/2+	591	370	642 \uparrow 93%, 660 $\uparrow + Q_1(22)$ 4%
5/2-	570	400	523 \downarrow 85%, 512 \uparrow 13%
3/2-	660	720	521 $\uparrow + Q_1(22)$ 4%
3/2+	720	800	633 $\uparrow + Q_1(22)$ 11%, 660 $\uparrow + Q_1(22)$ 10%
1/2+		820	660 \uparrow 55%
1/2-	813	840	642 $\uparrow + Q_1(22)$ 31%, 651 $\uparrow + Q_1(22)$ 12%
9/2+		890	510 \uparrow 37%
7/2-	960	1080	512 $\uparrow + Q_1(22)$ 51%, 521 $\downarrow + Q_1(20)$ 5%
11/2+		1150	512 $\uparrow + Q_1(32)$ 7%, 642 $\uparrow + Q_1(22)$ 2%
3/2+		1160	512 $\downarrow + Q_1(22)$ 6%
3/2-		1220	521 $\uparrow + Q_1(22)$ 91%, 514 $\downarrow + Q_1(22)$ 2%
1/2-		1230	523 $\downarrow + Q_1(22)$ 100%
9/2-		1230	523 $\downarrow + Q_1(22)$ 100%
3/2-		1240	521 $\downarrow + Q_1(22)$ 100%
5/2-		1250	521 $\downarrow + Q_1(22)$ 100%
9/2+		1350	624 \uparrow 2%
3/2+		1400	624 $\uparrow + Q_1(22)$ 97%
1/2-		1410	400 $\uparrow + Q_1(22)$ 23%, 404 $\downarrow + Q_1(22)$ 3%
1/2+		1440	521 $\downarrow + Q_1(20)$ 100%
3/2-		1500	402 $\downarrow + Q_1(22)$ 32%, 402 $\uparrow + Q_1(22)$ 4%
1/2+		1510	514 $\downarrow + Q_1(22)$ 30%, 510 $\uparrow + Q_1(22)$ 12%
			642 $\uparrow + Q_1(22)$ 63%, 651 $\uparrow + Q_1(22)$ 24%

Таблица 6.18

Ядро ^{171}Yb

K^π	Энергия, кэВ		Структура
	эксперимент	теория	
1/2-	0	0	521 \downarrow 95%
5/2-	122	10	512 \uparrow 91%, 510 $\uparrow + Q_1(22)$ 5%
7/2+	95	110	633 \uparrow 97%
9/2+	935	650	624 \uparrow 95%
1/2-	945	680	510 \uparrow 47%, 512 $\uparrow + Q_1(22)$ 43%, 512 $\downarrow + Q_1(22)$ 5%
5/2-		690	523 \downarrow 85%, 521 $\downarrow + Q_1(22)$ 10%, 642 $\uparrow + Q_1(30)$ 3%
5/2+		730	642 \uparrow 89%, 660 $\uparrow + Q_1(22)$ 4%, 523 $\downarrow + Q_1(30)$ 4%
7/2-	835	750	514 \downarrow 89%, 512 $\downarrow + Q_1(22)$ 6%, 633 $\uparrow + Q_1(30)$ 3%
3/2-	902	870	521 \uparrow 62%, 521 $\downarrow + Q_1(22)$ 31%, 651 $\uparrow + Q_1(30)$ 3%
3/2+		940	651 \uparrow 60%, 633 $\uparrow + Q_1(22)$ 27%, 660 $\uparrow + Q_1(22)$ 5%
1/2+		1050	660 \uparrow 62%, 642 $\uparrow + Q_1(22)$ 20%, 651 $\uparrow + Q_1(22)$ 9%

Продолжение табл. 6.18

K^π	Энергия, кэв		Структура
	эксперимент	теория	
3/2-	1120	512 ↓ 51%, 514 ↓ + $Q_1(22)$ 23%, 510 ↑ + $Q_1(22)$ 12%	
1/2-	1260	521 ↓ + $Q_1(20)$ 100%	
11/2+	1320	615 ↑ 2%, 633 ↑ + $Q_1(22)$ 98%	
3/2-	1330	521 ↓ + $Q_1(22)$ 100%	
3/2+	1340	633 ↑ + $Q_1(22)$ 100%	
7/2-	1450	503 ↑ 58%, 633 ↑ + $Q_1(30)$ 23%, 514 ↓ + $Q_1(20)$ 8%	
9/2-	1500	512 ↑ + $Q_1(22)$ 100%	
1/2-	1500	512 ↑ + $Q_1(22)$ 100%	

Таблица 6.19

Ядро ^{173}Yb

K^π	Энергия, кэв		Структура
	эксперимент	теория	
5/2-	0	512 ↑ 96%	
7/2+	3501	633 ↑ 96%	
9/2+		624 ↑ 96%	
1/2-	399	521 ↓ 97%	
7/2-	637	514 ↓ 98%	
5/2+		642 ↑ 93%, 521 ↓ + $Q_1(32)$ 2%	
3/2-	1224	521 ↑ 56%, 633 ↑ + $Q_1(32)$ 35%, 642 ↑ + $Q_1(31)$ 3%	
5/2-		523 ↓ 6%, 512 ↑ + $Q_1(20)$ 93%	
3/2+		651 ↑ 79%, 512 ↑ + $Q_1(31)$ 5%, 521 ↓ + $Q_1(32)$ 5%	
1/2-	1031	510 ↑ 41%, 521 ↓ + $Q_1(20)$ 52%, 512 ↑ + $Q_1(22)$ 3%	
5/2-		523 ↓ 78%, 633 ↑ + $Q_1(31)$ 7%, 512 ↑ + $Q_1(20)$ 7%	
1/2-		510 ↑ 42%, 521 ↑ + $Q_1(20)$ 47%, 512 ↑ + $Q_1(22)$ 6%	
1/2+		660 ↑ 57%, 521 ↑ + $Q_1(31)$ 30%	
3/2+		651 ↑ 3%, 512 ↑ + $Q_1(31)$ 93%	
3/2+		521 ↓ + $Q_1(31)$ 100%	
1/2+		521 ↓ + $Q_1(31)$ 70%, 512 ↑ + $Q_1(32)$ 24%	
7/2-		503 ↑ 4%, 514 ↓ + $Q_1(20)$ 95%	
9/2-		633 ↑ + $Q_1(31)$ 100%	
3/2-		521 ↓ + $Q_1(22)$ 100%	
3/2-	1340	512 ↓ 50%, 633 ↑ + $Q_1(32)$ 37%, 514 ↓ + $Q_1(22)$ 6%	

Таблица 6.20

Ядро ^{175}Yb

K^π	Энергия, кэв		Структура
	эксперимент	теория	
7/2-	0	0	514 \downarrow 98%
9/2+	265	50	624 \uparrow 99%
5/2-	639	250	512 \uparrow 98%
1/2-	920	600	521 \downarrow 95%, 521 $\uparrow + Q_1(22)$ 2%
7/2+	≈ 995	700	633 \uparrow 98%
1/2-	515	800	510 \uparrow 85%, 512 $\downarrow + Q_1(22)$ 8%, 512 $\uparrow + Q_1(22)$ 7%
3/2-	811	990	512 \downarrow 71%, 514 $\downarrow + Q_1(22)$ 18%, 510 $\uparrow + Q_1(22)$ 10%
5/2+		1340	642 \uparrow 91%, 624 $\uparrow + Q_1(22)$ 4%
7/2-		1360	503 \uparrow 17%, 514 $\downarrow + Q_1(20)$ 81%
11/2+		1390	514 $\downarrow + Q_1(32)$ 100%
3/2+		1390	514 $\downarrow + Q_1(32)$ 100%
5/2-		1400	624 $\uparrow + Q_1(32)$ 100%
5/2-		1405	523 \downarrow 5%, 512 $\uparrow + Q_1(20)$ 93%
9/2+		1410	512 $\uparrow + Q_1(32)$ 100%
1/2+		1410	512 $\uparrow + Q_1(32)$ 100%
11/2+		1450	615 \uparrow 98%
7/2-		1560	503 \uparrow 65%, 514 $\downarrow + Q_1(20)$ 18%, 514 $\downarrow + Q_1(20)$ 12%
3/2+		1600	651 \uparrow 72%, 633 $\uparrow + Q_1(22)$ 23%
3/2-	1616	1640	521 \downarrow 46%, 521 $\downarrow + Q_1(22)$ 51%

Таблица 6.21

Ядро ^{177}Yb

K^π	Энергия, кэв		Структура
	эксперимент	теория	
9/2+	0	0	624 \uparrow 99%
7/2-	104	480	514 \downarrow 99%
1/2-	332	640	510 \uparrow 91%, 512 $\downarrow + Q_1(22)$ 8%
5/2-		690	512 \uparrow 97%, 624 $\uparrow + Q_1(32)$ 1%
3/2-	709	930	512 \downarrow 87%, 510 $\uparrow + Q_1(22)$ 9%, 514 $\downarrow + Q_1(22)$ 3%
7/2+		1110	633 \uparrow 97%, 651 $\uparrow + Q_1(22)$ 2%
1/2-		1200	521 \downarrow 94%, 521 $\uparrow + Q_1(22)$ 3%, 523 $\downarrow + Q_1(22)$ 2%, 512 $\uparrow + Q_1(22)$ 1%
5/2-		1360	512 \uparrow 1%, 624 $\uparrow + Q_1(32)$ 99%
11/2+		1380	615 \uparrow 95%, 503 $\uparrow + Q_1(32)$ 2%, 514 $\downarrow + Q_1(32)$ 2%
17/2+		1400	624 $\uparrow p411 \downarrow p404 \downarrow$
5/2+		1410	642 \uparrow 4%, 624 $\uparrow + Q_1(22)$ 96%
13/2+		1420	624 $\uparrow + Q_1(22)$ 100%
3/2+		1470	514 $\downarrow + Q_1(32)$ 100%
11/2+		1480	615 \uparrow 1%, 514 $\downarrow + Q_1(32)$ 98%
7/2-	1226	1540	503 \uparrow 73%, 514 $\downarrow + Q_1(20)$ 19%, 501 $\uparrow + Q_1(22)$ 4%

Продолжение табл. 6.21

K^π	Энергия, кэв		Структура
	эксперимент	теория	
11/2-		1550	$514 \downarrow +Q_1(22) 100\%$
3/2-		1570	$512 \downarrow 2\%, 514 \downarrow +Q_1(22) 96\%, 510 \uparrow +Q_1(22) 1\%$
19/2-		1600	$624 \uparrow p411 \downarrow p514 \uparrow$
7/2-		1630	$503 \uparrow 18\%, 514 \downarrow +Q_1(20) 81\%, 501 \uparrow +Q_1(22) 1\%$
1/2+		1630	$400 \uparrow 1\%, 512 \uparrow +Q_1(32) 99\%$
9/2+		1660	$512 \uparrow +Q_1(32) 99\%$
9/2-		1720	$512 \uparrow +Q_1(22) 100\%$
1/2-		1720	$521 \downarrow 1\%, 512 \uparrow +Q_1(22) 99\%$
5/2-		1770	$523 \downarrow 1\%, 512 \uparrow +Q_1(20) 99\%$
5/2+		1780	$642 \uparrow 89\%, 660 \uparrow +Q_1(22) 4\%, 624 \uparrow +Q_1(22) 4\%$

Таблица 6.22

Ядро ^{173}Hf

K^π	Энергия, кэв		Структура
	эксперимент	теория	
1/2-	0	0	$521 \downarrow 97\%, 521 \uparrow +Q_1(22) 1\%$
5/2-	107	-70	$512 \uparrow 94\%, 510 \uparrow +Q_1(22) 2\%$
7/2+	197	30	$633 \uparrow 98\%$
9/2+	—	480	$624 \uparrow 94\%, 512 \uparrow +Q_1(32) 4\%$
7/2-	—	490	$514 \downarrow 97\%, 512 \downarrow +Q_1(22) 2\%$
5/2+	—	510	$642 \uparrow 95\%, 660 \uparrow +Q_1(22) 2\%$
3/2+	—	810	$651 \uparrow 88\%, 660 \uparrow +Q_1(22) 4\%, 633 \uparrow +Q_1(22) 4\%$
5/2-	—	900	$523 \downarrow 89\%, 521 \downarrow +Q_1(22) 7\%$
1/2+	—	910	$660 \uparrow 82\%, 642 \uparrow +Q_1(22) 8\%, 651 \uparrow +Q_1(22) 6\%$
3/2-	—	970	$521 \downarrow 75\%, 521 \downarrow +Q_1(22) 13\%, 633 \uparrow +Q_1(32) 5\%$
1/2-	—	1000	$510 \uparrow 53\%. 512 \uparrow +Q_1(22) 35\%, 512 \uparrow +Q_2(22) 6\%$
3/2+	—	1370	$521 \downarrow +Q_1(31) 100\%$
9/2-	—	1380	$633 \uparrow +Q_1(31) 100\%$
1/2-	—	1390	$521 \downarrow +Q_1(20) 93\%, 521 \downarrow +Q_2(20) 6\%$
3/2-	—	1400	$512 \downarrow 56\%, 514 \downarrow +Q_1(22) 24\%, 510 \uparrow +Q_1(22) 7\%$
11/2+	—	1540	$615 \uparrow 3\%, 633 \uparrow +Q_1(22) 96\%$
3/2-	—	1560	$521 \downarrow +Q_1(22) 100\%$
7/2-	—	1700	$642 \uparrow +Q_1(31) 100\%$
11/2-	—	1800	$633 \uparrow +Q_1(32) 98\%$

Таблица 6.23

Ядро ^{175}Hf

$K\pi$	Энергия, кэВ		Структура
	эксперимент	теория	
5/2-	0	0	512 \uparrow 97%, 510 $\uparrow + Q_2(22)$ 1%
1/2-	125	280	521 \downarrow 97%, 521 $\uparrow + Q_2(22)$ 1%
7/2-	348	310	514 \downarrow 98%, 512 $\downarrow + Q_2(22)$ 1%
9/2+	—	330	624 \uparrow 98%, 512 $\uparrow + Q_1(32)$ 1%
7/2+	207	350	633 \uparrow 97%, 521 $\uparrow + Q_1(32)$ 1%
5/2+	—	980	642 \uparrow 96%, 660 $\uparrow + Q_2(22)$ 2%
5/2-	—	1000	523 \downarrow 1%, 512 $\uparrow + Q_1(20)$ 98%
1/2-	—	1090	510 \uparrow 25%, 521 \downarrow 3%, 521 $\downarrow + Q_1(20)$ 63%, 512 $\uparrow + Q_2(22)$ 4%
7/2-	—	1260	503 \uparrow 3%, 514 \downarrow 1%, 514 $\downarrow + Q_1(20)$ 95%
3/2-	—	1280	521 \uparrow 56%, 512 \downarrow 1%, 633 $\uparrow + Q_1(32)$ 19%, 521 $\downarrow + Q_1(22)$ 9%
3/2+	—	1300	651 \uparrow 81%, 633 $\uparrow + Q_1(22)$ 6%, 633 $\uparrow + Q_2(22)$ 4%
5/2-	—	1360	523 \downarrow 74%, 521 $\downarrow + Q_1(22)$ 16%, 521 $\downarrow + Q_2(22)$ 7%
3/2-	—	1400	514 $\downarrow + Q_1(22)$ 12%, 514 $\downarrow + Q_2(22)$ 11%
3/2+	—	1440	512 $\uparrow + Q_1(31)$ 100%
7/2+	—	1441	512 $\uparrow + Q_1(31)$ 100%
9/2-	—	1460	512 $\uparrow + Q_1(22)$ 100%
1/2+	—	1470	660 \uparrow 72%, 521 $\downarrow + Q_1(31)$ 11%, 521 $\downarrow + Q_2(31)$ 4%
3/2-	—	1550	521 $\downarrow + Q_1(22)$ 100%
9/2-	—	1556	633 $\uparrow + Q_1(31)$ 100%
9/2+	—	1660	624 \uparrow 1,4%, 512 $\uparrow + Q_1(32)$ 98%
7/2-	—	1720	503 \uparrow 1%, 624 $\uparrow + Q_1(31)$ 99%

Таблица 6.24

Ядро ^{177}Hf

$K\pi$	Энергия, кэВ		Структура
	эксперимент	теория	
7/2-	0	0	514 \downarrow 98%
9/2+	321	110	624 \uparrow 99%
5/2-	509	154	512 \uparrow 97%
7/2+	746	437	633 \uparrow 97%, 651 $\uparrow + Q_1(22)$ 1%, 521 $\uparrow + Q_1(32)$ 1%
1/2-	560	567	521 \downarrow 94%, 521 $\downarrow + Q_1(22)$ 3%, 523 $\downarrow + Q_1(22)$ 2%
1/2-	590	673	510 \uparrow 82%, 542 $\downarrow + Q_1(22)$ 9%, 512 $\uparrow + Q_1(22)$ 8%
3/2-	804	986	512 \downarrow 75%, 514 $\downarrow + Q_1(22)$ 15%, 510 $\uparrow + Q_1(22)$ 9%
5/2+	—	1000	642 \uparrow 93%, 660 $\uparrow + Q_1(22)$ 4%
23/2+	1315	1200	514 \downarrow $p404 \downarrow p514 \uparrow$ 100%
3/2+	—	1242	651 \uparrow 76%, 633 $\uparrow + Q_1(22)$ 13%, 660 $\uparrow + Q_1(22)$ 5%
7/2-	1058	1242	503 \uparrow 2%, 514 $\downarrow + Q_1(20)$ 98%
9/2+	—	1200	514 $\downarrow + Q_1(31)$ 100%
5/2+	—	1200	514 $\downarrow + Q_1(31)$ 100%
25/2-	—	1300	624 \uparrow $p404 \downarrow p514 \uparrow$ 100%
5/2-	—	1313	512 $\uparrow + Q_1(20)$ 100%

Продолжение табл. 6.24

K^π	Энергия, кэВ		Структура
	эксперимент	теория	
7/2 ⁺	1344	512 $\uparrow + Q_1$ (31) 100%	
3/2 ⁺	1345	651 \uparrow 1%, 512 $\uparrow + Q_1$ (31) 99%	
11/2 ⁺	1352	615 \uparrow 2%, 514 $\downarrow + Q_1$ (32) 98%	
3/2 ⁺	1356	651 \uparrow 1%, 514 $\downarrow + Q_1$ (32) 98%	
7/2 ⁻	1300	624 $\uparrow + Q_1$ (31) 100%	
11/2 ⁻	1300	624 $\uparrow + Q_1$ (31) 100%	
21/2 ⁺	1400	512 $\uparrow p404 \downarrow p514 \uparrow$ 100%	
1/2 ⁺	1408	660 \uparrow 23%, 512 $\uparrow + Q_1$ (32) 72%, 642 $\uparrow + Q_1$ (22) 2%	
1/2 ⁺	1437	660 \uparrow 60%, 512 $\uparrow + Q_1$ (32) 28%, 642 $\uparrow + Q_1$ (22) 4%	
11/2 ⁻	1446	514 $\downarrow + Q_1$ (22) 100%	
3/2 ⁻	1502	521 \uparrow 23%, 514 $\downarrow + Q_1$ (22) 76%	
5/2 ⁻	1471	624 $\uparrow + Q_1$ (32) 100%	

Таблица 6.25

Ядро ^{179}Hf

K^π	Энергия, кэВ		Структура
	эксперимент	теория	
9/2 ⁺	0	0	624 \uparrow 99%
1/2 ⁻	375	405	510 \uparrow 90%, 512 $\downarrow + Q_1$ (22) 10%
7/2 ⁻	214	463	514 \downarrow 98,8%, 503 \uparrow 0,2%
3/2 ⁺	720	672	512 \downarrow 88%, 510 $\uparrow + Q_1$ (22) 10%, 514 $\downarrow + Q_1$ (22) 2%
5/2 ⁻	518	700	512 \uparrow 98%, 624 $\uparrow + Q_1$ (32) 1%
7/2 ⁺	953	872	633 \uparrow 97%, 651 $\uparrow + Q_1$ (22) 2%
1/2 ⁻	614	995	521 \downarrow 93%, 521 $\uparrow + Q_1$ (22) 3%, 523 $\downarrow + Q_1$ (22) 2%
7/2 ⁻	870	933	503 \uparrow 91,7%, 514 \downarrow 0,3%, 501 $\uparrow + Q_1$ (22) 6%
11/2 ⁺	1055	1615	615 \uparrow 98%, 503 $\uparrow + Q_1$ (32) 1%
25/2 ⁺	1106	1200	624 $\uparrow p404 \downarrow p514 \uparrow$ 100%
5/2 ⁺		1254	642 \uparrow 18%, 624 $\uparrow + Q_1$ (22) 81%
13/2 ⁺		1292	624 $\uparrow + Q_1$ (22) 100%
11/2 ⁻		1392	624 $\uparrow + Q_1$ (31) 100%
7/2 ⁻		1392	624 $\uparrow + Q_1$ (31) 100%
5/2 ⁻		1403	512 \uparrow 0,6%, 624 $\uparrow + Q_1$ (32) 100%
5/2 ⁺		1452	642 \uparrow 24%, 514 $\downarrow + Q_1$ (31) 68%, 624 $\uparrow + Q_1$ (22) 6%
3/2 ⁻		1453	512 \downarrow 1%, 514 $\downarrow + Q_1$ (22) 98%
9/2 ⁺		1455	514 $\downarrow + Q_1$ (31) 100%
11/2 ⁻		1439	514 $\downarrow + Q_1$ (22) 100%
5/2 ⁺		1460	642 \uparrow 52%, 514 $\downarrow + Q_1$ (31) 32%, 624 $\uparrow + Q_1$ (22) 12%
9/2 ⁺		1540	514 $\downarrow + Q_2$ (31) 100%
5/2 ⁺		1540	514 $\downarrow + Q_2$ (31) 100%
23/2 ⁺		1600	514 $\downarrow p404 \downarrow p514 \uparrow$ 100%

Т а б л и ц а 6.26

Ядро ^{181}Hf

K^π	Энергия, кэв		Структура
	эксперимент	теория	
1/2-	0	0	510 \uparrow 95%, 512 $\downarrow + Q_1(22)$ 5%
3/2-	255	248	512 \downarrow 95%, 510 $\uparrow + Q_1(22)$ 4%
11/2+		553	615 \uparrow 99%
7/2-	670	577	503 \uparrow 95%, 501 $\uparrow + Q_1(22)$ 3%
9/2+		600	624 \uparrow 99%
7/2-		1110	514 \downarrow 99%
17/2+		1200	$n510 \uparrow p404 \downarrow p514 \uparrow$ 100%
5/2-		1292	512 \uparrow 68%, 510 $\uparrow + Q_1(22)$ 29%, 624 $\uparrow + Q_1(32)$ 1%
5/2+		1389	642 \uparrow 2%, 624 $\uparrow + Q_1(22)$ 98%
11/2-		1391	624 $\uparrow + Q_1(31)$ 100%
7/2-		1391	624 $\uparrow + Q_1(31)$ 100%
19/2+		1400	$n512 \downarrow p404 \downarrow p514 \uparrow$ 100%
1/2+		1200	510 $\uparrow + Q_1(31)$ 100%
3/2+		1200	510 $\uparrow + Q_1(31)$ 100%
13/2+		1402	624 $\uparrow + Q_1(22)$ 100%
3/2-	1503	1461	501 \uparrow 27%, 512 \downarrow 1%, 503 $\uparrow + Q_1(22)$ 56% 512 $\downarrow + Q_1(20)$ 13%
5/2-		1462	512 \uparrow 28%, 510 $\uparrow + Q_1(22)$ 71%
3/2-		1464	512 \downarrow 4%, 510 $\uparrow + Q_1(22)$ 96%
9/2-		1479	505 \downarrow 98%, 503 $\downarrow + Q_1(22)$ 2%
7/2+		1530	633 \uparrow 97%, 651 $\uparrow + Q_1(22)$ 2%
1/2+		1588	512 $\downarrow + Q_1(31)$ 100%
5/2+		1588	512 $\downarrow + Q_1(31)$ 100%
27/2-		1600	$n615 \uparrow p404 \downarrow p514 \uparrow$ 100%

Т а б л и ц а 6.27

Ядро ^{179}W

K^π	Энергия, кэв		Структура
	эксперимент	теория	
7/2-	0	0	514 \downarrow 98%, 512 $\downarrow + Q_1(22)$ 1%
9/2+	309	50	624 \uparrow 99%
5/2-	430	150	512 \uparrow 98%
7/2+	477	290	633 \uparrow 96%, 521 $\uparrow + Q_1(32)$ 2%, 651 $\uparrow + Q_1(22)$ 2%
1/2-	222	310	521 \downarrow 91%, 521 $\uparrow + Q_1(22)$ 4%, 523 $\downarrow + Q_1(22)$ 3%
1/2-	627	500	510 \uparrow 84%, 512 $\downarrow + Q_1(22)$ 10%, 512 $\uparrow + Q_1(22)$ 5%
5/2+		770	642 \uparrow 93%, 660 $\uparrow + Q_1(22)$ 4%
3/2-		810	512 \downarrow 80%, 510 $\uparrow + Q_1(22)$ 10%, 514 $\downarrow + Q_1(22)$ 8%
3/2+		980	651 \uparrow 75%, 514 $\downarrow + Q_1(32)$ 8%, 633 $\uparrow + Q_1(22)$ 8%
11/2+		1030	615 \uparrow 1%, 514 $\downarrow + Q_1(32)$ 98%
3/2+		1030	651 \uparrow 7%, 514 $\downarrow + Q_1(32)$ 92%
7/2-		1040	503 \uparrow 21%, 514 $\downarrow + Q_1(20)$ 77%, 501 $\uparrow + Q_1(22)$ 1%

Продолжение табл. 6.27

$K\pi$	Энергия, кэВ		Структура
	эксперимент	теория	
1/2+	1100	660 \uparrow 11%, 512 $\uparrow + Q_1(32)$	87%
3/2-	1110	521 \uparrow 13%, 633 $\uparrow + Q_1(32)$	83%, 521 $\downarrow + Q_1(22)$ 4%
9/2+	1110	542 $\uparrow + Q_1(32)$	100%
5/2-	1120	624 $\uparrow + Q_1(32)$	99%
5/2-	1150	523 \downarrow 2%, 512 $\uparrow + Q_1(20)$	97%
1/2+	1150	660 \uparrow 74%, 512 $\uparrow + Q_1(32)$	13%, 642 $\uparrow + Q_1(22)$ 7%
11/2-	1190	633 $\uparrow + Q_1(32)$	100%
7/2-	1190	503 \uparrow 68%, 514 $\downarrow + Q_1(20)$	23%, 501 $\uparrow + Q_1(22)$ 5%
11/2+	1230	615 \uparrow 89%, 503 $\uparrow + Q_1(32)$	6%, 633 $\uparrow + Q_1(22)$ 2%
5/2+	1330	642 \uparrow 1%, 521 $\downarrow + Q_1(32)$	99%
3/2+	1330	651 \uparrow 1%, 521 $\downarrow + Q_1(32)$	98%
7/2+	1500	514 \downarrow p514 $\uparrow p402 \uparrow$ 100%	
23/2-	1600	624 \uparrow p514 $\uparrow p402 \uparrow$ 100%	
19/2+	1700	512 \uparrow p514 $\uparrow p402 \uparrow$ 100%	

Таблица 6.28

Ядро ^{181}W

$K\pi$	Энергия, кэВ		Структура
	эксперимент	теория	
9/2+	0	0	624 \uparrow 98%
1/2-	458	250	510 \uparrow 83%, 512 $\downarrow + Q_1(22)$ 16%
7/2-	662	380	503 \uparrow 58%, 514 \downarrow 24%, 501 $\uparrow + Q_1(22)$
7/2-	409	480	503 \uparrow 20%, 501 $\uparrow + Q_1(22)$
3/2-	726	530	512 \downarrow 79%, 510 $\uparrow + Q_1(22)$
5/2-	366	650	512 \uparrow 94%, 624 $\uparrow + Q_1(32)$
1/2-	385	830	521 \downarrow 88%, 521 $\uparrow + Q_1(22)$
7/2+	954	850	633 \uparrow 93%, 651 $\uparrow + Q_1(22)$
9/2+		900	624 $\uparrow + Q_1(20)$ 100%
11/2+		1010	503 $\uparrow + Q_1(32)$
5/2+		1100	624 $\uparrow + Q_1(22)$
13/2+		1150	624 $\uparrow + Q_1(22)$ 100%
5/2-		1170	512 \uparrow 3%, 624 $\uparrow + Q_1(32)$
7/2-		1210	503 \uparrow 2%, 514 $\downarrow + Q_1(20)$
3/2+		1300	651 \uparrow 1%, 514 $\downarrow + Q_1(32)$
11/2-		1290	514 $\downarrow + Q_1(22)$ 100%
11/2+		1300	514 $\downarrow + Q_1(32)$ 100%
3/2-		1310	512 \downarrow 1%, 514 $\downarrow + Q_1(22)$
5/2-		1380	523 \downarrow 2%, 512 $\uparrow + Q_1(20)$
3/2+		1380	651 \uparrow 44%, 633 $\uparrow + Q_1(22)$
5/2+		1390	642 \uparrow 74%, 624 $\uparrow + Q_1(22)$
11/2-		1420	624 $\uparrow + Q_1(31)$ 100%
7/2-		1420	624 $\uparrow + Q_1(31)$ 100%
9/2-		1490	512 $\uparrow + Q_1(22)$ 100%
23/2-		1500	624 \uparrow p514 $\uparrow p402 \uparrow$ 100%
3/2-		1570	501 \uparrow 30%, 503 $\uparrow + Q_1(22)$
			32%, 512 $\downarrow + Q_1(20)$ 31%

Таблица 6.29

Ядро ^{183}W

K^π	Энергия, кэв		Структура
	эксперимент	теория	
1/2 ⁻	0	0	510 \uparrow 95%, 512 $\downarrow + Q_1$ (22) 4%
3/2 ⁻	209	190	512 \downarrow 92%, 501 \uparrow 0,2%, 510 $\uparrow + Q_1$ (22) 7%
11/2 ⁺	310	500	615 \uparrow 98%, 503 $\uparrow + Q_1$ (32) 1%
7/2 ⁻	453	580	503 \uparrow 95%, 501 $\uparrow + Q_1$ (22) 3%
9/2 ⁺	623	600	624 \uparrow 98%, 512 $\uparrow + Q_1$ (32) 1%
7/2 ⁻	1072	1110	514 \uparrow 99%
5/2 ⁻	905	1160	512 \uparrow 67%, 624 $\uparrow + Q_1$ (32) 19%, 510 $\uparrow + Q_1$ (22) 12%
1/2 ⁻		1390	521 \downarrow 2%, 510 $\uparrow + Q_1$ (20) 97%
5/2 ⁺		1420	642 \uparrow 2%, 624 $\uparrow + Q_1$ (22) 98%
13/2 ⁺		1430	624 $\uparrow + Q_1$ (22) 100%
5/2 ⁻		1450	512 \uparrow 2%, 510 $\uparrow + Q_1$ (22) 80%, 624 $\uparrow + Q_1$ (32) 18%
9/2 ⁻		1490	505 \downarrow 98%, 503 $\downarrow + Q_1$ (22) 2%
3/2 ⁻		1490	512 \downarrow 4%, 510 $\uparrow + Q_1$ (22) 93%
3/2 ⁺		1500	510 $\uparrow + Q_1$ (32) 100%
5/2 ⁺		1500	510 $\uparrow + Q_1$ (32) 100%
15/2 ⁺		1500	n 510 $\uparrow p514 \uparrow p402 \uparrow$ 100%
3/2 ⁻		1520	501 \uparrow 10%, 512 $\downarrow + Q_1$ (20) 80%, 503 $\uparrow + Q_1$ (22) 8%
7/2 ⁺		1530	633 \uparrow 97%, 651 $\uparrow + Q_1$ (22) 2%
5/2 ⁻		1580	512 \uparrow 28%, 624 $\uparrow + Q_1$ (32) 63%, 510 $\uparrow + Q_1$ (22) 8%
1/2 ⁻		1670	521 \downarrow 90%, 510 $\uparrow + Q_1$ (20) 3%, 521 $\uparrow + Q_1$ (22) 2%
1/2 ⁻		1700	510 \uparrow 4%, 512 $\downarrow + Q_1$ (22) 96%
17/2 ⁺		1700	n 512 $\downarrow p514 \uparrow p402 \uparrow$ 100%
3/2 ⁻		1760	501 \uparrow 19%, 503 $\uparrow + Q_1$ (22) 62%, 512 $\downarrow + Q_1$ (20) 18%

Таблица 6.30

Ядро ^{185}W

K^π	Энергия, кэв		Структура
	эксперимент	теория	
3/2 ⁻	0	0	512 \downarrow 99%
1/2 ⁻	24	20	510 \uparrow 99%
7/2 ⁻	244	110	503 \uparrow 99%
11/2 ⁺	198	130	615 \uparrow 99%
9/2 ⁺	716	720	624 \uparrow 98%, 512 $\uparrow + Q_1$ (32) 1%
9/2 ⁻	789	730	505 \downarrow 100%
1/2 ⁻		1010	521 \downarrow 3%, 510 $\uparrow + Q_1$ (20) 97%
5/2 ⁻		1030	510 $\uparrow + Q_1$ (22) 100%
3/2 ⁻		1030	510 $\uparrow + Q_1$ (22) 100%
3/2 ⁻		1040	501 \uparrow 6%, 512 $\downarrow + Q_1$ (20) 92%, 503 $\uparrow + Q_1$ (22) 1%
7/2 ⁻		1080	514 \downarrow 1%, 512 $\downarrow + Q_1$ (22) 99%
1/2 ⁻		1080	512 $\downarrow + Q_1$ (22) 100%

Продолжение табл. 6.30

K^{π}	Энергия, кэВ		Структура
	эксперимент	теория	
7/2-	1058	1180	514 ↓ 9%, 503 ↑ + Q_1 (20) 91%
		1190	501 ↑ 1%, 503 ↑ + Q_1 (22) 98%, 512 ↓ + Q_1 (20) 1%
		1190	615 ↑ + Q_1 (22) 100%
		1300	510 ↑ + Q_1 (32) 100%
		1310	510 ↑ + Q_1 (32) 100%
		1330	514 ↓ 90%, 503 ↑ + Q_1 (20) 9%
		1360	512 ↓ + Q_1 (32) 100%
		1370	512 ↓ + Q_1 (32) 100%
		1490	512 ↑ 75%, 624 ↑ + Q_1 (32) 23%
		1500	n 512 ↓ p 514 ↑ p 402 ↑ 100%
17/2+	888	1500	510 ↑ p 514 ↑ p 402 ↑ 100%
		1500	521 ↓ 1%, 510 ↑ + Q_1 (20) 99%
		1510	633 ↑ 99%
		1580	633 ↑ 99%
		1600	n 615 ↑ p 514 ↑ p 402 ↑ 100%
25/2-	1740	521 ↓ 93%, 510 ↑ + Q_1 (20) 3%, 541 ↓ + Q_1 (20) 2%	

Таблица 6.31

Ядро ^{183}Os

K^{π}	Энергия, кэВ		Структура
	эксперимент	теория	
9/2+	171	0	624 ↑ 98%
		140	510 ↑ 85%, 512 ↓ + Q_1 (22) 15%
		380	512 ↓ 82%, 510 ↑ + Q_1 (22) 15%
		410	503 ↑ 89%, 501 ↑ + Q_1 (22) 8%, 615 ↑ + Q_1 (32) 2%
		470	514 ↓ 99%
		580	633 ↑ 95%, 651 ↑ + Q_1 (22) 4%
		590	521 ↓ 90%, 521 ↑ + Q_1 (22) 4%, 523 ↓ + Q_1 (22) 3%
		630	512 ↑ 95%, 521 ↓ + Q_1 (22) 2%, 624 ↑ + Q_1 (32) 1%
		740	615 ↑ 97%, 503 ↑ + Q_1 (32) 1%, 624 ↑ + Q_1 (22) 1%
		890	642 ↑ 50%, 624 ↑ + Q_1 (22) 44%, 660 ↑ + Q_1 (22) 5%
11/2+	13/2+	990	624 ↑ + Q_1 (22) 100%
		1000	514 ↓ + Q_1 (20) 100%
		1020	651 ↑ 60%, 633 ↑ + Q_1 (22) 29%, 660 ↑ + Q_1 (22) 10%
		1100	642 ↑ 38%, 624 ↑ + Q_1 (22) 56%, 660 ↑ + Q_1 (22) 6%
		1160	501 ↑ 28%, 503 ↑ + Q_1 (22) 41%, 512 ↓ + Q_1 (20) 25%
		1170	523 ↓ 2%, 512 ↑ + Q_1 (20) 97%
		1170	660 ↑ 71%, 642 ↑ + Q_1 (22) 18%, 651 ↑ + Q_1 (22) 10%
		1600	n 624 ↑ p 402 ↑ p 541 ↓ 100%

Таблица 6.32

Ядро ^{185}Os

K^π	Энергия, кэв		Структура	
	эксперимент	теория		
1/2-	0	0	510 \uparrow 92%, 512 $\downarrow + Q_1(22)$	7%
3/2-	128	130	512 \downarrow 87%, 510 $\uparrow + Q_1(22)$	12%
7/2-		210	503 \uparrow 93%, 501 $\uparrow + Q_1(22)$	5%
9/2+		390	624 \uparrow 99%	
11/2+		420	615 \uparrow 99%	
3/2-		870	501 \uparrow 27%, 512 \downarrow 1%, 503 $\uparrow + Q_1(22)$	64%, 512 $\downarrow + Q_1(20)$ 5%
9/2-		960	505 \downarrow 97%, 503 $\downarrow + Q_1(22)$	3%
7/2-		970	514 \downarrow 99%, 512 $\downarrow + Q_1(22)$	1%
5/2-		1060	512 \uparrow 48%, 510 $\uparrow + Q_1(22)$	50%
5/2+		1100	642 \uparrow 6%, 624 $\uparrow + Q_1(22)$	94%
7/2+		1110	633 \uparrow 96%, 651 $\uparrow + Q_1(22)$	4%
13/2+		1130	624 $\uparrow + Q_1(22)$	100%
1/2-		1160	521 \downarrow 85%, 510 $\uparrow + Q_1(20)$	8%, 521 $\uparrow + Q_1(22)$ 3%
3/2-		1229	512 \downarrow 6%, 510 $\uparrow + Q_1(22)$	88%, 503 $\uparrow + Q_1(22)$ 2%

Таблица 6.33

Ядро ^{153}Eu

K^π	Энергия, кэв		Структура	
	эксперимент	теория		
5/2+	0	0	413 \downarrow 96%, 411 $\downarrow + Q_1(22)$	2%
3/2+	103	-20	411 \uparrow 89%, 411 $\downarrow + Q_1(22)$	5%, 523 $\uparrow + Q_1(32)$ 3%
5/2-	97	20	532 \uparrow 94%, 420 $\uparrow + Q_1(32)$	1%
7/2-	—	550	523 \uparrow 86%, 411 $\uparrow + Q_1(32)$	10%
1/2+	—	670	411 \uparrow 48%, 411 $\uparrow + Q_1(22)$	26%, 413 $\downarrow + Q_1(22)$ 23%
3/2-	—	820	541 \uparrow 86%, 550 $\uparrow + Q_1(22)$	5%, 420 $\uparrow + Q_1(31)$ 2%
5/2-	—	860	532 $\uparrow + Q_1(20)$	100%
5/2+	—	900	413 $\downarrow + Q_1(20)$	100%
1/2+	—	920	420 \uparrow 75%, 532 $\uparrow + Q_1(32)$	8%, 550 $\uparrow + Q_1(30)$ 5%, 422 $\downarrow + Q_1(22)$ 4%
1/2-	—	1000	550 \uparrow 42%, 532 $\uparrow + Q_1(22)$	39%, 541 $\uparrow + Q_1(22)$ 8%, 420 $\uparrow + Q_1(30)$ 6%
3/2+	—	1150	411 $\uparrow + Q_1(20)$	100%
9/2-	—	1230	514 \uparrow 3%, 532 $\uparrow + Q_1(22)$	97%
9/2+	—	1300	413 $\downarrow + Q_1(22)$	100%
1/2+	—	1380	413 $\downarrow + Q_1(22)$	67%, 411 $\uparrow + Q_1(22)$ 31%
1/2-	—	1400	550 \uparrow 19%, 532 $\uparrow + Q_1(22)$	59%, 541 $\uparrow + Q_1(22)$ 11%, 420 $\uparrow + Q_1(30)$ 9%
3/2-	—	1400	411 $\uparrow + Q_1(30)$	100%
3/2-	—	1510	422 \downarrow 50%, 420 $\uparrow + Q_1(22)$	26%, 541 $\uparrow + Q_1(30)$ 16%, 532 $\uparrow + Q_1(31)$ 5%
7/2+	—	1520	411 $\uparrow + Q_1(22)$	94%, 532 $\uparrow + Q_1(31)$ 5%

Таблица 6.34

Ядро ^{155}Eu

K^π	Энергия, кэв		Структура	
	эксперимент	теория		
5/2 ⁺	0	0	413 \downarrow 97%, 411 $\downarrow + Q_1(22)$	2%
3/2 ⁺	246	34	411 \uparrow 92%, 411 $\downarrow + Q_1(22)$	3%
5/2 ⁺	104	36	532 \uparrow 96%, 420 $\uparrow + Q_1(32)$	1%
7/2 ⁻	614	610	523 \uparrow 90%, 411 $\uparrow + Q_1(32)$	7%
3/2 ⁻	1095	880	541 \uparrow 88%, 550 $\uparrow + Q_1(22)$	3%
1/2 ⁺	765	890	411 \downarrow 58%, 411 $\uparrow + Q_1(22)$	22%, 413 $\downarrow + Q_1(22)$ 17%
1/2 ⁺		990	420 \uparrow 79%, 550 $\uparrow + Q_1(30)$	6%, 532 $\uparrow + Q_1(32)$ 5%
5/2 ⁺		1030	402 \uparrow 2%, 532 $\uparrow + Q_1(30)$	98%
5/2 ⁻		1070	413 $\downarrow + Q_1(30)$	100%
1/2 ⁻		1160	550 \uparrow 56%, 532 $\uparrow + Q_1(22)$	18%, 420 $\uparrow + Q_1(30)$ 15%
5/2 ⁻		1230	532 $\uparrow + Q_1(20)$	100%
5/2 ⁺		1270	413 $\downarrow + Q_1(20)$	100%
3/2 ⁻		1330	413 $\downarrow + Q_1(31)$	100%
3/2 ⁻		1340	411 $\uparrow + Q_1(30)$	100%
3/2 ⁺		1520	411 $\uparrow + Q_1(20)$	100%
1/2 ⁻		1530	532 $\uparrow + Q_1(22)$	98%
9/2 ⁻		1540	514 \uparrow 4%, 532 $\uparrow + Q_1(22)$	95%

Таблица 6.35

Ядро ^{155}Tb

K^π	Энергия, кэв		Структура	
	эксперимент	теория		
3/2 ⁺	0	0	411 \uparrow 92%, 411 $\downarrow + Q_1(22)$	4%
7/2 ⁻	545	341	523 \uparrow 94%, 411 $\uparrow + Q_1(32)$	2%
5/2 ⁺	271	390	413 \uparrow 96%, 411 $\downarrow + Q_1(22)$	2%
5/2 ⁻	227	530	532 \uparrow 93%, 550 $\uparrow + Q_1(22)$	2%
1/2 ⁺	—	610	411 \downarrow 60%, 411 $\uparrow + Q_1(22)$	20%, 413 $\downarrow + Q_1(22)$ 8%
3/2 ⁺	—	1000	411 $\uparrow + Q_1(20)$	100%
5/2 ⁺	—	1100	413 $\downarrow + Q_1(20)$	100%
7/2 ⁺	—	1280	413 \uparrow 1%, 411 $\uparrow + Q_1(22)$	98%
1/2 ⁻	—	1300	550 \uparrow 18%, 532 $\uparrow + Q_1(22)$	76%, 541 $\uparrow + Q_1(22)$ 3%
1/2 ⁺	—	1310	420 \uparrow 6%, 411 $\uparrow + Q_1(22)$	80%
1/2 ⁺	—	1330	413 $\downarrow + Q_1(22)$	100%
9/2 ⁺	—	1330	413 $\downarrow + Q_1(22)$	100%
3/2 ⁻	—	1350	541 \uparrow 52%, 411 $\uparrow + Q_1(30)$	35%, 550 $\uparrow + Q_1(22)$ 3%
5/2 ⁺	—	1420	402 \uparrow 73%, 523 $\uparrow + Q_1(31)$	9%, 660 $\uparrow + Q_1(22)$ 6%, 532 $\uparrow + Q_1(30)$ 5%
9/2 ⁻	—	1460	514 \uparrow 7%, 532 $\uparrow + Q_1(22)$	92%
3/2 ⁻	—	1650	541 \uparrow 6%, 523 $\uparrow + Q_1(22)$	56%, 411 $\uparrow + Q_1(30)$ 34%
7/2 ⁺	—	1680	404 \downarrow 68%, 523 $\uparrow + Q_1(30)$	28%, 651 $\uparrow + Q_1(22)$ 3%

Таблица 6.36

Ядро ^{157}Tb

K^π	Энергия, кэв		Структура
	эксперимент	теория	
3/2 ⁺	0	0	411 \uparrow 93%, 411 $\downarrow + Q_1(22)$ 4%
7/2 ⁻	572	360	523 \uparrow 95%, 411 $\uparrow + Q_1(32)$ 2%
5/2 ⁺	328	380	413 \downarrow 96%, 411 $\downarrow + Q_1(22)$ 2%
5/2 ⁻	326	530	532 \uparrow 94%, 550 $\uparrow + Q_1(22)$ 2%
1/2 ⁺	598	640	411 \downarrow 64%, 411 $\uparrow + Q_1(22)$ 26%, 413 $\downarrow + Q_1(22)$ 7%
3/2 ⁺	993	1300	411 $\uparrow + Q_1(20)$ 100%
3/2 ⁻		1370	541 \uparrow 48%, 411 $\uparrow + Q_1(30)$ 39%
5/2 ⁺		1390	402 \uparrow 49%, 413 $\downarrow + Q_1(20)$ 32%, 523 $\uparrow + Q_1(31)$ 10%
7/2 ⁺		1400	411 $\uparrow + Q_1(22)$ 97%
1/2 ⁻		1410	550 \uparrow 21%, 532 $\uparrow + Q_1(22)$ 72%, 541 $\uparrow + Q_1(22)$ 3%
1/2 ⁺		1425	420 \uparrow 14%, 411 $\uparrow + Q_1(22)$ 72%, 532 $\uparrow + Q_1(32)$ 2%
5/2 ⁺		1450	402 \uparrow 21%, 413 $\downarrow + Q_1(20)$ 68%, 523 $\uparrow + Q_1(31)$ 5%
9/2 ⁺		1460	413 $\downarrow + Q_1(22)$ 100%

Таблица 6.37

Ядро ^{159}Tb

K^π	Энергия, кэв		Структура
	эксперимент	теория	
3/2 ⁺	0	0	411 \uparrow 93%, 411 $\downarrow + Q_1(22)$ 4%
5/2 ⁺	348	370	413 \downarrow 96%
7/2 ⁻		380	523 \downarrow 96%, 411 $\uparrow + Q_1(32)$ 2%
5/2 ⁻	364	570	532 \uparrow 93%, 413 $\downarrow + Q_1(30)$ 2%, 550 $\uparrow + Q_1(22)$ 2%
1/2 ⁺	581	650	411 \downarrow 64%, 411 $\uparrow + Q_1(22)$ 27%, 413 $\downarrow + Q_1(22)$ 7%
3/2 ⁻		1170	541 \uparrow 17%, 411 $\uparrow + Q_1(30)$ 80%
1/2 ⁺		1350	420 \uparrow 12%, 413 $\downarrow + Q_1(22)$ 63%, 411 $\uparrow + Q_1(22)$ 19%
5/2 ⁺		1360	402 \uparrow 29%, 532 $\uparrow + Q_1(30)$ 64%, 660 $\uparrow + Q_1(22)$ 2%
1/2 ⁻		1390	550 \uparrow 26%, 532 $\uparrow + Q_1(22)$ 65%, 541 $\uparrow + Q_1(22)$ 4%
7/2 ⁺		1420	411 $\uparrow + Q_1(22)$ 97%
9/2 ⁺		1470	413 $\downarrow + Q_1(22)$ 100%
3/2 ⁺		1480	411 $\uparrow + Q_1(20)$ 100%
3/2 ⁻		1580	541 \uparrow 35%, 413 $\downarrow + Q_1(31)$ 44%, 411 $\uparrow + Q_1(30)$ 12%
1/2 ⁺		1650	411 \downarrow 30%, 411 $\uparrow + Q_1(22)$ 52%, 413 $\downarrow + Q_1(22)$ 14%
15/2 ⁺		1860	p523 \uparrow n521 \uparrow n642 \uparrow

Таблица 6.38

Ядро ^{161}Tb

$K\pi$	Энергия, кэв		Структура
	эксперимент	теория	
3/2 ⁺	0	0	$411 \uparrow 93\%$, $411 \downarrow + Q_1(22)$ 5%
5/2 ⁺	315	360	$413 \downarrow 97\%$, $411 \downarrow + Q_1(22)$ 2%
7/2 ⁻	417	390	$523 \uparrow 97\%$, $411 \uparrow + Q_1(32)$ 1%
1/2 ⁺	—	590	$411 \downarrow 54\%$, $411 \uparrow + Q_1(22)$ 35%, $413 \downarrow + Q_1(22)$ 10%
5/2 ⁻	480	600	$532 \uparrow 96\%$, $550 \uparrow + Q_1(22)$ 2%
7/2 ⁺	—	1180	$411 \uparrow + Q_1(22)$ 99%
1/2 ⁺	—	1220	$413 \downarrow + Q_1(22)$ 58%, $411 \uparrow + Q_1(22)$ 42%
9/2 ⁺	—	1230	$413 \downarrow + Q_1(22)$ 100%
1/2 ⁻	—	1250	$550 \uparrow 12\%$, $532 \uparrow + Q_1(22)$ 85%, $541 \uparrow + Q_1(22)$ 2%
9/2 ⁻	—	1370	$514 \uparrow 4\%$, $532 \uparrow + Q_1(22)$ 96%
3/2 ⁻	—	1420	$541 \uparrow 16\%$, $411 \uparrow + Q_1(30)$ 78%, $523 \uparrow + Q_1(22)$ 4%
5/2 ⁺	—	1530	$402 \uparrow 65\%$, $413 \downarrow + Q_1(20)$ 12%, $532 \uparrow + Q_1(30)$ 11%
3/2 ⁺	—	1550	$411 \uparrow + Q_1(20)$ 100%
5/2 ⁺	—	1560	$413 \downarrow + Q_1(20)$ 100%
15/2 ⁻	—	1680	$p412 \downarrow n642 \uparrow n523 \downarrow$ 100%
17/2 ⁺	—	1730	$p523 \uparrow n642 \downarrow n523 \downarrow$ 100%

Таблица 6.39

Ядро ^{159}Ho

$K\pi$	Энергия, кэв		Структура
	эксперимент	теория	
7/2 ⁻	0	0	$523 \uparrow 97\%$
3/2 ⁺	—	250	$411 \uparrow 94\%$
1/2 ⁺	206	380	$411 \downarrow 88\%$, $411 \uparrow + Q_1(22)$ 9%
5/2 ⁺	—	700	$402 \uparrow 56\%$, $413 \downarrow 28\%$, $660 \uparrow + Q_1(22)$ 8%, $411 \uparrow + Q_1(22)$ 3%
5/2 ⁺	650	730	$413 \downarrow 69\%$, $402 \uparrow 23\%$, $532 \uparrow + Q_1(30)$ 5%
5/2 ⁻	624	900	$532 \uparrow 90\%$, $550 \uparrow + Q_1(22)$ 3%, $413 \downarrow + Q_1(30)$ 3%
7/2 ⁺	—	700	$404 \downarrow 97\%$, $651 \uparrow + Q_1(22)$ 2%
7/2 ⁺	—	1050	$413 \uparrow 2\%$, $411 \uparrow + Q_1(22)$ 97%
3/2 ⁻	—	1100	$541 \uparrow 5\%$, $523 \uparrow + Q_1(22)$ 93%
11/2 ⁻	—	1130	$523 \uparrow + Q_1(22)$ 100%
1/2 ⁺	—	1140	$420 \uparrow 1\%$, $411 \uparrow + Q_1(22)$ 91%
9/2 ⁻	—	1145	$514 \uparrow 92\%$, $402 \uparrow + Q_1(32)$ 4%
3/2 ⁺	—	1190	$411 \uparrow + Q_1(20)$ 100%
1/2 ⁻	—	980	$541 \downarrow 96\%$, $411 \downarrow + Q_1(30)$ 2%
9/2 ⁺	—	1390	$413 \downarrow + Q_1(22)$ 100%
3/2 ⁻	—	1420	$411 \uparrow + Q_1(30)$ 87%
1/2 ⁻	—	1470	$532 \uparrow + Q_1(22)$ 81%, $541 \uparrow + Q_1(22)$ 2%

Таблица 6.40

Ядро ^{161}Ho

$K\pi$	Энергия, кэв		Структура		
	эксперимент	теория			
7/2-	0	0	523 \uparrow 97%		
3/2+	299	260	411 \uparrow 94%, 411 \downarrow 88%	411 $\downarrow + Q_1(22)$	3%
1/2+	211	380	411 \uparrow 90%	411 $\uparrow + Q_1(22)$	9%
5/2+	—	700	402 \uparrow 79%, 413 \downarrow 2%, 660 $\uparrow + Q_1(22)$	660 $\uparrow + Q_1(22)$	8%
5/2+	760	740	413 \downarrow 96%, 402 \uparrow 2%		
5/2-	827	950	532 \uparrow 89%	411 $\uparrow + Q_1(31)$	5%, 550 $\uparrow + Q_1(22)$ 3%
7/2+	253	800	404 \downarrow 98%	651 $\uparrow + Q_1(22)$	1%
1/2-	424	1000	541 \downarrow 90%	411 $\uparrow + Q_1(32)$	8%
7/2+	—	1070	413 \uparrow 2%	411 $\uparrow + Q_1(22)$	98%
9/2-	—	1110	514 \uparrow 89%	402 $\uparrow + Q_1(32)$	7%
3/2-	—	1140	541 \uparrow 3%	523 $\uparrow + Q_1(22)$	96%
1/2+	—	1150	420 \uparrow 2%	411 $\uparrow + Q_1(22)$	98%
11/2-	—	1160		523 $\uparrow + Q_1(22)$	100%
1/2+	—	1400	660 \uparrow 32%	402 $\uparrow + Q_1(22)$	58%, 651 $\uparrow + Q_1(22)$ 5%
9/2+	—	1415		413 $\downarrow + Q_1(22)$	100%
3/2+	—	1420	402 \downarrow 3%	523 $\uparrow + Q_1(32)$	96%
1/2-	—	1460	550 \uparrow 2%	411 $\uparrow + Q_1(32)$	82%, 532 $\uparrow + Q_1(22)$ 10%
3/2+	—	1465		411 $\uparrow + Q_1(20)$	100%

Таблица 6.41

Ядро ^{163}Ho

$K\pi$	Энергия, кэв		Структура		
	эксперимент	теория			
7/2-	0	0	523 \uparrow 98%		
3/2+	—	240	411 \uparrow 95%, 411 $\downarrow + Q_1(22)$	2%	
1/2+	298	390	411 \downarrow 91%, 411 $\uparrow + Q_1(22)$	8%	
5/2-	—	950	532 \uparrow 91%, 550 $\uparrow + Q_1(22)$	3%	
5/2+	—	1000	413 \downarrow 97%		
7/2+	—	1010	413 \uparrow 1%, 411 $\uparrow + Q_1(22)$	99%	
3/2-	—	1015	541 \uparrow 4%, 523 $\uparrow + Q_1(22)$	95%	
11/2-	—	1040	523 $\uparrow + Q_1(22)$	100%	
1/2+	—	1120	411 \downarrow 8%, 411 $\uparrow + Q_1(22)$	92%	
9/2-	—	1180	514 \uparrow 95%, 402 $\uparrow + Q_1(32)$	2%	
7/2+	440	900	404 \downarrow 97%, 523 $\uparrow + Q_1(30)$	2%	
3/2+	—	1300	411 $\uparrow + Q_1(20)$	100%	
1/2-	—	1320	550 \uparrow 1%, 411 $\uparrow + Q_1(32)$	95%	
1/2-	—	1400	550 \uparrow 16%, 532 $\uparrow + Q_1(22)$	75%, 411 $\uparrow + Q_1(32)$ 4%	
5/2+	—	1415	402 \downarrow 34%, 411 $\downarrow + Q_1(22)$	58%, 523 $\uparrow + Q_1(31)$ 2%	
17/2+	—	1570	$p523 \uparrow n642 \uparrow n523 \downarrow 100%$		
3/2-	—	1410	541 \uparrow 7%, 411 $\uparrow + Q_1(30)$	90%	

Таблица 6.42

Ядро ^{165}Ho

K^π	Энергия, кэВ		Структура
	эксперимент	теория	
7/2-	0	0	523 \uparrow 98%
3/2+	360	230	411 \uparrow 94%, 411 $\downarrow + Q_1(22)$ 3%
1/2+	429	370	411 \uparrow 88%, 411 $\uparrow + Q_1(22)$ 10%
7/2+	715	890	404 \downarrow 97%, 523 $\uparrow + Q_1(30)$ 2%
3/2-		900	541 \uparrow 4%, 523 $\uparrow + Q_1(22)$ 95%
5/2-	1056	910	532 \uparrow 90%, 550 $\uparrow + Q_1(22)$ 3%, 420 $\uparrow + Q_1(32)$ 3%
11/2-	689	920	523 $\uparrow + Q_1(22)$ 100%
1/2+		940	411 $\uparrow + Q_1(22)$ 100%
5/2+	995	1000	413 \downarrow 96%, 532 $\uparrow + Q_1(30)$ 2%
1/2+(1037)	1010		411 \downarrow 10%, 411 $\uparrow + Q_1(22)$ 90%
9/2-		1130	514 \uparrow 93%, 402 $\uparrow + Q_1(32)$ 4%
3/2+		1140	523 $\uparrow + Q_1(32)$ 100%
1/2-		1150	411 $\uparrow + Q_1(32)$ 99%
1/2-		1280	550 \uparrow 16%, 532 $\uparrow + Q_1(22)$ 76%, 411 $\uparrow + Q_1(32)$ 3%
5/2+		1310	402 \uparrow 27%, 411 $\downarrow + Q_1(22)$ 67%, 514 $\uparrow + Q_1(32)$ 4%
9/2+		1400	413 $\downarrow + Q_1(22)$ 100%
3/2-		1450	541 \uparrow 27%, 411 $\uparrow + Q_1(30)$ 66%, 523 $\uparrow + Q_1(22)$ 3%
5/2+		1520	402 \uparrow 49%, 411 $\downarrow + Q_1(22)$ 34%, 514 $\uparrow + Q_1(32)$ 10%

Таблица 6.43

Ядро ^{165}Tm

K^π	Энергия, кэВ		Структура
	эксперимент	теория	
1/2+	0	0	411 \downarrow 96%
7/2-	149	300	523 \uparrow 94%, 411 $\uparrow + Q_1(32)$ 3%
9/2-	—	550	514 \uparrow 94%, 402 $\uparrow + Q_1(32)$ 3%
7/2+	69	450	404 \downarrow 98%
3/2+	—	660	411 \uparrow 84%, 523 $\uparrow + Q_1(32)$ 7%, 411 $\downarrow + Q_1(22)$ 6%
5/2+	—	990	402 \uparrow 42%, 413 \downarrow 2%, 411 $\downarrow + Q_1(22)$ 49%, 514 $\uparrow + Q_1(32)$ 3%
3/2-	—	1010	541 \uparrow 3%, 523 $\uparrow + Q_1(22)$ 96%
11/2-	—	1060	523 $\uparrow + Q_1(22)$ 100%
3/2+	—	1100	411 $\uparrow + Q_1(22)$ 94%
5/2+	—	1100	402 \uparrow 44%, 413 \downarrow 3%, 411 $\downarrow + Q_1(22)$ 46%, 514 $\uparrow + Q_1(32)$ 3%
7/2+	—	1250	413 \uparrow 1%, 411 $\uparrow + Q_1(22)$ 98%
1/2+	—	1320	411 $\uparrow + Q_1(22)$ 100%
1/2-	—	980	541 \downarrow 96%, 411 $\downarrow + Q_1(30)$ 2%
5/2-	—	1400	411 $\uparrow + Q_1(31)$ 14%, 411 $\downarrow + Q_1(32)$ 3%
3/2+	—	1470	404 $\downarrow + Q_1(22)$ 86%, 523 $\uparrow + Q_1(32)$ 2%
17/2+	—	1960	$p523 \uparrow n642 \uparrow n523 \downarrow$ 100%

Таблица 6.44

Ядро ^{167}Tm

$K\pi$	Энергия, кэв		Структура
	эксперимент	теория	
1/2 ⁺	0	0	411 ↓ 97%
7/2 ⁻	293	360	523 ↑ 96%, 411 ↑ + Q_1 (32) 2%
9/2 ⁻	—	560	514 ↑ 96%, 402 ↑ + Q_1 (32) 2%
7/2 ⁺	179	370	404 ↓ 97%, 651 ↑ + Q_1 (22) 2%
3/2 ⁺	471	670	411 ↓ 82%, 411 ↓ + Q_1 (22) 11%, 523 ↑ + Q_1 (32) 4%
5/2 ⁺	—	820	402 ↑ 12%, 413 ↓ 3%, 411 ↓ + Q_1 (22) 84%
3/2 ⁻	—	900	541 ↑ 3%, 523 ↑ + Q_1 (22) 97%
11/2 ⁻	—	940	523 ↑ + Q_1 (22) 100%
3/2 ⁺	—	990	411 ↑ 10%, 411 ↓ + Q_1 (22) 89%
5/2 ⁺	—	1000	402 ↑ 74%, 411 ↑ + Q_1 (22) 13%, 660 ↑ + Q_1 (22) 4%
7/2 ⁺	—	1140	413 ↑ 1%, 411 ↑ + Q_1 (22) 98%
1/2 ⁺	—	1200	411 ↑ + Q_1 (22) 100%
1/2 ⁻	—	950	541 ↓ 96%, 411 ↓ + Q_1 (30) 3%
5/2 ⁻	1527	1510	532 ↑ 81%, 514 ↑ + Q_1 (22) 6%, 411 ↓ + Q_1 (32) 5%
5/2 ⁺	1581	1620	413 ↓ 94%, 411 ↓ + Q_1 (22) 3%
19/2 ⁺	—	2110	p523 ↑ n523 ↓ n633 ↑ 100%

Таблица 6.45

Ядро ^{169}Tm

$K\pi$	Энергия, кэв		Структура
	эксперимент	теория	
1/2 ⁺	0	0	411 ↓ 96%
7/2 ⁻	379	360	523 ↑ 95%, 411 ↑ + Q_1 (32) 2%
7/2 ⁺	316	370	404 ↓ 98%
9/2 ⁻	—	530	514 ↑ 95%, 402 ↑ + Q_1 (32) 3%
3/2 ⁺	571	630	411 ↑ 84%, 411 ↓ + Q_1 (22) 8%, 523 ↑ + Q_1 (32) 4%
5/2 ⁺	—	810	402 ↑ 51%, 413 ↓ 2%, 411 ↓ + Q_1 (22) 30%, 660 ↑ + Q_1 (22) 4%
1/2 ⁻	—	900	541 ↓ 90%, 411 ↓ + Q_1 (30) 5%
3/2 ⁻	—	950	541 ↑ 5%, 523 ↑ + Q_1 (22) 94%
5/2 ⁺	—	1000	402 ↑ 33%, 413 ↓ 4%, 411 ↓ + Q_1 (22) 56%, 660 ↑ + Q_1 (22) 2%
11/2 ⁻	—	1020	523 ↑ + Q_1 (22) 100%
3/2 ⁺	—	1080	411 ↑ 7%, 411 ↓ + Q_1 (22) 92%
7/2 ⁺	—	1190	413 ↑ 2%, 411 ↑ + Q_1 (22) 97%
1/2 ⁺	—	1280	411 ↑ + Q_1 (22) 100%
3/2 ⁺	—	1350	651 ↑ 14%, 404 ↓ + Q_1 (22) 83%
1/2 ⁻	—	1400	660 ↑ 19%, 411 ↓ + Q_1 (20) 42%, 402 ↑ + Q_1 (22) 33%
5/2 ⁻	—	1470	532 ↑ 85%, 550 ↑ + Q_1 (22) 5%, 413 ↓ + Q_1 (30) 4%

Таблица 6.46
Ядро ^{171}Tm

$K\pi$	Энергия, кэВ		Структура
	эксперимент	теория	
1/2+	0	0	411 ↓ 97%
7/2-	425	360	523 ↑ 97%
9/2-	—	550	514 ↑ 97%
7/2+	635	430	404 ↓ 98%, 651 ↑ + Q_1 (22) 1%
3/2+	676	680	411 ↑ 88%, 411 ↓ + Q_1 (22) 7%
5/2+	913	930	402 ↑ 70%, 411 ↓ + Q_1 (22) 18%, 660 ↑ + Q_1 (22) 4%
3/2-	—	1015	541 ↑ 4%, 523 ↑ + Q_1 (22) 95%
1/2+	—	1040	411 ↓ + Q_1 (20) 100%
11/2-	—	1070	523 ↑ + Q_1 (22) 100%
5/2+	—	1090	402 ↑ 16%, 413 ↓ 6%, 411 ↓ + Q_1 (22) 75%
3/2+	—	1100	411 ↓ + Q_1 (22) 93%
7/2+	—	1250	413 ↑ 2%, 411 ↑ + Q_1 (22) 98%
1/2-	—	940	541 ↓ 94%, 411 ↓ + Q_1 (30) 4%
1/2-	—	1460	411 ↓ + Q_1 (34) 100%
9/2+	—	1440	523 ↑ + Q_1 (31) 100%
5/2+	—	1445	523 ↑ + Q_1 (31) 100%
5/2-	—	1500	532 ↑ 84%, 411 ↑ + Q_1 (31) 8%, 550 ↑ + Q_1 (22) 4%
5/2+	—	1530	413 ↓ 26%, 411 ↓ + Q_2 (22) 70%
5/2+	—	1640	413 ↓ 63%, 411 ↓ + Q_2 (22) 29%

Таблица 6.47
Ядро ^{169}Lu

$K\pi$	Энергия, кэВ		Структура
	эксперимент	теория	
7/2+	0	0	404 ↓ 97%, 402 ↓ + Q_1 (22) 2%
9/2-	—	60	514 ↑ 96%, 402 ↑ + Q_1 (32) 1%
1/2+	—	220	411 ↓ 90%, 411 ↓ + Q_1 (22) 6%
5/2+	—	540	402 ↑ 87%, 514 ↑ + Q_1 (32) 4%, 660 ↑ + Q_1 (22) 4%
3/2+	—	730	411 ↑ 39%, 411 ↓ + Q_1 (22) 56%
7/2-	493	740	523 ↑ 93%, 411 ↑ + Q_1 (32) 3%
1/2-	30	700	541 ↓ 97%, 532 ↓ + Q_1 (22) 2%
5/2+	—	1000	413 ↓ 6%, 411 ↓ + Q_1 (22) 93%
3/2+	—	1050	402 ↓ 10%, 404 ↓ + Q_1 (22) 89%
11/2+	—	1130	404 ↓ + Q_1 (22) 100%
1/2+	—	1270	411 ↓ + Q_1 (20) 100%
5/2-	—	1300	532 ↑ 2%, 514 ↑ + Q_1 (22) 97%
7/2+	—	1305	404 ↓ + Q_1 (20) 100%
13/2-	—	1310	514 ↑ + Q_1 (22) 100%
3/2-	—	1340	541 ↑ 12%, 523 ↑ + Q_1 (22) 85%
9/2-	—	1430	514 ↑ + Q_1 (20) 100%
11/2-	—	1450	523 ↑ + Q_1 (22) 100%
1/2+	—	1510	660 ↑ 30%, 402 ↑ + Q_1 (22) 63%, 402 ↓ + Q_1 (22) 2%
3/2-	—	1530	532 ↓ 59%, 411 ↓ + Q_1 (31) 22%, 541 ↓ + Q_1 (22) 9%
1/2-	—	1550	530 ↑ 7%, 411 ↓ + Q_1 (30) 85%, 411 ↓ + Q_1 (31) 7%
19/2-	—	1720	$p404 \downarrow n523 \downarrow n633 \uparrow 100\%$

Таблица 6.48

Ядро ^{171}Lu

K^π	Энергия, кэв		Структура
	эксперимент	теория	
7/2 ⁺	0	0	404 ↓ 97%
9/2 ⁻	469	55	514 ↑ 95%, 402 ↑ + Q_1 (32) 3%
1/2 ⁺	208	230	411 ↓ 91%, 411 ↑ + Q_1 (22) 5%
5/2 ⁺	296	470	402 ↑ 83%, 514 ↑ + Q_1 (32) 10%, 400 ↑ + Q_1 (22) 4%
1/2 ⁻	71	700	541 ↓ 98%
7/2 ⁻	662	760	523 ↑ 90%, 411 ↑ + Q_1 (32) 8%
3/2 ⁺		770	411 ↓ 48%, 411 ↓ + Q_1 (22) 41%, 523 ↑ + Q_1 (32) 9%
3/2 ⁺		11450	402 ↓ 13%, 404 ↓ + Q_1 (22) 85%
5/2 ⁺		1160	413 ↓ 8%, 411 ↓ + Q_1 (22) 91%
1/2 ⁺		1240	411 ↓ + Q_1 (20) 100%
3/2 ⁺		1280	411 ↓ + Q_1 (22) 100%
3/2 ⁺		1370	404 ↓ + Q_1 (22) 100%
1/2 ⁺		1440	411 ↓ + Q_2 (20) 100%
5/2 ⁻		1470	532 ↑ 10%, 514 ↑ + Q_1 (22) 63%, 411 ↓ + Q_1 (32) 26%
3/2 ⁻		1480	541 ↑ 14%, 523 ↑ + Q_1 (22) 44%, 411 ↓ + Q_1 (32) 39%
1/2 ⁻		1490	411 ↓ + Q_1 (30) 100%

Таблица 6.49

Ядро ^{173}Lu

K^π	Энергия, кэв		Структура
	эксперимент	теория	
7/2 ⁺	0	0	404 ↓ 99%
9/2 ⁻	—	40	514 ↑ 97%, 402 ↑ + Q_1 (32) 2%
1/2 ⁺	425	310	411 ↓ 98%
5/2 ⁺	357	600	402 ↑ 84%, 514 ↑ + Q_1 (32) 14%
7/2 ⁻	—	720	523 ↑ 93%, 411 ↑ + Q_1 (32) 6%
1/2 ⁻	128	680	541 ↓ 99%, 411 ↓ + Q_1 (31) 1%
1/2 ⁺	—	1070	411 ↓ + Q_1 (20) 100%
3/2 ⁺	—	1080	411 ↑ 67%, 523 ↑ + Q_1 (32) 27%, 411 ↓ + Q_1 (22) 2%
1/2 ⁻	—	1160	530 ↑ 1%, 411 ↓ + Q_1 (31) 98%
3/2 ⁻	—	1170	532 ↓ 2%, 411 ↓ + Q_1 (31) 98%
7/2 ⁺	—	1180	404 ↓ + Q_1 (20) 100%
3/2 ⁻	—	1270	411 ↓ + Q_1 (32) 100%
5/2 ⁻	—	1280	532 ↑ 3%, 411 ↓ + Q_1 (32) 92%, 404 ↓ + Q_1 (31) 4%
5/2 ⁻	—	1290	404 ↓ + Q_1 (31) 95%, 411 ↓ + Q_1 (32) 4%
5/2 ⁺	—	1330	642 ↑ 2%, 411 ↓ + Q_1 (22) 97%
3/2 ⁺	—	1330	411 ↓ + Q_1 (22) 100%
7/2 ⁺	—	1390	514 ↑ + Q_1 (31) 100%
3/2 ⁻	—	1395	532 ↓ 5%, 404 ↓ + Q_1 (32) 95%
11/2 ⁻	—	1400	404 ↓ + Q_1 (32) 100%
3/2 ⁺	—	1450	404 ↓ + Q_1 (22) 100%
11/2 ⁺	—	1460	404 ↓ + Q_2 (22) 100%
9/2 ⁺	—	1500	404 ↑ 1%, 523 ↑ + Q_1 (31) 99%
1/2 ⁻	—	1620	401 ↓ + Q_1 (30) 100%

Таблица 6.50

Ядро ^{175}Lu

K^π	Энергия, кэв		Структура
	эксперимент	теория	
7/2 ⁺	0	0	404 ↓ 99%
9/2 ⁻	396	100	514 ↑ 99%
1/2 ⁺	—	310	411 ↓ 97%
5/2 ⁺	343	700	402 ↑ 96%, 660 ↑ + Q_1 (22) 2%
7/2 ⁻	—	850	523 ↑ 99%
1/2 ⁻	358	640	541 ↓ 98%
3/2 ⁺	—	1180	411 ↑ 69%, 411 ↓ + Q_1 (22) 29%
3/2 ⁻	—	1280	411 ↓ + Q_1 (32) 100%
5/2 ⁻	—	1280	411 ↓ + Q_1 (32) 100%
19/2 ⁺	1401	1300	$p404 \downarrow n512 \uparrow n514 \downarrow$
1/2 ⁺	—	1340	411 ↓ + Q_1 (20) 100%
21/2 ⁻	—	1360	$p514 \uparrow n512 \uparrow n514 \downarrow$
7/2 ⁺	—	1380	404 ↓ + Q_1 (20) 100%
11/2 ⁻	—	1390	404 ↓ + Q_1 (32) 100%
3/2 ⁻	—	1400	404 ↓ + Q_1 (32) 100%
9/2 ⁻	—	1470	514 ↑ + Q_1 (20) 100%
5/2 ⁺	—	1490	514 ↑ + Q_1 (32) 100%
13/2 ⁺	—	1490	514 ↑ + Q_1 (32) 100%
1/2 ⁻	—	1520	411 ↓ + Q_1 (30) 100%
3/2 ⁻	—	1600	532 ↓ 9%, 411 ↓ + Q_1 (34) 90%
3/2 ⁻	—	1680	532 ↓ 82%, 411 ↓ + Q_1 (34) 10%

Таблица 6.51

Ядро ^{177}Lu

K^π	Энергия, кэв		Структура
	эксперимент	теория	
7/2 ⁺	0	0	404 ↓ 97%, 404 ↓ + Q_1 (20) 2,5%
9/2 ⁻	150	20	514 ↑ 98%
1/2 ⁺	570	150	411 ↓ 96%, 411 ↑ + Q_1 (22) 2%
1/2 ⁻	—	480	541 ↓ 86%, 541 ↓ + Q_1 (20) 10%
5/2 ⁺	458	670	402 ↑ 87%, 514 ↑ + Q_1 (32) 5%, 402 ↑ + Q_1 (20) 3%
7/2 ⁻	—	870	523 ↑ 93%, 411 ↑ + Q_1 (32) 4%, 523 ↑ + Q_1 (20) 1%
3/2 ⁺	—	900	411 ↑ 69%, 411 ↓ + Q_1 (22) 22%, 523 ↑ + Q_1 (32) 6%
7/2 ⁺	1148	1100	404 ↓ + Q_1 (20) 100%
1/2 ⁺	—	1300	411 ↓ + Q_1 (20) 100%
5/2 ⁺	—	1280	413 ↓ 7%, 411 ↓ + Q_1 (22) 90%
23/2 ⁻	970	1350	$p404 \downarrow n514 \downarrow n624 \uparrow$ 100%
3/2 ⁺	—	1370	402 ↓ 6%, 404 ↓ + Q_1 (22) 84%
11/2 ⁺	1307	1380	404 ↓ + Q_1 (22) 100%
3/2 ⁺	—	1380	411 ↑ 16%, 411 ↓ + Q_1 (22) 77%, 523 ↑ + Q_1 (32) 5%
1/2 ⁻	—	1400	411 ↓ + Q_1 (34) 100%

П р о д о л ж е н и е т а б л. 6.51

K^π	Энергия, кэв		Структура
	эксперимент	теория	
3/2-	—	1400	411 $\downarrow + Q_1(31)$ 100%
9/2-	—	1410	514 $\uparrow 0,5\%$, 514 $\uparrow + Q_1(20)$ 80%, 402 $\uparrow + Q_1(32)$ 19%
5/2-	—	1490	523 $\downarrow 0,4\%$, 411 $\downarrow + Q_1(32)$ 99%
3/2-	—	1500	411 $\downarrow + Q_1(32)$ 100%
11/2 ⁺	1230	1510	514 $\uparrow + Q_1(31)$ 100%
7/2 ⁺	1240	1510	514 $\uparrow + Q_1(31)$ 100%
25/2 ⁺	—	1510	$p514 \uparrow n514 \downarrow n624 \uparrow 100\%$
15/2 ⁺	1357	2000	$p404 \downarrow n514 \downarrow n510 \uparrow 100\%$
13/2 ⁺	1503	2000	$p404 \downarrow n514 \downarrow n510 \uparrow 100\%$

Т а б л и ц а 6.52

Ядро ^{177}Ta

K^π	Энергия, кэв		Структура
	эксперимент	теория	
7/2 ⁺	0	0	404 $\downarrow 99\%$
9/2 ⁻	74	—60	514 $\uparrow 99\%$
5/2 ⁺	71	180	402 $\uparrow 95\%$
1/2 ⁻	217	300	541 $\downarrow 99\%$, 532 $\downarrow + Q_1(22)$ 1%
1/2 ⁺	—	610	411 $\uparrow 92\%$, 411 $\uparrow + Q_1(22)$ 6%
3/2 ⁻	—	1020	532 $\downarrow 91\%$, 541 $\downarrow + Q_1(22)$ 6%, 530 $\uparrow + Q_1(22)$ 3%
3/2 ⁺	—	1130	402 $\downarrow 15\%$, 404 $\downarrow + Q_1(22)$ 83%
11/2 ⁻	—	1200	404 $\downarrow + Q_1(32)$ 100%
3/2 ⁻	—	1200	404 $\downarrow + Q_1(32)$ 100%
7/2 ⁺	—	1210	404 $\downarrow + Q_1(20)$ 100%
5/2 ⁺	—	1220	514 $\uparrow + Q_1(32)$ 100%
13/2 ⁺	—	1220	514 $\uparrow + Q_1(32)$ 100%
1/2 ⁺	—	1230	660 $\uparrow 36\%$, 402 $\uparrow + Q_1(22)$ 58%, 402 $\downarrow + Q_1(22)$ 3%
3/2 ⁺	—	1250	411 $\uparrow 43\%$, 411 $\downarrow + Q_1(22)$ 56%
9/2 ⁻	—	1260	514 $\uparrow + Q_1(20)$ 100%
7/2 ⁻	—	1270	523 $\uparrow 98\%$
5/2 ⁻	—	1300	532 $\uparrow 1\%$, 514 $\uparrow + Q_1(22)$ 99%
1/2 ⁻	—	1390	530 $\uparrow 90\%$, 532 $\downarrow + Q_1(22)$ 7%
23/2 ⁺	—	1460	$p514 \uparrow n512 \uparrow n624 \uparrow 100\%$
21/2 ⁻	—	1470	$p514 \uparrow n512 \uparrow n514 \downarrow 100\%$
1/2 ⁺	—	1490	400 $\uparrow 37\%$, 402 $\uparrow + Q_1(22)$ 58%, 402 $\downarrow + Q_1(22)$ 2%
21/2 ⁻	—	1510	$p404 \uparrow n512 \uparrow n624 \uparrow 100\%$

Таблица 6.53

Ядро ^{179}Ta

K^π	Энергия, кэВ		Структура
	эксперимент	теория	
7/2+	0	0	404 \downarrow 100%
9/2-	31	20	514 \uparrow 100%
5/2+	238	530	402 \uparrow 96%, 660 $\uparrow + Q_1(22)$ 2%, 514 $\uparrow + Q_1(32)$ 1%
1/2+	520	740	411 \downarrow 96%, 411 $\uparrow + Q_1(22)$ 3%
1/2-	750	750	541 \downarrow 98%, 532 $\downarrow + Q_1(22)$ 1%
3/2+		1110	651 \uparrow 1%, 404 $\downarrow + Q_1(22)$ 99%
11/2+		1120	404 $\downarrow + Q_1(22)$ 100%
5/2-		1120	514 $\uparrow + Q_1(22)$ 99%
13/2-		1130	514 $\uparrow + Q_1(22)$ 100%
7/2+		1130	514 $\uparrow + Q_1(31)$ 100%
5/2-		1130	404 $\downarrow + Q_1(31)$ 100%
3/2-		1180	532 \downarrow 88%, 404 $\downarrow + Q_1(32)$ 9%, 541 $\downarrow + Q_1(22)$ 2%
7/2+		1180	404 $\downarrow + Q_1(20)$ 100%
7/2+		1220	514 $\uparrow + Q_1(31)$ 100%
9/2-		1220	514 $\uparrow + Q_1(20)$ 100%
11/2-		1230	404 $\downarrow + Q_1(32)$ 100%
3/2-		1230	532 \downarrow 8%, 404 $\downarrow + Q_1(32)$ 91%
5/2+		1230	402 \uparrow 1%, 514 $\uparrow + Q_1(32)$ 99%
13/2+		1240	514 $\uparrow + Q_1(32)$ 100%
23/2-		1300	p404 $\downarrow n$ 514 $\downarrow n$ 624 \uparrow 100%
25/2+		1300	p514 $\uparrow n$ 514 $\downarrow n$ 624 \uparrow 100%
3/2+		1470	411 \uparrow 16%, 411 $\downarrow + Q_1(22)$ 84%
5/2+		1550	413 \downarrow 1%, 411 $\downarrow + Q_1(22)$ 99%
1/2-		1590	411 $\downarrow + Q_1(31)$ 100%
3/2-		1590	411 $\downarrow + Q_1(31)$ 100%
21/2-		1600	p404 $\downarrow n$ 512 $\uparrow n$ 624 \uparrow 100%

Таблица 6.54

Ядро ^{181}Ta

K^π	Энергия, кэВ		Структура
	эксперимент	теория	
7/2+	0	0	404 \downarrow 100%
9/2-	6	10	514 \uparrow 100%
5/2+	482	560	402 \uparrow 98%, 660 $\uparrow + Q_1(22)$ 1%
1/2-		750	541 \downarrow 99%, 532 $\downarrow + Q_1(22)$ 1%
1/2+	615	810	411 \downarrow 97%, 411 $\uparrow + Q_1(22)$ 2%
3/2+		1120	404 $\downarrow + Q_1(22)$ 100%
11/2+		1130	404 $\downarrow + Q_1(22)$ 100%
7/2+		1130	514 $\uparrow + Q_1(31)$ 100%
5/2-		1130	404 $\downarrow + Q_1(31)$ 100%

Продолжение табл. 6.54

K^π	Энергия, кэв		Структура
	эксперимент	теория	
9/2 ⁻	1130		404 ↓ + Q_1 (31) 100%
5/2 ⁻	1140		514 ↑ + Q_1 (22) 100%
13/2 ⁻	1140		514 ↑ + Q_1 (22) 100%
3/2 ⁻	1200	532 ↓ 98%, 541 ↓ + Q_1 (22) 1%	
17/2 ⁻	1300	p 404 ↓ n 624 ↑ n 510 ↑ 100%	
19/2 ⁺	1300	p 514 ↑ n 624 ↑ n 510 ↑ 100%	
7/2 ⁺	1400		404 ↓ + Q_1 (20) 100%
9/2 ⁻	1400		514 ↑ + Q_1 (20) 100%
3/2 ⁺	1520	411 ↑ 12%, 411 ↓ + Q_1 (22) 88%	
5/2 ⁺	1580	413 ↓ 1%, 411 ↓ + Q_1 (22) 99%	
1/2 ⁻	1580		411 ↓ + Q_1 (31) 100%
3/2 ⁻	1580		411 ↓ + Q_1 (31) 100%
19/2 ⁻	1600	p 404 ↓ n 624 ↑ n 512 ↓ 100%	
7/2 ⁻	1690	523 ↓ 98%, 411 ↑ + Q_1 (32) 1%	
1/2 ⁻	1740	530 ↓ 96%, 532 ↓ + Q_1 (22) 2%	

Таблица 6.55

Ядро ^{181}Re

K^π	Энергия, кэв		Структура
	эксперимент	теория	
5/2 ⁺	0	0	402 ↑ 97%, 400 ↑ + Q_1 (22) 1,6%
1/2 ⁻	432	150	541 ↓ 92%, 541 ↓ + Q_1 (20) 6,7%
9/2 ⁻	262	360	514 ↑ 99%
7/2 ⁺	820	630	404 ↓ 95%, 404 ↓ + Q_1 (20) 4%
1/2 ⁺	932	930	400 ↑ 38%, 402 ↑ + Q_1 (22) 58%, 402 ↓ + Q_1 (22) 3%
9/2 ⁺	1020		404 ↑ 2%, 402 ↑ + Q_1 (22) 98%
1/2 ⁺	826	930	411 ↓ 95%, 411 ↑ + Q_1 (22) 2%, 530 ↑ + Q_1 (20) 5%
1/2 ⁻	1108	1040	530 ↓ 73%, 402 ↑ + Q_1 (32) 17%
11/2 ⁻	—	1130	505 ↑ 9%, 505 ↑ + Q_1 (20) 8%
3/2 ⁺	1060	1140	402 ↑ 57%, 400 ↑ + Q_1 (22) 39%, 402 ↓ + Q_1 (20) 3%
5/2 ⁺	—	1170	642 ↑ 0.2%, 514 ↑ + Q_1 (32) 99%
13/2 ⁺	—	1180	514 ↑ + Q_1 (32) 100%
9/2 ⁻	—	1190	402 ↑ + Q_1 (32) 100%
1/2 ⁻	—	1210	530 ↑ 15%, 402 ↑ + Q_1 (32) 82%
3/2 ⁻	867	1030	532 ↓ 44%, 532 ↓ + Q_1 (20) 6%, 541 ↓ + Q_1 (22) 45%
11/2 ⁻	—	1330	404 ↓ + Q_1 (32) 100%
3/2 ⁻	—	1340	532 ↓ 3%, 404 ↓ + Q_1 (32) 93%
3/2 ⁺	1060	1360	651 ↑ 7%, 541 ↓ + Q_1 (32) 92%
5/2 ⁺	—	1390	541 ↓ + Q_1 (32) 100%
1/2 ⁺	—	1420	660 ↑ 80%, 660 ↑ + Q_1 (20) 11%
3/2 ⁻	—	1490	402 ↑ + Q_1 (31) 100%
21/2 ⁻	—	1490	p 402 ↑ n 624 ↑ n 514 ↓ 100%
7/2 ⁻	—	1500	402 ↑ + Q_1 (31) 100%
25/2 ⁺	—	1800	p 514 ↑ n 624 ↑ n 514 ↓ 100%
25/2 ⁺	—	2700	p 402 ↑ n 624 ↑ n 615 ↑ 100%

Таблица 6.56
Ядро ^{183}Re

K^π	Энергия, кэВ		Структура		
	эксперимент	теория			
5/2 ⁺	0	0	402 \uparrow 98%, 400 $\uparrow + Q_1(22)$	2%	
9/2 ⁻	496	430	514 \uparrow 99%		
1/2 ⁻	702	600	541 \downarrow 89%, 541 $\downarrow + Q_1(20)$	9%	
7/2 ⁺	851	900	404 \downarrow 93%, 404 $\downarrow + Q_1(20)$	6%	
4/2 ⁺	1102	970	411 \downarrow 93%, 411 $\uparrow + Q_1(22)$	4%	
11/2 ⁻	1301	1000	505 \uparrow 92%, 505 $\uparrow + Q_1(20)$	7%	
1/2 ⁺	889	1060	400 \uparrow 28%, 402 $\uparrow + Q_1(22)$	70%	
9/2 ⁺		1310	404 \uparrow 0,7%, 402 $\uparrow + Q_1(22)$	99%	
1/2 ⁻		1370	530 \uparrow 0,4%, 402 $\uparrow + Q_1(32)$	99%	
9/2 ⁻		1370	402 $\uparrow + Q_1(32)$	100%	
5/2 ⁻		1390	532 \uparrow 1,3%, 514 $\uparrow + Q_1(22)$	98%	
13/2 ⁻		1400	514 $\uparrow + Q_1(22)$	100%	
5/2 ⁺		1430	413 \downarrow 0,2%, 514 $\uparrow + Q_1(32)$	99%	
3/2 ⁺	1035	1500	402 \downarrow 71%, 404 $\downarrow + Q_1(22)$	15%, 400 $\uparrow + Q_1(22)$	10%
3/2 ⁺	1354	1590	411 \uparrow 29%, 411 $\downarrow + Q_1(22)$	68%	
3/2 ⁻		1670	532 \downarrow 69%, 541 $\downarrow + Q_1(22)$	19%, 532 $\downarrow + Q_1(20)$	5%
21/2 ⁻		2000	p402 $\uparrow n624 \uparrow n514 \downarrow$	100%	
25/2 ⁺	1907	2200	p402 $\uparrow n624 \uparrow n615 \uparrow$	100%	
25/2 ⁺		2300	p514 $\uparrow n624 \uparrow n514 \uparrow$	100%	

Таблица 6.57
Ядро ^{185}Re

K^π	Энергия, кэВ		Структура		
	эксперимент	теория			
5/2 ⁺	0	0	402 \uparrow 96%, 400 $\uparrow + Q_1(22)$	3%	
9/2 ⁻	387	460	514 \uparrow 99%		
1/2 ⁻	1045	620	541 \downarrow 88%, 541 $\downarrow + Q_1(20)$	9,6%	
1/2 ⁺	645	660	400 \uparrow 18%, 402 $\uparrow + Q_1(22)$	80%, 402 $\downarrow + Q_1(22)$	2%
9/2 ⁺	966	860	404 \uparrow 0,7%, 402 $\uparrow + Q_1(22)$	99%	
7/2 ⁺	—	930	404 \downarrow 92%, 404 $\downarrow + Q_1(20)$	6,7%	
5/2 ⁻	—	940	532 \uparrow 1%, 514 $\uparrow + Q_1(22)$	99%	
1/2 ⁺	879	950	411 \downarrow 89%, 402 $\uparrow + Q_1(22)$	5,8%, 411 $\uparrow + Q_1(22)$	4%
13/2 ⁻	—	960	514 $\uparrow + Q_1(22)$	100%	
11/2 ⁻	1303	1030	505 \uparrow 91%, 505 $\uparrow + Q_1(20)$	8%	
3/2 ⁺	931	1210	402 \downarrow 15%, 404 $\downarrow + Q_1(22)$	78%, 400 $\uparrow + Q_1(22)$	3%
3/2 ⁺	—	1210	411 \uparrow 16%, 411 $\downarrow + Q_1(22)$	84%	
11/2 ⁺	—	1260	404 $\downarrow + Q_1(22)$	100%	
5/2 ⁺	—	1340	413 \downarrow 3%, 411 $\downarrow + Q_1(22)$	97%	
9/2 ⁻	—	1410	402 $\uparrow + Q_1(32)$	100%	
5/2 ⁺	—	1410	402 \uparrow 0,1%, 402 $\uparrow + Q_1(20)$	99%	
1/2 ⁻	—	1410	402 $\uparrow + Q_1(32)$	100%	
3/2 ⁻	—	1440	532 \downarrow 24%, 541 $\downarrow + Q_1(22)$	68%	
3/2 ⁺	—	1480	402 \downarrow 61%, 404 $\downarrow + Q_1(22)$	19%, 400 $\uparrow + Q_1(22)$	19%
5/2 ⁻	—	1540	523 \downarrow 3%, 541 $\downarrow + Q_1(22)$	97%	

Ядра, расположенные на стыках двух зон, такие, как ^{161}Dy , ^{161}Ho , ^{169}Lu и другие, были рассчитаны по двум схемам уровней. Сравнение полученных результатов показало, что имеются некоторые различия в энергиях и структуре неротационных состояний. Для более точного описания ядерных уровней следует ввести дополнительные зоны. В таблицах результаты для этих ядер получены с теми схемами, с которыми рассчитано большинство изотопов.

Энергия и структура состояний $400\uparrow$, $600\uparrow$ и $651\uparrow$, $402\downarrow$ рассчитаны с учетом эффекта $\Delta N = \pm 2$ -смешивания для ядер зоны $A = 155$ при $\beta_{20}^0 = 0,29 - 0,30$ и $\beta_{40}^0 = 0,04 - 0,06$. Как видно из табл. 5.4, в большинстве ядер сильное смешивание этих состояний имеет место при несколько больших величинах β_{20} .

Как уже отмечалось в разд. 4, в расчетах не учитывалось кoriолисово взаимодействие, так как оно, как правило, оказывает слабое влияние на энергию и структуру оснований ротационных полос. Используя полученные волновые функции, можно учесть кoriолисово взаимодействие, которое наиболее сильное влияние оказывает на состояния, выходящие из нейтронной подоболочки $i_{13/2}$ и из протонной подоболочки $h_{11/2}$.

В ряде случаев желательно улучшить описание энергий неротационных состояний. Однако небольшие изменения параметров потенциала Саксона — Вудса не дают такого улучшения. Поэтому представляют интерес работы по модификации потенциала среднего поля.

Ряд возбужденных состояний имеет значительную примесь компоненты квазичастица плюс γ -вибрационный фонон. Такие состояния характеризуются большой величиной значения приведенных вероятностей $E2$ -переходов. В работах [22, 23] были рассчитаны $B(E2)$ по формуле, приведенной в работе [1] со значением эффективного заряда $e_{\text{эфф}} = 0,2$. Экспериментальных данных по $B(E2)$ -величинам в нечетных ядрах мало. В отдельных случаях, когда есть экспериментальные значения $B(E2)$ -величин, имеет место достаточно хорошее согласие этих величин с расчетными. Например, в ^{187}Re экспериментальное значение $B(E2)_{s.p.u.}$ для состояния $9/2^+$ с энергией 840 кэВ равно 2,5, а для состояния $1/2^+$ с энергией 511 кэВ равно 3,8; в ^{185}Re для состояния $9/2^+$ с энергией 966 кэВ равно 2,6, а для состояния $1/2^+$ с энергией 645 кэВ равно 3,6. Во всех четырех случаях теория дает близкие к эксперименту значения $B(E2)$ -величины.

В заключение сделаем общий вывод о том, насколько хорошим является согласие результатов расчетов с экспериментальными данными по низколежащим неротационным состояниям нечетных деформированных ядер. Рассчитанные значения энергии достаточно хорошо согласуются с экспериментальными данными, хотя имеются случаи, когда они отличаются от экспериментальных

значений на 300 кэв и более. Поэтому с точки зрения предсказания положения возбужденных состояний теория не является вполне удовлетворительной.

Если учесть сложность решения ядерной задачи многих тел, когда используется небольшое число параметров, фиксированных на основе большой совокупности экспериментальных данных, то следует признать, что сделан фундаментальный прогресс в описании структуры низколежащих состояний.

Следует отметить, что в каждом отдельном ядре можно получить более точные предсказания относительно поведения низколежащих состояний уточнением параметров потенциала Саксона — Вудса, параметров $\chi^{(\lambda)}$ и пр. Однако эти результаты не будут носить столь фундаментальный характер.

В заключение выражаем благодарность А. А. Корнейчуку, Л. А. Малову, У. М. Файнера и Н. Ю. Ширикову за помощь в создании программ и полезные обсуждения.

ПРИЛОЖЕНИЕ

Приложения начинаются с таблиц базисных нейтронных волновых функций φ_{nlj}^{Ω} , удовлетворяющих уравнению (2.20). В выражение для φ_{nlj}^{Ω} входит шаровой спинор

$$Y_{lj}^{\Omega} = \sum_{\mu} (U/2\Omega - \mu\mu | j\Omega) Y_{l\Omega-\mu} \chi_{1/2\mu}. \quad (\text{П.1})$$

В соотношении (П.1) использовано определение коэффициентов Клебша — Гордона, принятное в [39]. Радиальная часть φ_{nlj}^{Ω} с высокой точностью аппроксимируется выражением:

$$R_{nlj}(r) = (N_n/r) (A/C)^{1/2} H_n[S(r)] \exp[-S^2(r)/2], \quad (\text{П.2})$$

где n определяет число узлов $R_{nlj}(r)$. Например, $n=0$ для состояний $1s$, $1p$, $1d$, $1f$, $1g$,

Квантовое число l — собственное значение оператора углового момента, $j = l \pm 1/2$, а N_n — константа нормировки. Фаза $R_{nlj}(r)$ выбрана таким образом, что при $r \rightarrow 0$ $R_{nlj}(r) \rightarrow (-1)^n r^l$. Зависимость корректирующей функции $S(r)$ от r , удовлетворяющей уравнению

$$\int_{-\sqrt{E}}^S (E - \sigma^2)^{1/2} d\sigma = \int_{r_1}^r p(\xi) d\xi, \quad (\text{П.3})$$

дается приближенной формулой

$$S(r) = \begin{cases} B \ln(r/A) & r \geq A; \\ B1 \ln(r/A) & r \leq A. \end{cases} \quad (\text{П.4})$$

Параметры B , $B1$, A вычисляются из требования равенства точных и приближенных функций $S(r)$, определяемых соотношениями (П.3) и (П.4), соответственно.

Параметры B , $B1$, C , A (ферми), норма N_n приведены в табл. П.1, П.2, П.9, П.10, П.17, П.18, П.25, П.26 (нейтронная схема) и П.5, П.6, П.13,

Таблица П.1

 $A = 155 \quad Z = 0 \quad RO = 1,24 \quad VO = 48,2 \quad \kappa = 0,39 \quad \alpha = 1,80$

Базисные волновые функции

$+E$	$N + 1$	L	J	A	$B1$	C	B	Nn
+11,55	1	8	8,5	6,1804	5,0937	5,1989	4,0103	0,5747
+4,05	1	6	5,5	5,3582	4,1796	4,3492	3,8315	0,5764
+0,86	2	4	4,5	5,3106	3,1596	3,8239	3,5535	0,3530
-5,19	1	6	6,5	5,7956	4,3681	4,6728	4,6309	0,5925
-12,48	2	2	1,5	4,3760	2,3197	2,9751	3,7338	0,3713
-12,53	3	0	0,5	3,5732	1,3184	2,1781	3,2696	0,4750
-14,92	2	2	2,5	4,5283	2,3138	2,9908	3,9003	0,3655
-15,72	1	4	3,5	4,9639	3,4602	3,7592	4,2957	0,5787
-20,36	1	4	4,5	5,3110	3,5065	3,8922	4,6417	0,5643
-30,47	2	0	0,5	3,3555	1,1949	1,8353	3,3090	0,3433
-31,94	1	2	1,5	4,4181	2,4844	2,8457	4,0936	0,5205
-33,47	1	2	2,5	4,6238	2,4841	2,8776	4,2370	0,5046
-43,80	1	0	0,5	3,2328	1,0729	1,4226	3,0329	0,3934

Таблица П.2

 $A = 155 \quad Z = 0 \quad RO = 1,24 \quad VO = 48,2 \quad \kappa = 0,39 \quad \alpha = 1,80$

Базисные волновые функции

$+E$	$N + 1$	L	J	A	$B1$	C	B	Nn
+14,81	1	7	6,5	5,5491	4,4437	4,4830	3,1266	0,5295
+3,02	1	7	7,5	5,9960	4,7491	4,9679	4,4424	0,5923
-3,05	3	1	0,5	4,1368	1,8546	2,7161	3,1158	0,1683
-3,21	2	3	2,5	4,7419	2,7571	3,3915	3,5304	0,3652
-4,36	3	1	1,5	4,1966	1,8517	2,7226	3,2637	0,1699
-6,20	1	5	4,5	5,1692	3,8459	4,0981	4,1765	0,5875
-6,93	2	3	3,5	4,9383	2,7603	3,4445	3,8837	0,3671
-13,01	1	5	5,5	5,5702	3,9564	4,3055	4,6891	0,5822
-21,59	2	1	0,5	3,9405	1,8157	2,4676	3,6462	0,3624
-22,83	2	1	1,5	4,0334	1,8099	2,4729	3,7197	0,3569
-24,34	1	3	2,5	4,7237	2,9954	3,3425	4,2657	0,5553
-27,24	1	3	3,5	5,0062	3,0260	3,4184	4,4994	0,5389
-38,43	1	1	0,5	3,9807	1,8641	2,2293	3,7328	0,4696
-39,04	1	1	1,5	4,1032	1,8627	2,2390	3,8042	0,4586

Таблица П.3

 $A = 155N$

β_{20}	.280	.280	.280	.280	.280	.280
β_{40}	.060	.060	.060	.060	.060	.060

Продолжение табл. П.3

Омега = 1/2			Омега = 3/2			Омега = 5/2	
Энергия	- 9.205	- 8.476	- 8.859	- 7.899	- 11.527	- 6.796	
$Nn_z\Lambda$	400	660	402	651	402	642	
a	.190	6.521	0	0	0	0	
1 8 17/2	-.023	.214	.018	.209	.001	.199	
1 6 11/2	-.053	-.019	-.065	-.041	.048	-.075	
2 4 9/2	-.085	.405	.072	.386	.081	.339	
1 6 13/2	-.091	.846	.076	.866	.002	.902	
2 2 3/2	.528	.036	.930	-.086	0	0	
3 0 1/2	.770	.097	0	0	0	0	
2 2 5/2	-.243	-.143	.219	-.113	.948	-.056	
1 4 7/2	-.187	-.006	-.236	.036	.254	.026	
1 4 9/2	.078	-.206	-.077	-.185	-.138	-.151	
2 0 1/2	.071	.010	0	0	0	0	
1 2 3/2	.046	.004	.092	-.010	0	0	
1 2 5/2	-.041	-.009	.041	-.008	.096	-.004	
1 0 1/2	.016	.002	0	0	0	0	
Омега = 7/2			Омега = 9/2	Омега = 11/2	Омега = 13/2		
Энергия	- 11.611	- 5.287	- 3.611	- 1.957	-.420		
$Nn_z\Lambda$	404	633	624	615	606		
1 8 17/2	.001	.178	.145	.102	.055		
1 6 11/2	.098	-.096	-.100	-.080	0		
2 4 9/2	-.030	.252	.144	0	0		
1 6 13/2	.005	.940	.972	.992	.998		
1 4 7/2	.985	.027	0	0	0		
1 4 9/2	.136	-.102	-.055	0	0		

Таблица П.4

 $A = 155N$

β_{20}	.280	.280	.280	.280	.280	.280
β_{40}	.060	.060	.060	.060	.060	.060

Продолжение табл. П.4

Омега = 1/2				Омега = 3/2		
Энергия	-10.820	-9.074	-5.230	-2.446	-8.830	-6.837
$Nn_z\Lambda$	541	530	521	510	532	521
a	1.307	-.478	.272	-.315	0	0
1 9 19/2	.017	-.024	.016	.010	.016	-.019
1 7 13/2	.119	.136	.104	-.078	.152	.115
1 7 15/2	.076	-.086	.060	.034	.068	-.077
3 1 1/2	.309	-.091	-.548	.081	0	0
2 3 5/2	.499	.223	-.370	.521	.447	.007
3 1 3/2	-.381	.473	.213	.668	-.199	.337
1 5 9/2	.533	.568	.430	-.298	.734	.480
2 3 7/2	-.260	.509	-.526	-.407	-.309	.749
1 5 11/2	.292	-.302	.189	.088	.278	-.266
2 1 1/2	-.116	.008	.060	-.027	0	0
2 1 3/2	.108	-.090	-.005	.048	.049	-.041
1 3 5/2	-.164	-.104	-.030	.030	-.133	-.050
1 3 7/2	.021	-.012	-.027	-.045	.023	.021
1 1 1/2	-.013	.001	.014	-.009	0	0
1 1 3/2	.016	-.016	-.000	.011	.009	-.010
Омега = 3/2			Омега = 5/2		Омега = 7/2	
Энергия	-2.060	-.476	-6.474	-4.589	-3.869	-2.639
$Nn_z\Lambda$	512	501	523	512	514	503
1 9 19/2	-.009	.004	.012	-.012	.007	-.004
1 7 13/2	-.066	-.062	.149	.093	.118	.077
1 7 15/2	-.030	.002	.051	-.047	.029	-.014
2 3 5/2	.604	.651	.290	-.053	0	0
3 1 3/2	-.596	.694	0	0	0	0
1 5 9/2	-.290	-.252	.835	.429	.850	.484
2 3 7/2	.417	-.133	-.358	.875	-.471	.862
1 5 11/2	-.107	.008	.249	-.179	.202	-.063
2 1 3/2	-.030	.099	0	0	0	0
1 3 5/2	.041	.052	-.070	-.027	0	0
1 3 7/2	.053	-.020	.012	.069	-.022	.113
1 1 3/2	-.004	.024	0	0	0	0
Омега = 9/2			Омега = 11/2			
Энергия	-10.695	-.859	Омега = 11/2			
$Nn_z\Lambda$	514	505	505			
1 9 19/2	.018	.001	.009			
1 7 13/2	-.057	.089	-.040			
1 7 15/2	.117	.006	.068			
1 5 9/2	-.405	.990	0			
1 5 11/2	.986	.410	.997			

Таблица П.5

 $A = 155 \ Z = 63 \ RO = 1,24 \ VO = 59,2 \ \alpha = 0,36 \ \beta = 1,63$

Базисные волновые функции

$+E$	$N+1$	L	J	A	$B1$	C	B	Nn
+18,54	1	8	8,5	6,1289	5,0522	5,1668	4,2330	0,5880
+41,77	1	6	5,5	5,3327	4,1860	4,3412	3,9620	0,5854
+8,50	2	4	4,5	5,2821	3,2091	3,8683	3,7130	0,3642
+1,68	1	6	6,5	5,7487	4,4124	4,6732	4,7115	0,6018
-4,63	3	0	0,5	3,6026	1,3229	2,2035	3,3383	0,1762
-4,69	2	2	1,5	4,3864	2,3492	3,0122	3,8083	0,3760
-7,33	2	2	2,5	4,5420	2,3533	3,0464	3,9752	0,3711
-8,22	1	4	3,5	4,9442	3,4978	3,7829	4,3488	0,5862
-13,44	1	4	4,5	5,2830	3,5932	3,9481	4,6977	0,5762
-22,66	2	0	0,5	3,4244	1,2053	1,8808	3,3960	0,3440
-24,50	1	2	1,5	4,4369	2,5623	2,9281	4,1636	0,5316
-26,32	1	2	2,5	4,6505	2,5941	2,9938	4,3249	0,5194
-36,06	1	0	0,5	3,5079	1,1508	1,5890	3,3209	0,3968

Таблица П.6

 $A = 155 \ Z = 63 \ RO = 1,24 \ VO = 59,2 \ \alpha = 0,36 \ \beta = 1,63$

Базисные волновые функции

$+E$	$N+1$	L	J	A	$B1$	C	B	Nn
+22,70	1	7	6,5	5,5230	4,4144	4,4679	3,2466	0,5385
+9,92	1	7	7,5	5,9456	4,7559	4,9484	4,5612	0,6014
+5,18	3	1	0,5	4,1363	1,8685	2,7435	3,2096	0,1717
+4,69	2	3	2,5	4,7327	2,7889	3,4234	3,6426	0,3729
+3,68	3	1	1,5	4,2036	1,8650	2,7573	3,3543	0,1729
+1,38	1	5	4,5	5,1436	3,8722	4,0996	4,2500	0,5946
+0,62	2	3	3,5	4,9317	2,8029	3,4918	3,9746	0,3742
-6,12	1	5	5,5	5,5303	4,0177	4,3339	4,7478	0,5924
-13,79	2	1	0,5	3,9724	1,8374	2,5097	3,7165	0,3655
-15,12	2	1	1,5	4,0702	1,8378	2,5276	3,7945	0,3607
-16,89	1	3	2,5	4,7161	3,0663	3,3965	4,3173	0,5653
-20,21	1	3	3,5	4,9984	3,1230	3,5054	4,5629	0,5524
-30,89	1	1	0,5	4,0623	1,9575	2,3516	3,8569	0,4815
-31,66	1	1	1,5	4,2001	1,9751	2,3884	3,9508	0,4731

Таблица П.7

 $A = 155P$

β_{20}	.280	.280	.280	.280	.280	.280
β_{40}	.060	.060	.060	.060	.060	.060

Продолжение табл. П.7

Омега = 1/2						Омега = 3/2
Энергия	-11.420	-8.799	-4.642	-2.065	-1.049	-9.464
$Nn_z\Lambda$	431	420	411	400	660	422
a	-2.688	1.627	-.519	6.518	.265	0
1 10 21/2	.002	-.003	.002	.058	.007	.002
1 8 17/2	.011	-.014	.008	.246	.031	.011
1 6 11/2	.165	.099	-.099	-.003	-.060	.470
2 4 9/2	-.013	.102	.109	.392	-.002	-.031
1 6 13/2	.049	-.063	.025	.834	.103	.049
3 0 1/2	-.199	.434	-.371	-.068	.780	0
2 2 3/2	.488	-.103	.681	-.104	.510	.306
2 2 5/2	-.156	.689	.458	-.104	-.271	-.199
1 4 7/2	.768	.406	-.363	.044	-.173	.871
1 4 9/2	.214	-.365	-.178	-.243	.029	.258
2 0 1/2	.057	-.063	.009	-.007	.082	0
1 2 3/2	-.169	-.018	.021	-.008	.050	-.089
1 2 5/2	.027	-.022	.043	.001	-.048	.028
1 0 1/2	.040	-.014	.003	-.002	.022	0
Омега = 3/2						Омега = 5/2
Энергия	-6.275	-1.453	-.755	-6.835	-3.661	-.224
$Nn_z\Lambda$	411	402	651	413	402	642
1 10 21/2	-.001	.055	-.011	.001	.001	.051
1 8 17/2	-.003	.238	-.045	.005	.004	.229
1 6 11/2	.080	-.056	-.058	.151	.050	-.072
2 4 9/2	.134	.375	-.023	-.044	.098	.328
1 6 13/2	-.017	.845	-.157	.026	.014	.893
2 2 3/2	-.153	.165	.918	0	0	0
2 2 5/2	.877	-.066	.244	-.215	.946	-.076
1 4 7/2	.323	-.031	-.232	.937	.245	.025
1 4 9/2	-.277	-.224	-.023	.224	-.143	-.170
1 2 3/2	-.013	.016	.101	0	0	0
1 2 5/2	.040	.004	.046	.016	.108	-.006
Омега = 7/2						Омега = 9/2
Энергия	-11.931	-3.768	-10.233			
$Nn_z\Lambda$	413	404	404			
1 10 21/2	.003	.000	.001			
1 8 17/2	.020	.001	.009			
1 6 11/2	-.064	.107	-.045			
2 4 9/2	-.052	-.033	-.413			
1 6 13/2	.129	.004	.074			
1 4 7/2	-.133	.984	0			
1 4 9/2	.979	.139	.990			

Таблица П.8

 $A = 155P$

β_{20}	.280	.280	.280	.280	.280	.280
β_{40}	.060	.060	.060	.060	.060	.060
Омега = 1/2						Омега = 3/2
Энергия	-11.698	-9.393	-3.568	-1.751	-8.614	-1.508
$Nn_z\Lambda$	301	550	541	530	541	532
a	.635	-5.462	1.552	-.401	0	0
1 9 19/2	.000	.046	.020	-.026	.045	.019
1 7 13/2	-.008	-.017	.134	.143	-.045	.167
1 7 15/2	.001	.213	.081	-.102	.214	.076
3 1 1/2	-.056	-.032	.295	-.098	0	0
2 3 5/2	.102	-.038	.496	.199	-.058	.441
3 1 3/2	-.052	.139	-.363	.477	.075	-.189
1 5 9/2	-.051	-.042	.553	.548	-.101	.743
2 3 7/2	.052	.417	-.259	.527	.368	-.297
1 5 11/2	-.001	.830	.267	-.298	.869	.264
2 1 1/2	.849	.024	-.128	.013	0	0
2 1 3/2	.401	-.121	.120	-.108	-.061	.054
1 3 5/2	-.286	.025	-.185	-.112	.041	-.150
1 3 7/2	-.098	-.224	.023	-.014	-.187	.025
1 1 1/2	.063	.000	-.015	.002	0	0
1 1 3/2	.048	-.008	.018	-.021	-.005	.011
Омега = 5/2		Омега = 7/2	Омега = 9/2	Омега = 11/2		
Энергия	-7.244	-5.507	-3.619	-1.737		
$Nn_z\Lambda$	532	523	514	505		
1 9 19/2	.041	.032	.021	.010		
1 7 13/2	-.063	-.068	-.061	-.044		
1 7 15/2	.203	.175	.131	.076		
2 3 5/2	-.042	0	0	0		
1 5 9/2	-.134	-.137	-.106	0		
2 3 7/2	.278	.163	0	0		
1 5 11/2	.916	.956	.984	.996		
1 3 5/2	.030	0	0	0		
1 3 7/2	-.128	-.067	0	0		

Т а б л и ц а П.9

 $A = 165 \quad Z = 0 \quad RO = 1,26 \quad VO = 44,8 \quad \chi = 0,43 \quad \alpha = 1,67$

Базисные волновые функции

$+E$	$N + 1$	L	J	A	$B1$	C	B	Nn
+10,69	1	8	8,5	6,4238	5,0276	5,1469	4,0257	0,5496
+3,99	1	6	5,5	5,5633	4,1374	4,3081	3,8102	0,5505
+0,67	2	4	4,5	5,5190	3,1474	3,8151	3,5741	0,3399
-4,75	1	6	6,5	6,0123	4,3356	4,6330	4,6230	0,5676
-11,53	2	2	1,5	4,5375	2,3098	2,9694	3,7228	0,3571
-11,64	3	0	0,5	3,7063	1,3084	2,1766	3,2596	0,1683
-13,83	2	2	2,5	4,6955	2,3072	2,9890	3,8896	0,3519
-14,35	1	4	3,5	5,1385	3,4279	3,7295	4,2689	0,5547
-18,80	1	4	4,5	5,5020	3,4891	3,8637	4,6235	0,5416
-28,20	2	0	0,5	3,4675	1,1886	1,8349	3,2825	0,3311
-29,50	1	2	1,5	4,5604	2,4676	2,8302	4,0542	0,5009
-30,97	1	2	2,5	4,7767	2,4740	2,8602	4,1995	0,4854
-40,63	1	0	0,5	3,3216	1,0705	1,4212	2,9797	0,3809

Т а б л и ц а П.10

 $A = 165 \quad Z = 0 \quad RO = 1,26 \quad VO = 44,8 \quad \chi = 0,43 \quad \alpha = 1,67$

Базисные волновые функции

$+E$	$N + 1$	L	J	A	$B1$	C	B	Nn
+13,91	1	7	6,5	5,7730	4,3772	4,4250	3,0999	0,5029
+2,82	1	7	7,5	6,2262	4,7162	4,9314	4,4419	0,5675
-2,91	3	1	0,5	4,2959	1,8456	2,7151	3,1218	0,1622
-2,98	2	3	2,5	4,9225	2,7437	3,3799	3,5258	0,3508
-4,43	3	1	1,5	4,3581	1,8425	2,7233	3,2684	0,1656
-5,51	1	5	4,5	5,3577	3,8166	4,0597	4,1546	0,5624
-6,47	2	3	3,5	5,1259	2,7465	3,4306	3,8801	0,3526
-11,98	1	5	5,5	5,7753	3,9312	4,2833	4,6742	0,5588
-19,95	2	1	0,5	4,0785	1,8063	2,4623	3,6253	0,3488
-21,43	2	4	1,5	4,1776	1,8026	2,4690	3,7018	0,3436
-22,39	1	3	2,5	4,8819	2,9863	3,3237	4,2313	0,5342
-25,15	1	3	3,5	5,1782	3,0107	3,3999	4,4688	0,5180
-35,57	1	1	0,5	4,0999	1,8550	2,2182	3,6859	0,4529
-36,17	1	1	1,5	4,2320	1,8554	2,2333	3,7611	0,4424

Т а б л и ц а П.11

 $A = 165N$

β_{20}	.280	.280	.280	.280	.280	.280
β_{40}	.020	.020	.020	.020	.020	.020

Продолжение табл. П.11

Омега = 1/2				Омега = 3/2		Омега = 5/2
Энергия	-11.776	-8.384	-7.575	-8.041	-7.170	-10.545
$Nn_z\Lambda$	411	400	660	402	651	402
a	-.542	.160	6.628	0	0	0
1 8 17/2	-.005	0	.201	.002	.199	-.005
1 6 11/2	-.104	-.077	-.015	-.088	-.039	.067
2 4 9/2	.076	-.069	.417	.066	.395	.093
1 6 13/2	-.044	.009	.860	.002	.874	-.042
2 2 3/2	.673	.519	.007	.921	-.034	-.0
3 -0 1/2	-.365	.766	.020	0	0	0
2 2 5/2	.470	-.280	-.059	.240	-.048	.939
1 4 7/2	-.377	-.194	.001	-.252	.017	.260
1 4 9/2	-.175	.078	-.206	-.082	-.190	-.159
2 -0 1/2	.011	-.076	.001	0	0	0
1 2 3/2	.014	.047	.001	.096	-.004	0
1 2 5/2	.035	-.047	.005	.045	.005	.102
1 -0 1/2	.003	.017	-.000	0	0	0
Омега = 5/2		Омега = 7/2		Омега 9/2	Омега = 11/2	
Энергия	-6.381	-10.403	-5.250	-3.825	-2.100	
$Nn_z\Lambda$	642	404	633	624	615	
1 8 17/2	.193	.003	.183	.164	.135	
1 6 11/2	-.068	.120	-.089	-.100	-.090	
2 4 9/2	.351	-.031	.277	.178	0	
1 6 13/2	.899	.026	.930	.961	.987	
2 2 5/2	-.020	0	0	0	0	
1 4 7/2	.043	.981	.014	0	0	
1 4 9/2	-.164	.150	-.127	-.083	0	
1 2 5/2	.005	0	0	0	0	

Таблица П.12

 $A = 165N$

β_{20}	.280	.280	.280	.280	.280	.280
β_{40}	.020	.020	.020	.020	.020	.020
Омега = 1/2					Омега = 3/2	
Энергия	-9.634	-8.405	-5.193	-2.634	-8.158	-6.698
$Nn_z\Lambda$	541	530	521	510	532	521

П р о д о л ж е н и е т а б л. П.12

a	.518	.549	.369	-.218	0	0
1 9 19/2	.012	-.013	.046	.048	.013	-.016
1 7 13/2	.095	.137	.108	-.096	.132	.128
1 7 15/2	.083	-.085	.087	.087	.082	-.095
3 1 1/2	.310	-.030	-.582	.068	0	0
2 3 5/2	.467	.306	-.341	.531	.462	.069
3 1 3/2	-.451	.434	.220	.643	-.249	.346
1 5 9/2	.469	.610	.434	-.314	.680	.539
2 3 7/2	-.339	.479	-.499	-.411	-.374	.701
1 5 11/2	.293	-.258	.180	.093	.276	-.243
2 1 1/2	-.095	-.004	.078	-.034	0	0
2 1 3/2	.119	-.087	-.006	.041	.058	-.054
1 3 5/2	-.144	-.124	-.034	.029	-.137	-.069
1 3 7/2	.026	-.013	-.022	-.042	.023	.015
1 1 1/2	-.009	.001	.017	-.011	0	0
1 1 3/2	.018	-.016	.000	.009	.010	-.013
Омега = 3/2		Омега = 5/2		Омега = 7/2		
Энергия	-2.213	-.398	-6.218	-4.616	-11.855	-3.687
$Nn_z\Lambda$	512	501	523	512	523	514
1 9 19/2	-.049	.015	.012	-.015	.018	.010
1 7 13/2	-.086	-.080	.143	.112	-.064	.132
1 7 15/2	-.092	.066	.076	-.089	.168	.066
2 3 5/2	.653	.586	.325	-.042	0	0
3 1 3/2	-.517	.732	0	0	0	0
1 5 9/2	-.327	-.236	.802	.472	-.136	.868
2 3 7/2	.409	-.194	-.395	.847	.193	-.426
1 5 11/2	-.111	.017	.249	-.180	.951	.207
2 1 3/2	-.017	.109	0	0	0	0
1 3 5/2	.042	.046	-.085	-.036	0	0
1 3 7/2	.048	-.029	.014	.062	-.083	-.014
1 1 3/2	-.000	.026	0	0	0	0
Омега = 7/2		Омега = 9/2		Омега = = 11/2		
Энергия	-2.297	-10.214	-.356	-8.034		
$Nn_z\Lambda$	503	514	505	505		
1 9 19/2	-.010	.015	.005	.009		
1 7 13/2	.091	-.063	.112	-.050		
1 7 15/2	-.061	.146	.035	.105		
1 5 9/2	.443	-.117	.986	0		
2 3 7/2	.877	0	0	0		
1 5 11/2	-.087	.980	.120	.993		
1 3 7/2	.121	0	0	0		

Таблица П.13

 $A = 165 \quad Z = 67 \quad RO = 1,25 \quad VO = 59,2 \quad \kappa = 0,355 \quad \alpha = 1,63$

Базисные волновые функции

$+E$	$N+1$	L	J	A	B_1	C	B	Nn
+30,94	1	8	7,5	5,8358	4,6489	4,6100	3,4589	0,5347
+16,65	1	8	8,5	6,2531	5,1019	5,2461	4,4739	0,5928
+12,25	2	4	3,5	5,1611	3,1768	3,7779	3,1606	0,3430
+9,54	1	6	5,5	5,4592	4,2177	4,3997	4,1850	0,5871
+7,27	2	4	4,5	5,3818	3,2115	3,8909	3,9110	0,3662
+0,32	1	6	6,5	5,8778	4,4106	4,7047	4,8457	0,5956
-5,59	3	0	0,5	3,6883	1,3174	2,2085	3,4124	0,1739
-5,80	2	2	1,5	4,4959	2,3490	3,0310	3,9104	0,3716
-8,22	2	2	2,5	4,6500	2,3497	3,0566	4,0650	0,3659
-9,50	1	4	3,5	5,0785	3,5100	3,8192	4,4664	0,5784
-14,23	1	4	4,5	5,4140	3,5985	3,9718	4,7963	0,5675
-22,99	2	0	0,5	3,5282	1,1999	1,8870	3,4496	0,3363
-24,90	1	2	1,5	4,5758	2,5679	2,9543	4,2481	0,5208
-26,55	1	2	2,5	4,7862	2,6069	3,0205	4,4042	0,5099
-35,73	1	0	0,5	3,6592	1,1603	1,6157	3,3996	0,3862

Таблица П.14

 $A = 165 \quad Z = 67 \quad RO = 1,25 \quad VO = 59,2 \quad \kappa = 0,355 \quad \alpha = 1,63$

Базисные волновые функции

$+E$	$N+1$	L	J	A	B_1	C	B	Nn
+20,09	1	7	6,5	5,6387	4,4904	4,5810	3,6006	0,5567
+14,66	2	5	5,5	5,7176	3,5782	4,2113	3,2978	0,3379
+8,29	1	7	7,5	6,0738	4,7770	5,0032	4,7323	0,5995
+4,09	3	1	0,5	4,2188	1,8650	2,7537	3,3629	0,1724
+3,31	2	3	2,5	4,8373	2,7917	3,4496	3,8033	0,3726
+2,65	3	1	1,5	4,2864	1,8619	2,7626	3,4817	0,1726
-0,37	1	5	4,5	5,2767	3,8998	4,1510	4,4031	0,5902
-0,49	2	3	3,5	5,0372	2,8029	3,5069	4,0945	0,3712
-7,20	1	5	5,5	5,6605	4,0193	4,3671	4,8624	0,5851
-14,55	2	1	0,5	4,0824	1,8351	2,5198	3,7910	0,3589
-15,76	2	1	1,5	4,1780	1,8355	2,5355	3,8648	0,3542
-17,72	1	3	2,5	4,8530	3,0729	3,4247	4,4154	0,5554
-20,71	1	3	3,5	5,1304	3,1361	3,5327	4,6499	0,5436
-30,92	1	4	0,5	4,2039	1,9652	2,3764	3,9341	0,4705
-31,61	1	1	1,5	4,3401	1,9856	2,4128	4,0260	0,4629

Таблица П.15

 $A = 165P$

β_{20}	.280	.280	.280	.280	.280	.280
β_{40}	.020	.020	.020	.020	.020	.020

Продолжение табл. П.15

Омега = 1/2		Омега = 3/2				
Энергия	-9.919	-6.223	-2.933	-2.029	-11.077	-7.654
$Nn_z\Lambda$	420	411	400	660	422	411
a	1.827	-.735	6.649	.391	0	0
1 10 21/2	-.001	-.004	.035	.003	.001	-.001
1 8 15/2	.011	-.015	-.011	-.011	.020	.013
1 8 17/2	-.012	-.008	.228	.017	.007	-.011
2 4 7/2	-.003	.084	-.013	.104	.082	-.049
1 6 11/2	.089	-.113	-.018	-.067	.184	.092
2 4 9/2	.085	.086	.401	-.072	-.023	.121
1 6 13/2	-.091	-.055	.852	.073	.060	-.082
3 0 1/2	.483	-.303	-.023	.795	0	0
2 2 3/2	-.148	.695	-.017	.448	.338	-.192
2 2 5/2	.701	.460	-.039	-.295	-.173	.864
1 4 7/2	.333	-.389	.015	-.184	.858	.322
1 4 9/2	-.332	-.174	-.240	.075	.248	-.281
2 0 1/2	-.082	.016	-.004	.086	0	0
1 2 3/2	-.005	.044	-.002	.050	-.110	-.010
1 2 5/2	-.034	.035	.011	-.056	.030	.027
1 0 1/2	-.020	.005	-.002	.025	0	0
Омега = 3/2		Омега = 5/2			Омега = 7/2	
Энергия	-2.526	-1.916	-8.524	-4.504	-1.705	-5.220
$Nn_z\Lambda$	402	651	413	402	642	404
1 10 21/2	.035	-.002	.001	-.001	.033	.000
1 8 15/2	-.032	-.011	.018	.009	-.049	.012
1 8 17/2	.226	-.011	.006	-.008	.222	.004
2 4 7/2	-.024	.123	-.003	-.076	-.031	-.104
1 6 11/2	-.061	-.080	.172	.061	-.092	.129
2 4 9/2	.381	.059	-.037	.125	.339	-.031
1 6 13/2	.864	-.050	.052	-.055	.886	.031
2 2 3/2	.048	.901	0	0	0	0
2 2 5/2	-.036	.274	-.182	.938	-.029	0
1 4 7/2	.014	-.255	.939	.218	.021	.974
1 4 9/2	-.223	-.075	.227	-.175	-.191	.148
1 2 3/2	.002	.106	0	0	0	0
1 2 5/2	.009	.054	.023	.115	.005	0
Омега = 7/2		Омега = 9/2				
Энергия	-.470	-10.914				
$Nn_z\Lambda$	633	404				
1 10 21/2	.030	.001				
1 8 15/2	-.062	-.008				
1 8 17/2	.213	.010				
2 4 7/2	-.024	0				
1 6 11/2	-.114	-.058				
2 4 9/2	.273	-.123				
1 6 13/2	.916	.116				
1 4 7/2	.045	0				
1 4 9/2	-.151	.984				

Таблица П.16

 $A = 165P$

β_{20}	.280	.280	.280	.280	.280	.280
β_{40}	.020	.020	.020	.020	.020	.020
Омега = 1/2				Омега = 3/2		
Энергия	-10.273	-4.463	-3.111	-9.677	-3.144	-1.168
$Nn_z\Lambda$	550	541	530	541	532	521
a	-5.547	2.452	-1.259	0	0	0
1 9 19/2	.031	.010	-.017	.030	.041	-.016
1 7 13/2	-0.14	.147	.120	-.039	.171	.115
2 5 11/2	.137	-.017	.062	.115	-.022	.099
1 7 15/2	.218	.064	-.105	.217	.070	-.102
3 1 1/2	-.022	.252	-.123	0	0	0
2 3 5/2	-.023	.503	.138	-.045	.442	-.032
3 1 3/2	.105	-.304	.519	.058	-.170	.370
1 5 9/2	-.034	.642	.472	-.088	.773	.407
2 3 7/2	.426	-.224	.555	.386	-.243	.750
1 5 11/2	.826	.209	-.328	.857	.229	-.303
2 1 1/2	.029	-.095	.031	0	0	0
2 1 3/2	-.052	.104	-.137	-.017	.052	-.077
1 3 5/2	.012	-.196	-.088	.028	-.167	-.046
1 3 7/2	-.227	.024	-.025	-.198	.027	.008
1 1 1/2	.003	-.009	.006	0	0	0
1 1 3/2	.002	.018	-.028	.004	.009	-.021
Омега = 5/2			Омега = 7/2	Омега = 9/2	Омега = 11/2	
Энергия	-8.604	-4.102	-7.138	-5.248	-2.770	
$Nn_z\Lambda$	532	523	523	514	505	
1 9 19/2	.027	.011	.023	.017	.010	
1 7 13/2	-.060	.476	-.070	-.069	-.054	
2 5 11/2	.073	-.030	.015	-.049	-.111	
1 7 15/2	.210	.069	.193	.163	.115	
2 3 5/2	-.035	.301	0	0	0	
1 5 9/2	-.128	.862	-.143	-.123	0	
2 3 7/2	.307	.259	.198	0	0	
1 5 11/2	.901	.226	.942	.975	.986	
1 3 5/2	.049	-.102	0	0	0	
1 3 7/2	-.152	.023	-.098	0	0	

Таблица П.17

 $A = 173 \quad Z = 0 \quad RO = 1,26 \quad VO = 44,8 \quad \kappa = 0,42 \quad \alpha = 1,67$

Базисные волновые функции

$+E$	$N+1$	L	J	A	$B1$	C	B	Nn
+9,60	1	8	8,5	6,4943	5,0465	5,1848	4,1798	0,5535
+2,59	1	6	5,5	5,6344	4,1557	4,3458	3,9529	0,5532
-0,12	2	4	4,5	5,5662	3,1452	3,8219	3,6942	0,3420
-5,62	1	6	6,5	6,0840	4,3377	4,6510	4,6957	0,5650
-12,38	2	2	1,5	4,5954	2,3058	2,9723	3,7811	0,3548
-12,39	3	0	0,5	3,7483	1,3058	2,1794	3,3005	0,1675
-14,55	2	2	2,5	4,7513	2,3043	2,9908	3,9388	0,3494
-15,30	1	4	3,5	5,2146	3,4353	3,7480	4,3376	0,5508
-19,43	1	4	4,5	5,5693	3,4872	3,8668	4,6717	0,5368
-28,66	2	0	0,5	3,5161	1,1845	1,8353	3,3047	0,3274
-29,99	1	2	1,5	4,6341	2,4664	2,8310	4,0934	0,4945
-31,35	1	2	2,5	4,8417	2,4740	2,8675	4,2325	0,4805
-40,77	1	0	0,5	3,3794	1,0656	1,4191	2,9979	0,3744

Таблица П.18

 $A = 173 \quad Z = 0 \quad RO = 1,26 \quad VO = 44,8 \quad \kappa = 0,42 \quad \alpha = 1,67$

Базисные волновые функции

$+E$	$N+1$	L	J	A	$B1$	C	B	Nn
+12,33	1	7	6,5	5,8370	4,4096	4,4886	3,1600	0,5052
+1,84	1	7	7,5	6,2936	4,7064	4,9484	4,5355	0,5660
-3,67	3	1	0,5	4,3353	1,8427	2,7178	3,2126	0,1630
-3,93	2	3	2,5	4,9769	2,7426	3,3909	3,6257	0,3515
-4,87	3	1	1,5	4,3969	1,8402	2,7235	3,3419	0,1639
-6,69	1	5	4,5	5,4329	3,8244	4,0830	4,2448	0,5602
-7,25	2	3	3,5	5,1784	2,7449	3,4358	3,9470	0,3516
-12,73	1	5	5,5	5,8425	3,9264	4,2851	4,7337	0,5544
-20,63	2	1	0,5	4,1350	1,8046	2,4630	3,6642	0,3454
-21,73	2	1	1,5	4,2298	1,8003	2,4705	3,7354	0,3405
-23,09	1	3	2,5	4,9576	2,9801	3,3290	4,2854	0,5281
-25,65	1	3	3,5	5,2450	3,0105	3,4035	4,5109	0,5130
-35,88	1	1	0,5	4,1689	1,8518	2,2210	3,7160	0,4464
-36,43	1	1	1,5	4,2948	1,8554	2,2351	3,7869	0,4369

Таблица П.19

 $A = 173N$

β_{20}	.260	.260	.260	.260	.260
β_{40}	-.020	-.020	-.020	-.020	-.020

Продолжение табл. П.19

Омега = 1/2			Омега = 3/2			
Энергия	-9.296	-7.899	-.338	-9.058	-7.680	-0.062
$Nn_z\Lambda$	400	660	651	402	651	642
α	.259	6.659	5.329	0	0	0
1 8 17/2	.011	.176	-.165	-.010	.177	-.159
1 6 11/2	-.091	-.010	-.016	-.104	-.037	-.025
2 4 9/2	-.066	.404	.898	.059	.385	.908
1 6 13/2	.073	.877	-.374	-.061	.887	-.356
2 2 3/2	.502	-.010	.002	.914	.011	-.039
3 0 1/2	.767	-.019	.050	0	0	0
2 2 5/2	-.297	.011	-.150	.251	.008	-.139
1 4 7/2	-.190	.003	.004	-.255	-.003	.018
1 4 9/2	.083	-.187	.019	-.083	-.180	.026
2 0 1/2	.074	-.005	.010	0	0	0
1 2 3/2	.045	-.001	.001	.094	.003	-.008
1 2 5/2	-.049	.016	-.030	.046	.014	-.027
1 0 1/2	.017	-.002	.002	0	0	0
Омега = 5/2			Омега = 7/2		Омега = 9/2	Омега = 11/2
Энергия	-11.409	-7.213	-11.583	-6.441	-5.253	-3.483
$Nn_z\Lambda$	402	642	404	633	624	615
1 8 17/2	-.009	.179	.005	.179	.175	.161
1 6 11/2	.076	-.059	.134	-.083	-.098	-.095
2 4 9/2	.104	.347	-.033	.286	.198	0
1 6 13/2	-.081	.903	.046	.927	.954	.982
2 2 5/2	.937	.012	0	0	0	0
1 4 7/2	.241	.002	.977	-.000	0	0
1 4 9/2	-.176	-.168	.158	-.144	-.106	0
1 2 5/2	.100	.012	0	0	0	0
Омега = 13/2						
Энергия	— .865					
$Nn_z\Lambda$	606					
1 8 17/2	.125					
1 6 13/2	.992					

Т а б л и ц а П.20
 $A=173N$

β_{20}	.260	.260	.260	.260	.260	.260
β_{40}	-.020	-.020	-.020	-.020	-.020	-.020
Омега = 1/2						Омега = 3/2
Энергия	-9.934	-9.240	-6.397	-3.872	-.390	-9.422
$Nn_z\Lambda$	541	530	521	510	501	532
a	.557	.614	.552	-.239	.625	0
1 9 19/2	-.006	-.007	-.012	.019	.052	.007
1 7 13/2	-.088	.122	-.102	-.102	.078	.422
1 7 15/2	-.078	-.084	-.097	.119	.234	.079
3 1 1/2	-.271	-.026	.609	.025	.722	0
2 3 5/2	-.445	.306	.380	.546	-.484	.462
3 1 3/2	.457	.434	-.229	.631	.340	-.244
1 5 9/2	-.503	.618	-.409	-.304	.167	.703
2 3 7/2	.399	.489	.456	-.414	-.151	-.367
1 5 11/2	-.242	-.227	-.163	.102	.002	.231
2 1 1/2	.067	.004	-.095	-.033	.095	0
2 1 3/2	-.110	-.093	.011	.030	.054	.058
1 3 5/2	.131	-.117	.021	.022	-.043	-.139
1 3 7/2	-.030	-.020	.015	-.039	-.025	.026
1 1 1/2	.005	.003	-.021	-.011	.021	0
1 1 3/2	-.018	-.017	.001	.007	.013	.009
Омега = 3/2			Омега = 5/2		Омега = 7/2	
Энергия	-7.933	-3.518	-1.462	-7.649	-5.922	-5.266
$Nn_z\Lambda$	521	512	501	523	512	514
1 9 19/2	-.011	-.019	.030	.008	-.015	.010
1 7 13/2	.117	-.102	-.087	.142	.108	.448
1 7 15/2	-.109	-.121	.147	.082	-.124	.081
2 3 5/2	.059	.718	.505	.533	-.073	0
3 1 3/2	.369	-.423	.775	0	0	0
1 5 9/2	.520	-.346	-.198	.830	.423	.920
2 3 7/2	.705	.380	-.241	-.339	.862	-.296
1 5 11/2	-.241	-.112	.025	.220	-.203	.192
2 1 3/2	-.069	-.001	.111	0	0	0
1 3 5/2	-.064	.037	.040	-.098	-.030	0
1 3 7/2	.002	.041	-.036	.021	.049	.006
1 1 3/2	-.017	.003	.027	0	0	0
Омега = 7/2		Омега = 9/2		Омега = 11/2		
Энергия	-3.184	-11.445	-1.783	-8.867		
$Nn_z\Lambda$	503	514	505	505		
1 9 19/2	-.018	.010	.009	.009		
1 7 13/2	0.85	-.065	.128	-.057		
1 7 15/2	-.120	.165	.063	.138		
1 5 9/2	.318	-.125	.982	0		
2 3 7/2	.920	0	0	0		
1 5 11/2	-.422	.976	.124	.989		
1 3 7/2	.423	0	0	0		

Таблица П.21

 $A = 173 \quad Z = 71 \quad RO = 1,25 \quad VO = 59,2 \quad \kappa = 0,32 \quad \alpha = 1,59$

Базисные волновые функции

$+E$	$N+1$	L	J	A	$B1$	C	B	Nn
+29,15	1	8	7,5	5,9392	4,6606	4,6455	3,3820	0,5231
+16,74	1	8	8,5	6,3181	5,0518	5,2013	4,4832	0,5835
+11,57	2	4	3,5	5,2368	3,1794	3,7913	3,3911	0,3495
+9,70	3	2	2,5	4,8620	2,3152	3,2195	3,0383	0,1566
+8,56	1	6	5,5	5,5577	4,2267	4,4195	4,2783	0,5823
+7,19	2	4	4,5	5,4384	3,2056	3,8867	3,9608	0,3639
+0,58	1	6	6,5	5,9334	4,3962	4,6816	4,8518	0,5884
-5,60	3	0	0,5	3,7406	1,3140	2,2126	3,4399	0,1722
-6,00	2	2	1,5	4,5682	2,3460	3,0328	3,9532	0,3673
-8,09	2	2	2,5	4,7060	2,3510	3,0619	4,0869	0,3626
-9,74	1	4	3,5	5,1674	3,5181	3,8295	4,5118	0,5711
-13,84	1	4	4,5	5,4674	3,5958	3,9654	4,8003	0,5616
-22,57	2	0	0,5	3,5820	1,1977	1,8934	3,4642	0,3323
-24,56	1	2	1,5	4,6524	2,5792	2,9648	4,2714	0,5144
-25,99	1	2	2,5	4,8411	2,6039	3,0191	4,4105	0,5041
-34,97	1	0	0,5	3,7247	1,1672	1,6287	3,4161	0,3818

Таблица П.22

 $A = 173 \quad Z = 71 \quad RO = 1,25 \quad VO = 59,2 \quad \kappa = 0,32 \quad \alpha = 1,59$

Базисные волновые функции

$+E$	$N+1$	L	J	A	$B1$	C	B	Nn
+18,70	1	7	6,5	5,7413	4,4802	4,5967	3,8083	0,5587
+14,55	2	5	5,5	5,7717	3,5721	4,2052	3,3339	0,3361
+8,48	1	7	7,5	6,1320	4,7353	4,9660	4,7381	0,5908
+3,79	3	1	0,5	4,2765	1,8627	2,7549	3,4245	0,1715
+2,82	2	3	2,5	4,9134	2,7883	3,4522	3,8752	0,3696
+2,54	3	1	1,5	4,3389	1,8603	2,7664	3,5268	0,1716
-0,47	2	3	3,5	5,0937	2,8009	3,5058	4,1251	0,3680
-0,96	1	5	4,5	5,3702	3,8921	4,1582	4,4645	0,5829
-6,88	1	5	5,5	5,7145	4,0127	4,3476	4,8692	0,5783
-14,42	2	1	0,5	4,1467	1,8348	2,5280	3,8163	0,3547
-15,48	2	1	1,5	4,2328	1,8351	2,5397	3,8813	0,3504
-17,64	1	3	2,5	4,9351	3,0772	3,4346	4,4469	0,5482
-20,24	1	3	3,5	5,1841	3,1338	3,5264	4,6549	0,5375
-30,36	1	1	0,5	4,2760	1,9693	2,3845	3,9523	0,4640
-30,96	1	1	1,5	4,4006	1,9865	2,4189	4,0384	0,4574

Таблица П.23

 $A = 173 \quad P$

β_{20}	.260	.260	.260	.260	.260	.260
β_{40}	−0.20	−.020	−.020	−.020	−.020	−.020

Продолжение табл. П.23

Омега = 1/2							Омега = 3/2	
Энергия	-9.995	-6.761	-2.333	-2.110	-11.420	-8.006		
$Nn_z\Lambda$	420	411	400	660	422	411		
a	2.017	-.775	1.828	5.236	0	0		
1 10 21/2	.001	.000	.004	.008	-.001	.001		
1 8 15/2	.005	-.011	-.014	-.002	.008	.009		
1 8 17/2	-.008	-.041	.098	.165	.004	-.012		
2 4 7/2	-.006	.076	.094	-.056	.085	-.044		
3 2 5/2	.057	.001	.062	.080	-.004	.018		
1 6 11/2	.069	-.120	-.082	.020	.173	.094		
2 4 9/2	.072	.072	.098	.444	-.012	.106		
1 6 13/2	-.107	-.091	.451	.730	.060	-.121		
3 0 1/2	.517	-.279	.701	-.367	0	0		
2 2 3/2	-.191	.715	.387	-.186	.350	-.220		
2 2 5/2	.710	.450	-.283	.143	-.153	.861		
1 4 7/2	.253	-.377	-.162	.081	.869	.302		
1 4 9/2	-.304	-.175	-.012	-.240	.206	-.285		
2 0 1/2	-.094	.024	.073	-.041	0	0		
1 2 3/2	.008	.003	.044	-.024	-.122	-.005		
1 2 5/2	-.043	.025	-.044	.041	.029	.012		
1 0 1/2	-.023	.006	.022	-.013	0	0		
Омега = 3/2				Омега = 5/2			Омега = 7/2	
Энергия	-2.399	-1.904	-9.201	-4.607	-1.408	-5.756		
$Nn_z\Lambda$	402	651	413	402	642	404		
1 10 21/2	-.002	.010	-.000	-.000	.012	.000		
1 8 15/2	-.008	-.026	.011	.011	-.040	.011		
1 8 17/2	-.040	.192	.006	-.019	.200	.007		
2 4 7/2	.135	.000	.007	-.077	-.029	-.101		
3 2 5/2	-.023	.076	.015	-.044	.042	0		
1 6 11/2	-.091	-.067	.176	.075	-.082	.144		
2 4 9/2	.047	.400	-.026	.122	.355	-.030		
1 6 13/2	-.192	.847	.071	-.120	.883	.055		
2 2 3/2	.878	.138	0	0	0	0		
2 2 5/2	.284	.051	-.166	.931	.033	0		
1 4 7/2	-.258	-.032	.940	.206	.011	.969		
1 4 9/2	-.057	-.224	.225	-.185	-.202	.160		
1 2 3/2	.102	.017	0	0	0	0		
1 2 5/2	.051	.024	.027	.413	.017	0		

Продолжение табл. П.23

Омега = 7/2		Омега = 9/2
Энергия	—.569	—10.594
$Nn_z\Lambda$	633	404
1 10 21/2	.014	—.000
1 8 15/2	—.055	—.008
1 8 17/2	.205	.011
2 4 7/2	—.018	0
1 6 11/2	—.110	—.065
2 4 9/2	.287	—.117
1 6 13/2	.911	.147
1 4 7/2	—.001	0
1 4 9/2	—.172	.980

Таблица П.24

 $A = 173P$

β_{20}	.260	.260	.260	.260	.260	.260
β_{40}	—.020	—.020	—.020	—.020	—.020	—.020
Омега = 1/2				Омега = 3/2		
Энергия	—9.262	—4.157	—3.078	—9.011	—3.501	—1.645
$Nn_z\Lambda$	550	541	530	541	532	521
a	—5.631	3.708	—2.404	0	0	0
1 9 19/2	.005	—.003	—.041	.006	.006	—.014
1 7 13/2	—.010	—.155	.077	—.029	.164	.098
2 5 11/2	.117	.007	.050	.102	—.010	.078
1 7 15/2	.187	—.038	—.120	.189	.061	—.130
3 1 1/2	—.011	—.186	—.158	0	0	0
2 3 5/2	—.007	—.501	.036	—.029	.441	—.072
3 1 3/2	.063	.189	.581	.038	—.142	.407
2 3 7/2	.407	.144	.619	.380	—.193	.760
1 5 9/2	—.025	—.759	.318	—.070	.810	.344
1 5 11/2	.861	—.109	—.314	.875	.170	—.299
2 1 1/2	.019	.054	.042	0	0	0
2 1 3/2	.015	—.059	—.157	.022	.042	—.099
1 3 5/2	—.002	.193	—.045	.011	—.171	—.033
1 3 7/2	—.196	—.047	—.036	—.188	.025	—.007
1 1 1/2	.004	.001	.007	0	0	0
1 1 3/2	.011	—.010	—.033	.011	.006	—.026
Омега = 5/2		Омега = 7/2	Омега = 9/2	Омега = 11/2		
Энергия	—8.428	—2.013	—7.335	—5.483	—2.511	
$Nn_z\Lambda$	532	523	523	514	505	
1 9 19/2	.008	.008	.011	0.13	.012	
1 7 13/2	—.050	.175	—.066	—.073	—.061	
2 5 11/2	.073	—.016	.029	—.033	—.106	

Продолжение табл. П.24

1	7	15/2	.194	.075	.195	.187	.151	
2	3	5/2	-.026	.309	0	0	0	
2	3	7/2	.318	-.206	.222	0	0	
1	5	9/2	-.118	.878	-.145	-.137	0	
1	5	11/2	.901	.198	.933	.969	.981	
1	3	5/2	.006	-.119	0	0	0	
1	3	7/2	-.164	.026	-.123	0	0	

Таблица П.25

 $A=181 \quad Z=0 \quad RO=1,26 \quad VO=43,4 \quad \chi=0,40 \quad \alpha=1,67$

Базисные волновые функции

+E	N+1	L	J	A	B1	C	B	Nn
+9,77	1	8	8,5	6,5570	5,0263	5,1719	4,1390	0,5434
+2,18	1	6	5,5	5,7372	4,1666	4,3651	4,0035	0,5471
+0,08	2	4	4,5	5,6424	3,1445	3,8212	3,6800	0,3368
-5,18	1	6	6,5	6,1609	4,3211	4,6391	4,6916	0,5564
-11,98	3	0	0,5	3,8074	1,3045	2,1800	3,3059	0,1650
-12,07	2	2	1,5	4,6736	2,3031	2,9750	3,7963	0,3495
-14,02	2	2	2,5	4,8195	2,3048	2,9927	3,9401	0,3446
-15,01	1	4	3,5	5,3100	3,4355	3,7590	4,3614	0,5425
-18,71	1	4	4,5	5,6469	3,4872	3,8745	4,6745	0,5300
-27,79	2	0	0,5	3,5767	1,1823	1,8373	3,3102	0,3222
-29,15	1	2	1,5	4,7180	2,4692	2,8386	4,1089	0,4867
-30,37	1	2	2,5	4,9194	2,4684	2,8660	4,2423	0,4728
-39,52	1	0	0,5	3,4411	1,0660	1,4212	2,9992	0,3680

Таблица П.26

 $A=181 \quad Z=0 \quad RO=1,26 \quad VO=43,4 \quad \chi=0,40 \quad \alpha=1,67$

Базисные волновые функции

+E	N+1	L	J	A	B1	C	B	Nn
+11,57	1	7	6,5	5,9402	4,4319	4,5233	3,2068	0,5017
+2,14	1	7	7,5	6,3765	4,6918	4,9385	4,5224	0,5572
-3,55	3	1	0,5	4,4029	1,8400	2,7183	3,2219	0,1607
-3,90	2	3	2,5	5,0613	2,7404	3,3953	3,6495	0,3468
-4,64	3	1	1,5	4,4623	1,8376	2,7250	3,3432	0,1615
-6,73	1	5	4,5	5,5327	3,8186	4,0982	4,2784	0,5523
-6,89	2	3	3,5	5,2510	2,7427	3,4388	3,9472	0,3468
-12,15	1	5	5,5	5,9208	3,9193	4,2836	4,7339	0,5468
-20,06	2	1	0,5	4,2081	1,8005	2,4673	3,6765	0,3401
-21,03	2	1	1,5	4,2965	1,7964	2,4718	3,7401	0,3354
-22,52	1	3	2,5	5,0492	2,9806	3,3381	4,3053	0,5200
-24,81	1	3	3,5	5,3230	3,0079	3,4038	4,5185	0,5056
-34,83	1	1	0,5	4,2497	1,8521	2,2245	3,7284	0,4387
-35,32	1	1	1,5	4,3698	1,8509	2,2331	3,7959	0,4292

Таблица П.27
 $A = 181 N$

β_{20}	.240	.240	.240	.240	.240	.240
β_{40}	-.030	-.030	-.030	-.030	-.030	-.030
Омега = 1/2			Омега = 3/2		Омега = 5/2	
Энергия	-9.231	-7.138	-.203	-9.108	-6.989	-11.192
$Nn_z\Lambda$	400	660	651	402	651	402
a	.323	6.689	5.297	0	0	0
1 8 17/2	.009	.161	-.156	-.008	.164	-.008
1 6 11/2	-.086	-.010	-.020	-.100	-.035	.071
2 4 9/2	-.067	.387	.907	.059	.370	.101
1 6 13/2	.069	.891	-.358	-.059	.898	-.082
3 0 1/2	.775	-.015	.051	0	0	0
2 2 3/2	.490	-.007	.001	.915	.009	0
2 2 5/2	-.305	.023	-.141	.257	.018	.942
1 4 7/2	-.182	.001	.004	-.250	-.004	.223
1 4 9/2	.087	-.169	.014	-.085	-.166	-.180
2 0 1/2	.069	-.004	.010	0	0	0
1 2 3/2	.042	-.001	.001	.087	.002	0
1 2 5/2	-.047	.016	-.028	.043	.014	.093
1 0 1/2	.016	-.001	.002	0	0	0
Омега = 5/2		Омега = 7/2		Омега = 9/2	Омега = 11/2	Омега = 13/2
Энергия	-6.646	-11.712	-.6.025	-4.989	-3.345	-.813
$Nn_z\Lambda$	642	404	633	624	615	606
1 8 17/2	.467	.004	.169	.168	.158	.125
1 6 11/2	-.056	.130	-.080	-.097	-.096	0
2 4 9/2	.337	-.031	.281	.197	0	0
1 6 13/2	.911	.045	.931	.955	.983	.992
2 2 5/2	.017	0	0	0	0	0
1 4 7/2	-.000	.977	-.001	0	0	0
1 4 9/2	-.159	.159	-.140	-.105	0	0
1 2 5/2	.012	0	0	0	0	0

Таблица II.28

 $A = 181N$

β_{20}	.240	.240	.240	.240	.240	.240
β_{40}	-.030	-.030	-.030	-.030	-.030	-.030
Омега = 1/2						Омега = 3/2
Энергия	-9.368	-8.856	-6.255	-3.924	-.562	-8.857
$Nn_z\Lambda$	541	530	521	510	501	532
a	2.020	-.761	.659	-.287	.828	0
1 9 19/2	-.003	-.005	-.008	.014	.029	.004
1 7 13/2	.104	.094	-.093	-.096	.076	.123
1 7 15/2	-.058	-.090	-.087	.109	.153	.064
3 1 1/2	-.233	-.082	.618	-.002	.736	0
2 3 5/2	-.475	.201	.422	.550	-.479	.454
3 1 3/2	.357	.513	-.230	.635	.361	-.206
1 5 9/2	-.642	.514	-.385	-.289	.161	.760
2 3 7/2	.327	.571	.435	-.418	-.170	-.310
1 5 11/2	-.175	-.248	-.154	.108	.025	.191
2 1 1/2	.051	.015	-.096	-.030	.090	0
2 1 3/2	-.084	-.109	.012	.024	.054	.048
1 3 5/2	.139	-.082	.011	.017	-.041	-.137
1 3 7/2	-.025	-.027	.012	-.036	-.028	.025
1 1 1/2	.003	.004	-.021	-.040	.020	0
1 1 3/2	-.013	-.020	.001	.006	.013	.007
Омега = 3/2				Омега = 5/2		
Энергия	-7.720	-3.653	-1.285	-7.661	-5.855	-.227
$Nn_z\Lambda$	521	512	501	523	512	503
1 9 19/2	-.008	-.014	.021	.006	-.042	-.028
1 7 13/2	.098	-.100	-.080	.139	.094	-.084
1 7 15/2	-.109	-.106	.124	.071	-.122	-.151
2 3 5/2	.008	.746	.476	.323	-.099	.929
3 1 3/2	.392	-.390	.797	0	0	0
1 5 9/2	.454	-.342	-.181	.859	.375	-.240
2 3 7/2	.740	.371	-.260	-.290	.882	.186
1 5 11/2	-.251	-.114	.039	.199	-.215	-.038
2 1 3/2	-.075	.003	.106	0	0	0
1 3 5/2	-.047	.031	.036	-.097	-.022	.108
1 3 7/2	-.005	.036	-.037	.023	.041	.039
1 1 3/2	-.018	.004	.026	0	0	0
Омега = 7/2				Омега = 9/2		Омега = 11/2
Энергия	-5.545	-3.202	-11.078	-2.345	-8.614	
$Nn_z\Lambda$	514	503	514	505	505	
1 9 19/2	.007	-.015	.007	.007	.008	
1 7 13/2	.145	.075	-.062	.125	-.054	
1 7 15/2	.073	-.119	.160	.058	.136	
1 5 9/2	.937	.270	-.126	.982	0	
2 3 7/2	-.248	.936	0	0	0	
1 5 11/2	.183	-.135	.977	.126	.989	
1 3 7/2	.012	.116	0	0	0	

Таблица П.29

 $A = 181 \ Z = 73 \ RO = 1,24 \ VO = 59,8 \ \kappa = 0,33 \ \alpha = 1,67$

Базисные волновые функции

$+E$	$N + l$	L	J	A	$B1$	C	B	Nn
+28,50	1	8	7,5	5,9136	4,7723	4,7994	3,4372	0,5393
+15,56	1	8	8,5	6,3411	5,4282	5,3220	4,6709	0,5978
+11,22	2	4	3,5	5,2348	3,1932	3,8284	3,5410	0,3582
+9,52	3	2	2,5	4,8602	2,3169	3,2303	3,1949	0,1609
+7,62	1	6	5,5	5,5726	4,2715	4,4907	4,4029	0,5920
+6,62	2	4	4,5	5,4545	3,2171	3,9221	4,0708	0,3685
-0,51	1	6	6,5	5,9737	4,4436	4,7621	4,9762	0,5952
-6,16	3	0	0,5	3,7625	1,3128	2,2153	3,4902	0,1724
-6,62	2	2	1,5	4,5951	2,3499	3,0486	4,0211	0,3684
-8,77	2	2	2,5	4,7420	2,3533	3,0759	4,1596	0,3630
-10,63	1	4	3,5	5,2064	3,5505	3,8812	4,6062	0,5751
-14,74	1	4	4,5	5,5222	3,6181	4,0136	4,9044	0,5635
-23,15	2	0	0,5	3,6300	1,1972	1,8988	3,5193	0,3302
-25,24	1	2	1,5	4,7148	2,5914	2,9971	4,3600	0,5136
-26,65	1	2	2,5	4,9123	2,6285	3,0608	4,5045	0,5039
-35,36	1	0	0,5	3,8340	1,1818	1,6638	3,5222	0,3784

Таблица П.30

 $A = 181 \ Z = 73 \ RO = 1,24 \ VO = 59,8 \ \kappa = 0,33 \ \alpha = 1,67$

Базисные волновые функции

$+E$	$N + l$	L	J	A	$B1$	C	B	Nn
+17,83	1	7	6,5	5,7396	4,5633	4,6982	4,0062	0,5769
+14,16	2	5	5,5	5,7721	3,5894	4,2529	3,4779	0,3446
+7,32	1	7	7,5	6,1649	4,8061	5,0628	4,8849	0,6008
+3,41	3	1	0,5	4,2863	1,8629	2,7631	3,4945	0,1729
+2,27	2	3	2,5	4,9281	2,7971	3,4747	3,9579	0,3729
+2,08	3	1	1,5	4,3529	1,8611	2,7719	3,5961	0,1727
-1,13	2	3	3,5	5,1204	2,8070	3,5278	4,2103	0,3701
-1,89	1	5	4,5	5,3974	3,9303	4,2195	4,5676	0,5894
-7,87	1	5	5,5	5,7611	4,0433	4,4152	4,9770	0,5827
-15,06	2	1	0,5	4,1841	1,8363	2,5382	3,8769	0,3542
-16,43	2	1	1,5	4,2751	1,8361	2,5473	3,9444	0,3494
-18,43	1	3	2,5	4,9845	3,1059	3,4773	4,5349	0,5501
-21,03	1	3	3,5	5,2453	3,1581	3,5713	4,7514	0,5385
-30,89	1	1	0,5	4,3520	1,9840	2,4154	4,0407	0,4621
-31,49	1	1	1,5	4,4814	2,0026	2,4517	4,1292	0,4555

Таблица П.31

 $A = 181 \ P$

β_{20}	.240	.240	.240	.240	.240	.240	.240
β_{40}	-.030	-.030	-.030	-.030	-.030	-.030	-.030
Омега = 1/2						Омега = 3/2	
Энергия	-10.563	-7.544	-3.169	-2.754	-8.851	-3.285	

Продолжение табл. П.31

$Nn_z\Lambda$	420	411	400	660	411	402
α	2.199	-.851	1.158	5.969	0	0
1 10 21/2	.002	.001	-.001	-.001	.002	0
1 8 15/2	-.003	-.009	-.012	-.003	.007	-.008
1 8 17/2	-.006	-.009	.065	.163	-.011	-.036
2 4 7/2	-.009	.075	.102	-.039	-.042	.136
3 2 5/2	.061	-.003	.057	.061	.018	-.031
1 6 11/2	.053	-.113	-.081	.010	.087	-.090
2 4 9/2	.071	.067	.030	.399	.102	.022
1 6 13/2	-.109	-.090	.341	.812	-.124	-.189
3 0 1/2	.507	-.299	.751	-.256	0	0
2 2 3/2	-.201	.736	.412	-.126	-.222	.882
2 2 5/2	.747	.428	-.291	.121	.871	.277
1 4 7/2	.487	-.359	-.171	.052	.287	-.255
1 4 9/2	-.273	-.160	.027	-.219	-.271	-.057
2 0 1/2	-.091	.023	.073	-.029	0	0
1 2 3/2	.015	-.005	.044	-.014	-.000	.096
1 2 5/2	-.046	.022	-.047	.035	.005	.049
1 0 1/2	-.023	.007	.023	-.010	0	0
Омега = 3/2		Омега = 5/2			Омега = 7/2	
Энергия	-2.641	-10.221	-5.555	-2.315	-6.954	-1.671
$Nn_z\Lambda$	651	413	402	642	404	633
1 10 21/2	.001	-.001	.001	.003	.000	.007
1 8 15/2	-.022	.007	.010	-.035	.009	-.050
1 8 17/2	.176	.005	-.018	.186	.006	.195
2 4 7/2	.007	.008	-.076	-.023	-.103	-.013
3 2 5/2	.057	.013	-.059	.031	0	0
1 6 11/2	-.058	.169	.072	-.072	.139	-.101
2 4 9/2	.378	-.026	.117	.339	-.030	.277
1 6 13/2	.867	.069	-.128	.896	.055	.919
2 2 3/2	.131	0	0	0	0	0
2 2 5/2	.067	-.168	.933	.049	0	0
1 4 7/2	-.035	.945	.204	.007	.971	-.004
1 4 9/2	-.207	.211	-.180	-.193	.153	-.168
1 2 3/2	.017	0	0	0	0	0
1 2 5/2	.025	.028	.106	.018	0	0
Омега = 9/2						
Энергия	-11.750	-.496				
$Nn_z\Lambda$	404	624				
1 10 21/2	-.001	.010				
1 8 15/2	-.007	-.061				
1 8 17/2	.009	.199				
1 6 11/2	-.063	-.115				
2 4 9/2	-.116	.198				
1 6 13/2	.147	.942				
1 4 9/2	.980	-.127				

Таблица П.32

 $A = 181 P$

β_{20}	.240	.240	.240	.240	.240	.240
β_{40}	-.030	-.030	-.030	-.030	-.030	-.030
Омега = 1/2				Омега = 3/2		
Энергия	-9.822	-4.644	-3.565	-.546	-9.703	-4.225
$Nn_z\Lambda$	550	541	530	521	541	532
a	-5.701	4.279	-3.006	.969	0	0
1 9 19/2	-.006	.004	-.009	-.010	-.004	.004
1 7 13/2	-.008	.158	.049	-.108	-.024	.159
2 5 11/2	.106	-.004	.053	.051	.094	-.009
1 7 15/2	.170	.022	-.122	-.088	.174	.052
3 1 1/2	-.004	.127	-.151	.607	0	0
2 3 5/2	-.000	.468	-.020	.512	-.017	.421
3 1 3/2	.033	-.104	.579	-.224	.022	-.120
2 3 7/2	.374	-.089	.684	.378	.356	-.178
1 5 9/2	-.019	.826	.199	-.344	-.058	.837
1 5 11/2	.887	.058	-.291	-.143	.893	.136
2 1 1/2	.012	-.029	.038	-.121	0	0
2 1 3/2	.039	.030	-.155	.021	.033	.035
1 3 5/2	-.006	-.182	-.019	-.005	.004	-.164
1 3 7/2	-.173	.012	-.043	.012	-.173	.026
1 1 1/2	.003	.004	.006	-.030	0	0
1 1 3/2	.013	.005	-.034	.003	.012	.005
Омега = 3/2		Омега = 5/2			Омега = 7/2	
Энергия	-2.419	-9.318	-2.983	-.181	-8.417	-.539
$Nn_z\Lambda$	521	532	523	512	523	514
1 9 19/2	-.012	-.000	.006	-.017	.005	.010
1 7 13/2	.086	-.043	.169	.095	-.060	.174
2 5 11/2	.076	.070	-.046	.105	.029	-.024
1 7 15/2	-.132	.181	.070	-.141	.488	.079
2 3 5/2	-.085	-.049	.300	-.135	0	0
3 1 3/2	.404	0	0	0	0	0
2 3 7/2	.783	.306	-.201	.895	.219	-.185
1 5 9/2	.306	-.106	.889	.287	-.137	.947
1 5 11/2	-.283	.911	.178	-.238	.938	.180
2 1 3/2	-.100	0	0	0	0	0
1 3 5/2	-.022	.002	-.415	-.014	0	0
1 3 7/2	-.016	-.158	.028	.040	-.122	.020
1 1 3/2	-.027	0	0	0	0	0
Омега = 9/2		Омега = 11/2				
Энергия	-6.698	-3.809				
$Nn_z\Lambda$	514	505				
1 9 19/2	.009	.011				
1 7 13/2	-.069	-.059				
2 5 11/2	-.031	-.110				
1 7 15/2	.185	.153				
1 5 9/2	-.132	0				
1 5 11/2	.971	.980				

П.14, П.21, П.22, П.29, П.30 (протонная схема). Отметим, в случае необходимости в качестве радиальной части волновой функции Φ_{nlj}^{Ω} могут быть использованы и численные решения уравнения Шредингера со сферическим потенциалом Саксона—Будса. При этом коэффициенты смешивания a_{nlj}^{Ω} практически не меняются и можно по-прежнему пользоваться значениями a_{nlj}^{Ω} , приведенными в табл. П.3, П.4, П.7, П.8, П.11, П.12, П.14, П.15, П.16, П.19, П.20, П.24, П.27, П.28, П.31, П.32 начинаясь со значения массового числа A , определяющего зону, и символа P или N , указывающего протонную или нейтронную схему расположена ниже. Затем даются значения β_{20} , β_{40} и величина Ω (омега). За Ω следуют значения E (энергия в $M_{\text{эв}}$). Таблицы коэффициентов смешивания для состояний одинаковой четности размещены в порядке возрастания проекции Ω и энергии. Каждому состоянию сопоставляется набор коэффициентов смешивания, с которыми входят базисные функции, приведенные в первых трех столбцах таблицы. Так, цифры 1 8 17/2 в табл. П.3 означают следующее: 1— $(n+1)$; 8— l , 17/2— j , т. е. это базисное состояние $1K_{17/2}$. Кроме этого, каждое состояние характеризуется асимптотическими квантовыми числами $Nn_z\Lambda$. Если имеется квазипересечение уровней, то это учитывается при идентификации состояний. Для состояний с $\Omega=1/2$ приводятся одночастичные значения параметра развязывания a .

ЛИТЕРАТУРА

- Соловьев В. Г. Теория сложных ядер. М., «Наука», 1971.
- Nilsson S. G. Mat. Fys. Medd. Dan. Vid. Selsk., 1965, 29, No. 16.
- Gustafson C. e.a. Ark. Fys., 1967, 36, 613.
- Немировский П. Э., Чепурнов В. А. «Ядерная физика», 1966, 3, 998.
- Гареев Ф. А., Иванова С. П., Калинкин Б. Н. «Изв. АН СССР, сер. физ.», 1968, XXXIII, 1690.
- Soloviev V. G. Atomic Energy Rev., 1965, 3, No. 2, 117.
- Корнейчук А. А. и др. «Ядерная физика», 1969, 9, 750; Малов Л. А., Соловьев В. Г., Файнберг У. М. «Докл. АН СССР», 1969, 186, 299; Малов Л. А., Соловьев В. Г., Федотов С. И. «Докл. АН СССР», 1969, 189, 987.
- Комов А. Л., Малов Л. А., Соловьев В. Г. «Изв. АН СССР, сер. физ.», 1971, 35, 1550.
- Soloviev V. G., Vogel P. Nucl. Phys. A, 1967, 92, 449. Соловьев В. Г., Фогель П., Юниклауссен Г. «Изв. АН СССР, сер. физ.», 1967, 31, 518.
- Faessler A., Sheline R. Phys. Rev., 1966, 148, 1003; Ropper P. Z. Phys., 1966, 195, 316; Rost E. Phys. Rev., 1967, 154, 994; Ford G. P., Hoffman D. C., Rost E. Preprint, LA-4329, UC-34, Phys., TID 4500, 1970; Пашкевич В. В., Струтинский В. М. «Ядерная физика», 1969, 9, 56; Anderson B. L. Nucl. Phys. A, 1968, 112, 443; Vogeler J. H. Nucl. Phys. A, 1969, 133, 289; Anderson B. L., Back B. B., Bang I. M. Nucl. Phys. A, 1970, 147, 33; Ehrling G., Wahlborn S. Phys. Lett. B, 1971, 34, 369; Boisson I. P., Piepenbring R. Nucl. Phys. A, 1971, 168, 385; Fiset E. O., Nix I. R., Bolsterli M. Report LA-4735-MS, US-34, 1971.
- Kalinkin B. N., Grabovski Ya., Gareev F. A. Acta Phys. Pol., 1966, XXX, 999; Gareev F. A., Ivanova S. P., Kalinkin B. N. Acta Phys. Polonica, 1967, XXXII, 461.

12. Gareev F. A., Ivanova S. P., Kalinkin B. N. Acta Phys. Pol., 1968, XXXIII, 135.
13. Гареев Ф. А., Иванова С. П. Сообщение ОИЯИ Р4-5221, 1970.
14. Гареев Ф. А. и др. Препринт ОИЯИ Р4-3607, 1967; Гареев Ф. А., Иванова С. П., Ширикова Н. Ю. Сообщение ОИЯИ Р4-5457, 1970.
15. Гареев Ф. А., Иванова С. П., Черней М. И. «Ядерная физика», 1969, 91, 308; Wiebicke H. J., Schulz H. Preprint JINR E4-4210, Dubna, 1969.
16. Гареев Ф. А. и др. «Ядерная физика», 1968, 8, 305; Phys. Lett. B, 1968, 27, 117.
17. Гареев Ф. А., Иванова С. П., Пашкевич В. В. «Ядерная физика», 1970, 11, 1200; Hendrie D. L., e. a. Phys. Lett. B, 1968, 26, 127; Lamm I. L. Nucl. Phys. A, 1969, 125, 504; Nilsson B. Nucl. Phys. A, 1969, 129, 445; Nilsson S. G. Preprint UCRL-18355, Berkeley, California, 1968.
18. Арсеньев Д. А. и др. «Изв. АН СССР, сер. физ.», 1968, 32, 866; Vogel P. Phys. Lett., B, 1967, 25, 65.
19. Gareev F. A. e.a. Nucl. Phys. A, 1971, 171, 194.
20. Пятов Н. И., Черней М. И. Препринт ОИЯИ Р4-4366, Дубна, 1970; Черней М. И., Базнат М. И., Пятов Н. И. «Изв. АН СССР, сер. физ.», 1972, 36, 789; Winter G. e.a. Nucl. Phys. A, 1971, 176, 609.
21. Soloviev V. G. Phys. Lett., 1965, 16, 308.
22. Малов Л. А., Соловьев В. Г., Файнер У. М. «Изв. АН СССР, сер. физ.», 1969, 33, 1244; Соловьев В. Г., Файнер У. М. «Изв. АН СССР, сер. физ.», 1972, 36, 698.
23. Малов Л. А., Соловьев В. Г., Федотов С. И. «Изв. АН СССР, сер. физ.», 1971, 35, 747; Соловьев В. Г., Федотов С. И. «Изв. АН СССР, сер. физ.», 1972, 36, 706.
24. Soloviev V. G. Phys. Lett., 1965, 21, 311.
25. Арсеньев Д. А. и др. Препринт ОИЯИ, Р4-6345, Дубна, 1972.
26. Strutinsky V. M. Nucl. Phys. A, 1967, 95, 420; 1968, 122, 1.
27. Bunker M. E., Reich C. W. Rev. Mod. Phys., 1971, 43, 348.
28. Reich C. M., Bunker M. E. Nucl. Struct., Dubna Symp., IAEA, Vienna, 1968, p. 119; Sheline R. K. Nucl. Struct., Dubna Symp., IAEA, Vienna, 1968, p. 71.
29. Тյом Р. О., Эльбек Б. Mat. Fys. Medd. Dan. Vid. Selsk., 1967, 36, No. 8; Grotdal T., Nybø K., Elbek B. Mat. Fys. Medd. Dan. Vid. Selsk., 1970, 37, No. 12.
30. Гареев Ф. А., Иванова С. П., Ширикова Н. Ю. Препринт Р4-4259, ОИЯИ, 1969.
31. Andersen B. L., Back B. B., Bang J. M. Nucl. Phys. A, 1970, 147, 33; Andersen B. L. Nucl. Phys. A, 1968, 112, 443; 1971, 162, 208.
32. Kanestrom I., Тյом Р. О., Bang J. Nucl. Phys. A, 1971, 164, 664.
33. Kisuno S., Sakagami M. Preprint Oscaka University, Japan, 1970.
34. Soloviev V. G. Nucl. Struct. Dubna Symp., IAEA, Vienna, 1968, p. 101.
35. Гареев Ф. А., Соловьев В. Г., Федотов С. И. «Ядерная физика», 1971, 14, 1165.
36. Oglo W., Wahlborn S., Piepenbring R., Fredriksson S. Rev. Mod. Phys., 1971, 43, 424.
37. Bennett M. S., Sheline R. K., Shida Y. Nucl. Phys. A, 1971, 171, 113; Funke L. e.a. JINR, D6-5783, 143, Dubna, 1971; Вылов Ш. и др. ОИЯИ Д6-5783, 137, Дубна, 1971; Winter G. e.a. Nucl. Phys. A, 1971, 176, 609; Mauron G., Kern J., Huber O. Nucl. Phys. A, 1972, 181, 489; Wood I. L., Bernner D. S. Nucl. Phys. A, 1972, 185, 58.
38. Громов К. Я. и др. ЭЧАЯ, 1971, 1, 524.
39. Condon E. U., Shortly Q. W. Theory of Atomic Spectra, Cambridge University Press, Lond., 1949; Кондон Е., Шортли Г. Теория атомных спектров. Пер. с англ., М., Изд-во иностр. лит., 1954.